

Vorlesungsskript

Numerik für Ingenieure I

Volker Mehrmann

MA 468, Tel 314-25736

email: mehrmann@math.tu-berlin.de

Fakultät II für Mathematik und
Naturwissenschaften
Institut für Mathematik
Technische Universität Berlin

Literaturverzeichnis

- [1] Bjoerck, Åke / Dahlquist, Germund *Numerische Methoden*. Oldenbourg, München 1972.
- [2] Bunse, Wolfgang / Bunse–Gerstner, Angelika. *Numerische lineare Algebra*. Teubner, Stuttgart 1985.
- [3] Braess, Dietrich. *Finite Elemente*. Springer, Berlin 1991.
- [4] Coddington, Earl.A. / Levinson, N. *Theory of ordinary differential equations*. McGraw-Hill, New York 1955.
- [5] Deuffhard, Peter / Hohmann, Andreas. *Numerische Mathematik*. de Gruyter, Berlin 1991.
- [6] Deuffhard, Peter / Bornemann. *Numerische Mathematik II*. de Gruyter, Berlin 1994.
- [7] Faires, J. Douglas / Burden, Richard, L. *Numerische Methoden*. Spektrum, Heidelberg 1994.
- [8] Forster, Otto. *Analysis I*. 5. Aufl. Vieweg, Braunschweig 1999.
- [9] Goering, Herbert / Roos, Hans-Görg / Tobiska, Lutz. *Finite Elemente Methode*. Akademie Verlag, Berlin 1988.
- [10] Golub, Gene H. / Van Loan, Charles F. *Matrix Computations*. 3. Aufl., Johns Hopkins University Press, Baltimore, 1996.
- [11] Golub, Gene H. / Ortega, James M. *Scientific Computing*. Teubner, Stuttgart 1996.
- [12] Hairer, Ernst / Noersett, Syvert Paul / Wanner, Gerhard. *Solving ordinary differential equations*. Springer, Berlin 1987.
- [13] Higham, Nicholas J. *Accuracy and Stability of Numerical Algorithms*. SIAM, Philadelphia 1996.
- [14] Locher, Franz. *Numerische Mathematik für Informatiker*. Springer, Berlin 1992.
- [15] Opfer, Gerhard. *Numerische Mathematik für Anfänger*. Vieweg, Braunschweig 1993.
- [16] Plato, Robert. *Numerische Mathematik kompakt*. Vieweg, Braunschweig 2000.
- [17] Roos, Hans-Görg / Schwetlick, Hubert. *Numerische Mathematik*. Teubner, Stuttgart 1999.
- [18] Schaback, Robert / Werner, Helmut. *Numerische Mathematik*. Springer, Berlin 1992.
- [19] Schäfer, Michael. *Numerische Mathematik im Maschinenbau*, Springer, Berlin 1999.
- [20] Schwarz, Hans Rudolf. *Numerische Mathematik*. Teubner, Stuttgart, 1988.
- [21] Schwarz, Hans Rudolf. *Methode der Finite Elemente*. Teubner, Stuttgart 1984.
- [22] Schwetlick, Hubert / Kretschmar, Horst. *Numerische Mathematik für Naturwissenschaftler und Ingenieure*. Fachbuchverlag, Leipzig 1991.
- [23] Stoer, Josef / Bulirsch, Roland. *Numerische Mathematik – eine Einführung, Band I,II*. Springer, Berlin 1989.
- [24] Walter, Wolfgang. *Gewöhnliche Differentialgleichungen*. 3. Aufl. Springer, Heidelberg 1985.
- [25] Wilkinson, James H. *Rundungsfehler*, Springer, Berlin, 1969.

Inhaltsverzeichnis

1	Einführung	7
2	Anfangswertaufgaben Teil I	13
2.1	Das Polygonzugverfahren von Euler	16
2.2	Allgemeine Einschrittverfahren	18
2.3	Fehlerbetrachtung	18
2.4	Abschätzung des globalen Fehlers	20
3	Fehleranalyse	25
3.1	Rechnerarithmetik	25
3.2	Rundungsfehler (Reduktionsfehler)	28
3.3	Fehlerfortpflanzung	32
3.4	Fehleranalyse	34
3.5	Fehleranalyse bei Einschrittverfahren	37
4	Interpolation	41
4.1	Einführung	41
4.2	Polynominterpolation	42
4.2.1	Das Verfahren von Neville und Aitken	44
4.2.2	Interpolation nach Newton	45
4.3	Trigonometrische Interpolation	53
4.4	Spline Interpolation	59
5	Numerische Integration	69
5.1	Newton-Cotes Formeln	69
5.2	Extrapolation	74
6	Verfahren höherer Ordnung	77
6.1	Einfache Verfahren höherer Ordnung	77
6.2	Implizite Runge-Kutta Formeln	85
6.3	Schrittweitensteuerung	88
7	Lösung von linearen Gleichungssystemen.	93
7.1	Normen und andere Grundlagen	93
7.2	Lösung von Dreieckssystemen	96
7.3	LR -Zerlegung	98
7.4	Fehleranalyse der Gauß-Elimination	104
7.5	Partielle Pivotisierung (Spaltenpivotisierung)	105
7.6	Vollständige Pivotisierung	109
7.7	Abschätzung der Genauigkeit	111
7.8	Iterative Verbesserung	112
7.9	Der Cholesky-Algorithmus, Bandmatrizen	113
7.10	Bandsysteme	115
7.11	Householder-Orthogonalisierung	117
7.12	Die QR -Zerlegung	120
7.13	Gram-Schmidt Orthogonalisierung	123
7.14	Ausgleichsprobleme	124
7.15	Iterative Verfahren	128
7.15.1	Splitting-Verfahren	128
7.15.2	Das Konjugierte Gradienten Verfahren	131
8	Lösung nichtlinearer Gleichungssysteme	135
8.1	Fixpunktverfahren	136
8.2	Das Newtonverfahren	140
8.2.1	Das modifizierte Newtonverfahren	144
8.2.2	Praktische Realisierung des modifizierten Newton-Verfahrens	146
9	Lösung partieller Differentialgleichungen	149
9.1	Finite Differenzen	151
9.2	Variationsmethoden (Finite Elemente)	154
9.2.1	Das Ritzsche Verfahren zur Lösung der Minimierungsaufgabe	158

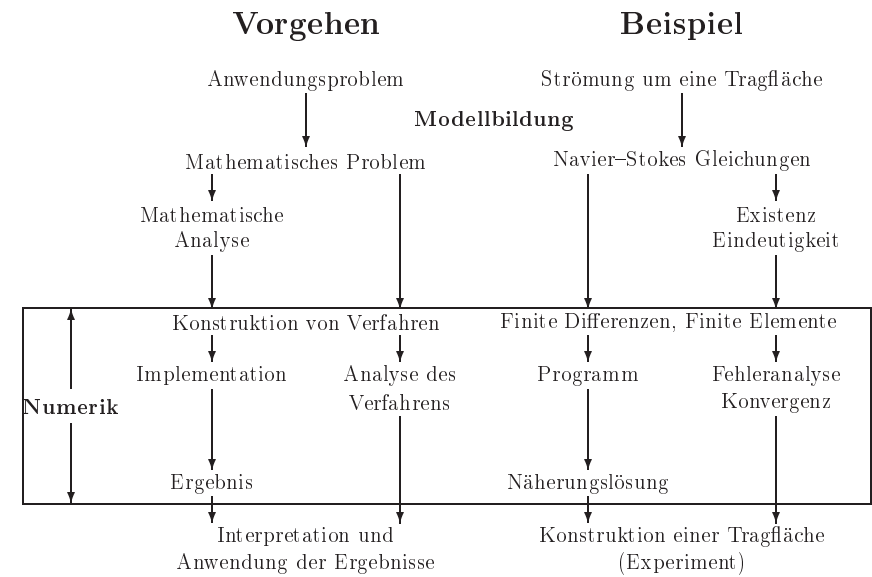
Kapitel 1

Einführung

Was ist überhaupt: **Numerische Mathematik**?

Um eine grobe Vorstellung von diesem Teilgebiet der Mathematik zu erhalten, stellen wir uns vor, wir wollen ein Flugzeug konstruieren und zu diesem Zweck erst mal verstehen, wie die Strömung um einen Tragfläche funktioniert.

Wie gehen wir vor?



Beispiel 1 Freier Fall

Wir betrachten den aus der Physik bekannten freien Fall. Ein Stein wird aus dem Turm von Pisa (Höhe 44.12 m) fallen gelassen. **Wann schlägt er auf?**

Modellbildung:

Als Vereinfachung vernachlässigen wir die Reibung und nehmen an, dass der Stein eine Punktmasse darstellt.

Hier machen wir einen kleinen Modell(ierungs)fehler.

Mathematisch wird die Fallbewegung als eine Funktion des zurückgelegten Weges zur Zeit t beschrieben. Sei $h(t)$ die Höhe zum Zeitpunkt t , dann ist die Geschwindigkeit des Steines gegeben durch die erste Ableitung von h nach der Zeit:

$$v(t) = \frac{dh}{dt} = h'(t).$$

Die Beschleunigung a des Steines ist definiert als die Ableitung der Geschwindigkeit v nach der Zeit, also gilt:

$$\begin{aligned} a(t) &= v'(t) \\ &= \frac{dv}{dt} \\ &= \frac{d^2h}{dt^2}. \end{aligned}$$

Für die Erdbeschleunigung g nehmen wir den konstanten Wert $9.81 \frac{m}{s^2}$.

Dies ist ein Näherungswert, wir machen Fehler in den Daten, und wir vereinfachen, denn eigentlich hängt g von der Höhe ab.

Damit wissen wir, dass für $a(t)$ gilt:

$$a(t) = -g$$

Die Geschwindigkeit des Steines zur Zeit t läßt sich nun durch Integration bestimmen:

$$\begin{aligned} v(t) &= \int a(t) dt \\ &= -gt + c_1. \end{aligned}$$

Analog dazu wird nun durch eine weitere Integration $h(t)$ bestimmt:

$$\begin{aligned} h(t) &= \int v(t) dt \\ &= \int (-gt + c_1) dt \\ &= -\frac{g}{2}t^2 + c_1t + c_2. \end{aligned}$$

Wir erhalten also als allgemeine Lösung unseres Problems, dass der Stein nach

$$\begin{aligned} t &= \frac{-c_1 \pm \sqrt{c_1^2 + 4c_2 \frac{g}{2}}}{2 \frac{g}{2}} \\ &= \frac{-c_1 \pm \sqrt{c_1^2 + 2c_2g}}{g} \end{aligned}$$

Sekunden aufschlägt.

Um dies explizit zu machen, brauchen wir die Integrationskonstanten c_1, c_2 . Den Wert von c_1 können wir sofort berechnen, da bekannt ist, dass sich der Stein zum Zeitpunkt $t = 0$ im Zustand der Ruhe befindet. Es muß nur noch $v(0) = 0 \frac{m}{s}$ gelöst werden:

$$\begin{aligned} v(0) &= -g \cdot 0 + c_1 = 0 \frac{m}{s} \\ \Rightarrow c_1 &= 0. \end{aligned}$$

Die Konstante c_2 wird analog ermittelt ($h(0) = 44.12$ m):

$$\begin{aligned} h(0) &= -\frac{g}{2} \cdot 0 + c_1 \cdot 0 + c_2 = 44.12 \text{ m} \\ \Rightarrow c_2 &= 44.12 \text{ m}. \end{aligned}$$

Wir können nun diese Werte und g einsetzen und erhalten als Lösung die Fallzeit:

$$t = \pm \frac{\sqrt{44.12 * 19.62}}{9.81}.$$

Nun müssen wir den Rechner bemühen, um einen Zahlenwert zu bestimmen, und wir erhalten die numerische Lösung (auf 3 Stellen genau):

$$t = 3.00 \text{ s}.$$

Hier haben wir weitere Fehler gemacht, nämlich beim Wurzelziehen und beim Runden auf die 3. Stelle.

Alle diese Fehler können bei komplizierten Problemen zu Katastrophen führen !

Was können wir tun um sicherzustellen, dass das Ergebnis annähernd korrekt ist ?

Wir könnten zB. nach Pisa fahren und ein Experiment machen. Oder wir könnten unseren Lösungsalgorithmus analysieren oder wir könnten unser Modell verbessern, indem wir zB. Reibungsterme hinzufügen.

Analyse eines Lösungsverfahrens:

Anwendungsproblem	Beispiel: Freier Fall	Fehler
Modellbildung		Modellfehler
Math. Problem	Diffgl. $h'' = -9.81$	Datenfehler
Math. Analyse — Numer. Methode	Lösung	Verfahrensfehler
anal. Lsg — numer. Lsg	$t = 3.00$	Rundungsfehler
Impl. und Analyse	Programm — Fehleranal.	
exakte Lsg — Näherung		Gesamtfehler

Wir werden uns hier mit der Entwicklung und Analyse von numerischen Methoden beschäftigen.

Kapitel 2

Anfangswertaufgaben Teil I

Wir betrachten zuerst Anfangswertaufgaben für gewöhnliche Differentialgleichungen:

$$y' = \frac{dy}{dt} = f(t, y(t)), \quad (2.1)$$

in einem Intervall $\mathbb{I} = [t_0, t_0 + a] \subset \mathbb{R}$ mit einer Anfangsbedingung $y(t_0) = y_0 \in \mathbb{R}^n$. Die Lösung y ist dabei eine Funktion $y : \mathbb{I} \rightarrow \mathbb{R}^n$ und die rechte Seite ist eine Funktion $f : \mathbb{I} \times \mathbb{R}^n \rightarrow \mathbb{R}^n$.

Dabei kann y natürlich ein Vektor sein.

Beispiel 2 Betrachte das Beispiel 1 und führe neue Variablen wie folgt ein.

Sei $z_1(t) = h(t)$, $z_2(t) = h'(t)$ und $z = \begin{bmatrix} z_1(t) \\ z_2(t) \end{bmatrix}$, so lautet die Anfangswertaufgabe in (1) dann

$$z'(t) = \begin{bmatrix} z_1(t) \\ z_2(t) \end{bmatrix}' = \begin{bmatrix} 0 & 1 \\ 0 & 0 \end{bmatrix} \begin{bmatrix} z_1(t) \\ z_2(t) \end{bmatrix} + \begin{bmatrix} 0 \\ -g \end{bmatrix}, \quad z(0) = \begin{bmatrix} 44.12 \\ 0 \end{bmatrix}.$$

Die Lösungskurve $y(t)$ nennt man auch *Trajektorie*. Ohne die Vorgabe des Anfangswertes erhalten wir eine Schar von Trajektorien (Richtungsfeld). Durch den Anfangswert wird eine bestimmte Trajektorie festgelegt.

Beispiel 3 Abhängigkeit der Lösung vom Anfangswert.

Betrachte die Differentialgleichung:

$$y' = 3y, \quad y(0) = y_0.$$

Als Lösung ergibt sich: $y(t) = y_0 e^{3t}$

Lösungsverlauf für Startwerte $y_0 = 0.01, 0.05, 0.1, 0.5$

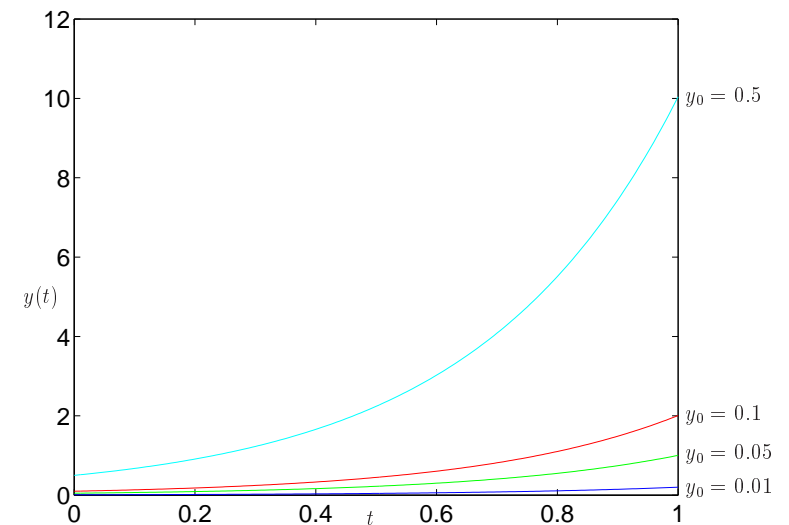


Abbildung 2.1: Richtungsfeld

Kleine Änderungen der Anfangswerte können zu sehr grossen Änderungen in der Lösung führen. Dies wird im allgemeinen *Instabilität der Differentialgleichung* genannt. (Wie wir später sehen werden, wäre ein anderer Begriff besser.)

Beispiel 4 Instabilität der Differentialgleichung

$$y' = 10\left(y - \frac{t^2}{1+t^2}\right) + \frac{2t}{(1+t^2)^2} \quad y(0) = y_0$$

Als Lösung ergibt sich: $y(t) = y_0 e^{10t} + \frac{t^2}{1+t^2}$.

Für $y_0 = 0$ lautet die Lösung: $\frac{t^2}{1+t^2} = \hat{y}(t)$

Für $y_0 = -\varepsilon$ lautet die Lösung: $-\varepsilon e^{10t} + \frac{t^2}{1+t^2} = \tilde{y}(t)$.

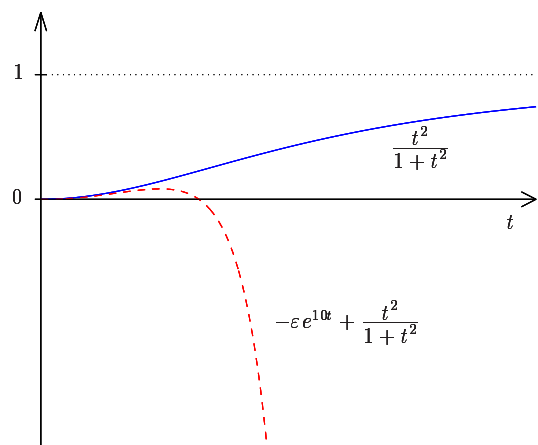


Abbildung 2.2: Instabile Differentialgleichung

Probleme bei denen dies auftritt sind auf dem Rechner sehr schwer zu lösen und man kann generell der Lösung nicht vertrauen!

Im allgemeinen sind wir nicht in der Lage die Lösung einer Differentialgleichung analytisch zu bestimmen. Wir verwenden daher numerische Verfahren.

Wie löst man nun so eine Differentialgleichung numerisch (auf dem Rechner) ?

Zur numerischen Lösung einer Differentialgleichung wird diese diskretisiert, das heißt die Lösung wird in einzelnen Schritten berechnet.

Wie gehen im einfachsten Fall wie folgt vor. Wir führen in unserem Intervall \mathbb{I} ein Gitter ein.

$$\mathbb{I}_h = \{t_0, t_1, \dots, t_N = t_0 + a\}$$

wobei wir als erste Idee einfach eine äquidistante Unterteilung mit

$$t_i = t_0 + ih, \quad i = 1, \dots, N$$

verwenden. Dann suchen wir Werte

$$u_i = u_h(t_i), \quad i = 1, \dots, N \quad (2.2)$$

wobei $u_h : \mathbb{I}_h \rightarrow \mathbb{R}^n$ eine Gitterfunktion ist. Diese ist so zu wählen, dass u_i den Wert

$$y_i = y(t_i) \quad (2.3)$$

der exakten Lösung von (2.1) möglichst gut annähert (approximiert).

Das heißt, auf dem Gitter \mathbb{I}_h mit der Schrittweite $h \neq 0$ sollen Näherungswerte u_i für y_i an den äquidistanten Punkten $t_i = t_0 + ih$ berechnet werden.

2.1 Das Polygonzugverfahren von Euler

Das einfachste Verfahren ist das sogenannte explizite Euler-Verfahren¹.

Für die Ableitung y' gilt näherungsweise:

$$\frac{y(t+h) - y(t)}{h} \approx y'(t) = f(t, y(t)), \quad (2.4)$$

d.h.

$$y(t+h) \approx y(t) + hf(t, y(t)).$$

¹Leonhard Euler, 1707–1783, Schweizer Mathematiker

Man erhält so an den Stellen t_i Näherungswerte u_i für y_i :

$$\begin{aligned} u_0 &= y_0 \\ \frac{u_{i+1} - u_i}{h} &= f(t_i, u_i), \quad i = 0, \dots, N - 1 \end{aligned} \tag{2.5}$$

oder umgeformt:

$$u_{i+1} = u_i + hf(t_i, u_i) \tag{2.6}$$

Die Integrationsmethode von Euler benutzt in den einzelnen Näherungspunkten (x_i, u_i) die Steigung des durch die Differentialgleichung definierten Richtungsfeldes dazu, den nächstfolgenden Näherungswert u_{i+1} zu bestimmen.

Wegen der anschaulich geometrischen Konstruktion der Näherung bezeichnet man das Verfahren auch als Polygonzugmethode. Sie ist offensichtlich sehr grob und kann sicher nur für kleine Schrittweiten h gute Näherungswerte liefern.

Beispiel 5 Das Eulerverfahren

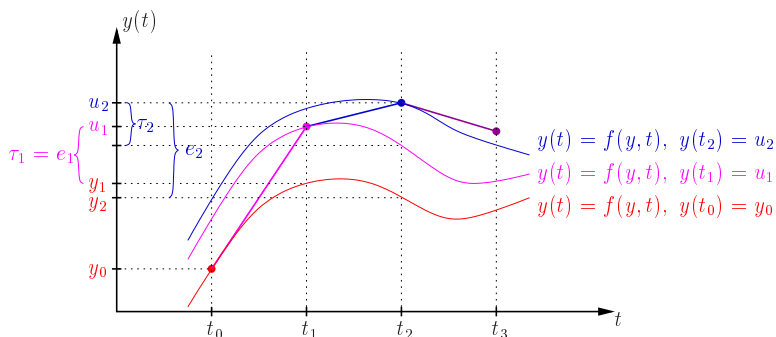


Abbildung 2.3: Euler-Verfahren

2.2 Allgemeine Einschrittverfahren

Das explizite Euler-Verfahren ist ein Spezialfall eines allgemeinen expliziten Einschrittverfahrens der Form

$$\begin{aligned} u_0 &= y_0, \\ u_{i+1} &= u_i + h\Phi(t_i, u_i, h, f). \end{aligned} \tag{2.7}$$

Beim Eulerverfahren gilt also

$$\Phi(t_i, u_i, h, f) = f(t_i, u_i). \tag{2.8}$$

Die Funktion Φ heißt Inkrementfunktion. Sie beschreibt die zugrundeliegende Methode, wie aus der bekannten Information (t_i, u_i) und für die Schrittweite h der neue Näherungswert zu berechnen ist.

Bemerkung 6 Durch komponentenweise Betrachtung lassen sich diese Verfahren direkt auf den Vektorfall übertragen:

$$\vec{u}_{i+1} = \begin{pmatrix} u_1 \\ \vdots \\ u_n \end{pmatrix}_{i+1} = \begin{pmatrix} u_1 \\ \vdots \\ u_n \end{pmatrix}_i + h \begin{pmatrix} \Phi_1(t_i, \vec{u}_i) \\ \vdots \\ \Phi_n(t_i, \vec{u}_i) \end{pmatrix}. \tag{2.9}$$

2.3 Fehlerbetrachtung

Wie gut ist nun so ein Verfahren ?

Gesucht ist eine Abschätzung für den globalen Fehler.

$$e_j = y_j - u_j = y(t_j) - u_h(t_j). \tag{2.10}$$

Um e_j abzuschätzen, muß man erst den lokalen Fehler (den Fehler in jedem einzelnen Schritt der Diskretisierung) abschätzen.

Sei y die exakte Lösung von (2.1) und sei $y(\hat{t}) = z$. Dann wird definiert:

$$\Delta(\hat{t}, z, h, f) := \begin{cases} \frac{y(\hat{t}+h) - z}{h} & \text{für } h \neq 0 \\ f(\hat{t}, z) & \text{für } h = 0. \end{cases} \tag{2.11}$$

Für die Näherung aus dem Einschrittverfahren (2.7) gilt:

$$\frac{u_h(\hat{t} + h) - u_h(\hat{t})}{h} = \Phi(\hat{t}, z, h, f). \quad (2.12)$$

Die Größe

$$\tau(\hat{t}, z, h, f) := h(\Delta(\hat{t}, z, h, f) - \Phi(\hat{t}, z, h, f)) \quad (2.13)$$

heißt *lokaler Diskretisierungsfehler* in (\hat{t}, z) .

Hier ist τ das Ergebnis, wenn man $y(t)$ für u_h in (2.12) einsetzt. d.h., τ gibt an, wie gut die exakte Lösung die verwendete Integrationsvorschrift in einem einzelnen Schritt erfüllt.

Im Fall des Euler-Verfahrens besitzt der lokale Diskretisierungsfehler die unmittelbare Bedeutung der Differenz zwischen dem exakten Wert und dem erhaltenen Näherungswert, falls zuvor vom exakten Wert ausgegangen wurde. (Siehe Beispiel 5.)

Damit ein Einschrittverfahren vernünftig ist, fordert man dass

$$\lim_{h \rightarrow 0} (\Delta(\hat{t}, z, h, f) - \Phi(\hat{t}, z, h, f)) = \lim_{h \rightarrow 0} \frac{1}{h} \tau(\hat{t}, z, h, f) = 0. \quad (2.14)$$

Da aber

$$\lim_{h \rightarrow 0} \Delta(\hat{t}, z, h, f) = y'(\hat{t}) = f(\hat{t}, z),$$

so ist (2.14) äquivalent mit

$$\Phi(\hat{t}, z, 0, f) = \lim_{h \rightarrow 0} \Phi(\hat{t}, z, h, f) = f(\hat{t}, z). \quad (2.15)$$

Definition 7 Das Einschrittverfahren (2.7) heißt *konsistent*, wenn für alle $\hat{t} \in [t_0, t_0 + a]$ und alle f , deren partielle Ableitungen nach t und y stetig und beschränkt sind, gilt

$$\lim_{h \rightarrow 0} \frac{1}{h} \tau(\hat{t}, z, h, f) = 0. \quad (2.16)$$

Proposition 8 Das Eulerverfahren ist konsistent.

Beweis. Wir wenden die Taylorentwicklung auf y an, d.h.,

$$y(\hat{t} + h) = y(\hat{t}) + h y'(\hat{t}) + \frac{h^2}{2!} y''(\hat{t}) + \dots + \frac{h^p}{p!} y^{(p)}(\hat{t} + \Theta h).$$

Für die Ableitungen gilt:

$$\begin{aligned} y(\hat{t}) &= z \\ y'(\hat{t}) &= f(\hat{t}, y(\hat{t})) \\ y''(\hat{t}) &= \left. \frac{d}{dt} f(t, y(t)) \right|_{t=\hat{t}} \\ &= \left. \frac{\partial}{\partial t} f(t, y(t)) \right|_{t=\hat{t}} + \left. \frac{\partial}{\partial y} f(t, y(t)) y'(t) \right|_{t=\hat{t}} \\ &=: f_t(\hat{t}, z) + f_y(\hat{t}, z) f(\hat{t}, z), \end{aligned}$$

wobei f_t die partielle Ableitung von f nach t , f_y entsprechend die partielle Ableitung nach y bezeichnet. Also folgt:

$$\begin{aligned} \Delta(\hat{t}, z, h, f) &= y'(\hat{t}) + \frac{h}{2!} y''(\hat{t}) + \dots + \frac{h^{p-1}}{p!} y^{(p)}(\hat{t} + \Theta h) \\ &= f(\hat{t}, z) + \frac{h}{2} (f_t(\hat{t}, z) + f_y(\hat{t}, z) f(\hat{t}, z)) + (\text{Terme h. Ord.}). \end{aligned}$$

Beim Eulerverfahren ist $\Phi(\hat{t}, z, h, f) = f(\hat{t}, z)$. Also folgt für den lokalen Diskretisierungsfehler:

$$\begin{aligned} \frac{\tau}{h}(\hat{t}, z, h, f) &= \Delta(\hat{t}, z, h, f) - \Phi(\hat{t}, z, h, f) \\ &= \frac{h}{2} (f_t(\hat{t}, z) + f_y(\hat{t}, z) f(\hat{t}, z)) + (\text{Terme h. Ord.}) \\ &= \mathcal{O}(h) \rightarrow 0 \text{ für } h \rightarrow 0, \end{aligned}$$

und damit ist das Euler-Verfahren konsistent. \square

2.4 Abschätzung des globalen Fehlers

Bisher haben wir nur den lokalen Fehler betrachtet.

Was können wir über den globalen Fehler sagen ?

Theorem 9 Es genüge $\Phi(t, y, h, f)$ auf einem Streifen $\mathbb{I} \times \mathbb{R}^n$ einer Lipschitzbedingung mit Lipschitzkonstante L bezüglich y , dh.

$$|\Phi(t, y_1, h, f) - \Phi(t, y_2, h, f)| \leq L|y_1 - y_2|,$$

wobei $|\cdot|$ der Betrag oder (falls $n > 1$) eine Norm ist. Dann gilt für den globalen Fehler

$$e_m = y(t_m) - u_m, \quad m = 0, \dots, N$$

folgende Abschätzung:

$$|e_m| \leq \left(|e_0| + \frac{(t_m - t_0)}{h} \tau_h \right) e^{L(t_m - t_0)}, \quad m = 0, \dots, N. \quad (2.17)$$

Dabei ist $\tau_h = \max_j |\tau_j|$ und $\tau_j = \tau(t_j, y_j, h, f)$ der lokale Diskretisierungsfehler bei t_j .

Beweis. Es gilt

$$\begin{aligned} u_{j+1} &= u_j + h\Phi(t_j, u_j, h, f), \\ y(t_{j+1}) &= y(t_j) + h \underbrace{(\Phi(t_j, y(t_j), h, f) + \frac{1}{h}\tau(t_j, y(t_j), h, f))}_{\Delta}, \end{aligned}$$

und damit erhalten wir

$$\begin{aligned} e_{j+1} &= y(t_{j+1}) - u_{j+1} \\ &= \underbrace{y(t_j) - u_j}_{e_j} + \tau(t_j, y(t_j), h, f) + h[\Phi(t_j, y(t_j), h, f) \\ &\quad - \Phi(t_j, u_j, h, f)] \\ \Rightarrow |e_{j+1}| &\leq |e_j| + \tau_h + hL|e_j| \\ &= (1 + hL)|e_j| + \tau_h \end{aligned}$$

Mit dem nachfolgenden Lemma 10 folgt:

$$\begin{aligned} |e_m| &\leq \left(|e_0| + \sum_{j=0}^{m-1} |\tau_j| \right) e^{mLh} \\ &\leq (|e_0| + m\tau_h) e^{mLh} \\ &= \left(|e_0| + \frac{(t_m - t_0)}{h} \tau_h \right) e^{L(t_m - t_0)} \end{aligned}$$

wegen $mh = t_m - t_0$. \square

Falls $\tau_h = \mathcal{O}(h^{p+1})$ und $e_0 = 0$, so geht $|e_m| \rightarrow 0$ für $h \rightarrow 0$ wie $(t_m - t_0)h^p e^{L(t_m - t_0)}$.

Lemma 10 Falls $\rho_i \geq 0, \eta_i \geq 0, z_i \geq 0, i = 0, 1, 2, \dots$ und

$$z_m \leq (1 + \rho_{m-1})z_{m-1} + \eta_{m-1} \quad \forall m = 1, 2, \dots \quad (2.18)$$

so gilt

$$z_m \leq \left(z_0 + \sum_{j=0}^{m-1} \eta_j \right) e^{\sum_{i=0}^{m-1} \rho_i} \quad \forall m = 1, 2, \dots \quad (2.19)$$

Beweis. Per Induktion:

$m = 1$:

$$z_1 \leq (1 + \rho_0)z_0 + \eta_0 \leq (z_0 + \eta_0)e^{\rho_0}$$

$m \rightarrow m + 1$

$$\begin{aligned} z_{m+1} &\leq (1 + \rho_m)z_m + \eta_m \\ \text{I.V.} &\leq (1 + \rho_m) \left(z_0 + \sum_{j=0}^{m-1} \eta_j \right) e^{\sum_{i=0}^{m-1} \rho_i} + \eta_m \end{aligned}$$

Dann gilt

$$\left(z_0 + \sum_{j=0}^m \eta_j \right) e^{\sum_{i=0}^m \rho_i} = \left(z_0 + \sum_{j=0}^{m-1} \eta_j \right) e^{\sum_{i=0}^{m-1} \rho_i} \underbrace{e^{\rho_m}}_{\geq 1 + \rho_m} + \eta_m \underbrace{e^{\sum_{i=0}^m \rho_i}}_{\geq 1}$$

und damit folgt die Behauptung. \square

Im Falle des Euler-Verfahrens ist die Lipschitzbedingung gerade die übliche Lipschitzbedingung an die Funktion, die typischerweise für die Existenz- und Eindeutigkeit der Lösung (siehe z.B. [4, 24]) benötigt wird.

Bemerkung 11 *Diskussion der Ergebnisse.*

- Falls die Lipschitzkonstante L gross ist, so ist die Differentialgleichung instabil (siehe Beispiel 4). Dann wird ein Fehler am Anfangswert, aber auch jeder lokale Diskretisierungsfehler stark verstärkt.
- Die Konstante L ist leider im allgemeinen nicht bekannt.
- Ist L gross, so ist das eine schlechte Eigenschaft des mathematischen Modells, und es ist dringend notwendig zu überprüfen, ob dieses Problem im realen physikalischen Problem auch auftritt. Wenn ja, so ist dieses Anwendungsproblem mit numerischen Methoden nur sehr schlecht zugänglich. Wenn nein, so sollte die Modellierung überprüft werden.
- Ein weiterer Verstärkungsfaktor für den Fehler tritt auf, wenn wir über sehr lange Zeiten rechnen, d.h. wenn $t_N - t_0$ sehr gross ist, denn dann addieren sich auch viele kleine, in jedem Schritt gemachte Fehler. Man sollte überprüfen, ob das wirklich gewollt ist.
- Wenn aber L und $t_N - t_0$ beide nicht sehr gross sind, sollten wir einen kleinen globalen Fehler erhalten, wenn der lokale Fehler klein ist.

Sind wir damit nicht eigentlich fertig?

Wir bräuchten ja nur $h \rightarrow 0$ schicken, dann wird $\frac{\tau h}{h}$ klein und damit auch der Fehler.

Schauen wir mal an was auf dem Rechner passiert, wenn $h \rightarrow 0$.

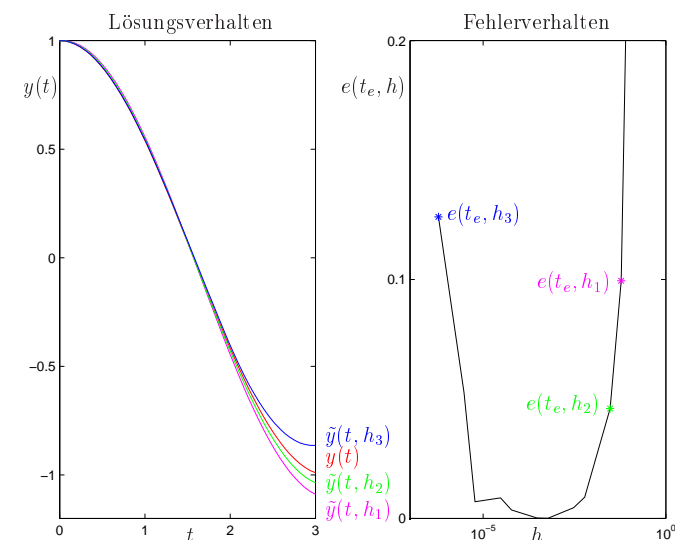
Beispiel 12 *Betrachte das Anfangswertproblem:*

$$y' = -\tan(t)y, \quad y(0) = 1$$

Als Lösung ergibt sich:

$$y(t) = \cos(t).$$

Lösungsverhalten für Schrittweiten
 $h_1 = 3/50$, $h_2 = 3/100$, $h_3 = 3/5000000$



Anmerkung: Die Ergebnisse wurden mit einfacher Genauigkeit unter F77 berechnet.

Kapitel 3

Fehleranalyse

In diesem Kapitel wollen wir uns anschauen was auf einem Rechner passiert, wenn wir ein numerisches Verfahren implementieren.

3.1 Rechnerarithmetik

Die Zahlendarstellung auf dem Rechner verwendet den folgenden Satz:

Theorem 13 (*p*-adische Entwicklung)

Ist $r \in \mathbb{R}, p \in \mathbb{N}, p > 1$, so gibt es ein eindeutiges $j \in \{0, 1\}$, ein eindeutiges $l \in \mathbb{Z}$ und für alle $k \in \mathbb{Z}$ mit $k \leq l$, eindeutige $\gamma_k \in \mathbb{Z}$, so dass

$$r = (-1)^j \sum_{k=-\infty}^l \gamma_k p^k \quad (3.1)$$

wobei $\gamma_l \neq 0$ für $r \neq 0$, $j = l = 0$ für $r = 0$ gilt, ausserdem $0 \leq \gamma_k < p$ für alle $k \leq l$ und $\gamma_k < p - 1$ für unendliche viele $k \leq l$.

Beweis. Siehe z.B. [8]. \square

Bemerkung 14 Die letzte Bedingung schließt Zahlen wie $3.9999\bar{9}$ aus.

Beispiel 15 Betrachte $r = 18.5$ und $p = 2$.

$$\begin{aligned} r &= (-1)^0 (1 * 2^{-1} + 0 * 2^0 + 1 * 2^1 + 0 * 2^2 + 0 * 2^3 + 1 * 2^4) \\ &= 10010.1 \text{ Dualzahldarstellung oder Binärdarstellung} \\ p &= 16 \\ r &= (-1)^0 (8 * 16^{-1} + 2 * 16^0 + 1 * 16) \\ &= 12.8 \text{ Hexadezimaldarstellung} \\ &\quad \text{Ziffern (0123456789ABCDEF)}. \end{aligned}$$

Die Konvertierung zwischen verschiedenen Darstellungen geschieht durch Division durch p mit Rest für ganzzahligen Anteil und Multiplikation mit p für Nachpunktanteil. Nach Theorem 13 ist

$$r = \left[\underbrace{(-1)^j \sum_{k=-\infty}^l (\gamma_k p^{k-l-1})}_a \right] \cdot p^{l+1} \quad (3.2)$$

wobei $\frac{1}{p} < |a| < 1$, da $\gamma_l \neq 0$.

Definition 16 Die Darstellung $r = a \cdot p^b$ heisst *normalisierte Gleitpunktdarstellung* von r bezüglich p . a heisst *Mantisse*, b der *Exponent* von r .

$$\begin{aligned} a &= V_M \sum_{i=1}^{\infty} \alpha_i p^{-i} \quad \text{mit } \alpha_i \neq 0 \\ b &= V_E \sum_{i=1}^l \beta_i p^{l-i}, \quad V_M, V_E \text{ Vorzeichen.} \end{aligned}$$

Auf einem Rechner ist für die Darstellung (im allgemeinen, in normierter Sprache) nur eine **feste** Anzahl von n Stellen möglich.

Diese n Stellen werden aufgeteilt in l Stellen für die Mantisse und m Stellen für den Exponenten. Die Zahl

$$V_M (\alpha_1 p^{-1} + \alpha_2 p^{-2} + \dots + \alpha_l p^{-l}) p^{V_E (\beta_1 p^{m-1} + \dots + \beta_m p^0)} \quad (3.3)$$

mit $\alpha_1 \neq 0$ wird durch die Angabe $V_M \alpha_1 \alpha_2 \dots \alpha_l V_E \beta_1 \dots \beta_m$ codiert.

Beispiel 17 Betrachte

$$\begin{aligned} r_1 &= -1234.567890, \quad r_2 = 0.01234567890 \\ p &= 10, \quad l = 9, \quad m = 2. \end{aligned}$$

Die normalisierte Gleitpunktdarstellung ist

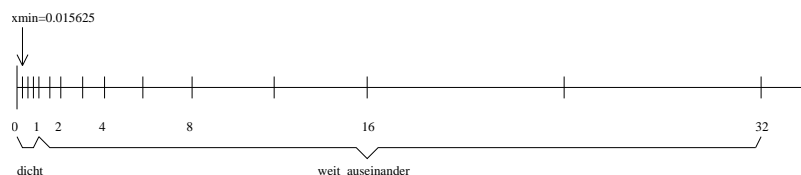
$$\begin{aligned} r_1 &= -0.123456789 \cdot 10^4 \\ &= -123456789 + 04, \\ r_2 &= -0.123456789 \cdot 10^{-1} \\ &= -123456789 - 01. \end{aligned}$$

Definition 18 $\mathbb{M}(p, l, m)$ bezeichnet die Menge der in normalisierter Gleitpunktdarstellung codierbaren (darstellbaren) Zahlen, auch Maschinenzahlen genannt, mit Basis p , mit l Stellen für die Mantisse und mit m Stellen für den Exponenten (jeweils zur Basis p).

Beispiel 19 $\mathbb{M}(2, 3, 3)$, d.h. $p = 2$ und $l = m = 3$

verfügbare Mantissen	verfügbare Exponenten
	$\pm 000 \hat{=} \pm 0 \quad 1, \quad 1$
$\pm 100 \hat{=} \pm \frac{1}{2}$	$\pm 001 \hat{=} \pm 1 \quad 2, \quad \frac{1}{2}$
	$\pm 010 \hat{=} \pm 2 \quad 4, \quad \frac{1}{4}$
$\pm 101 \hat{=} \pm \frac{5}{8}$	$\pm 011 \hat{=} \pm 3 \quad 8, \quad \frac{1}{8}$
	$\pm 100 \hat{=} \pm 4 \quad 16, \quad \frac{1}{16}$
$\pm 110 \hat{=} \pm \frac{3}{4}$	$\pm 101 \hat{=} \pm 5 \quad 32, \quad \frac{1}{32}$
	$\pm 110 \hat{=} \pm 6 \quad 64, \quad \frac{1}{64}$
$\pm 111 \hat{=} \pm \frac{7}{8}$	$\pm 111 \hat{=} \pm 7 \quad 128, \quad \frac{1}{128}$
kleinste positive Zahl	$x_{\min} = \frac{1}{2} 2^{-7} = 2^{-8}$
größte positive Zahl	$x_{\max} = \frac{7}{8} 2^7 = 112$

Maschinenzahlen sind wie folgt angeordnet



3.2 Rundungsfehler (Reduktionsfehler)

Von nun an sei p entweder 10 oder 2^k . Um eine beliebige reelle Zahl darzustellen wird sie gerundet in die Menge der Maschinenzahlen abgebildet,

$$\gamma : \mathbb{R} \rightarrow \mathbb{M}(p, l, m).$$

Sei $x = \pm (\sum_{i=1}^{\infty} \alpha_i p^{-i}) \cdot p^t, \alpha_1 \neq 0, x \in Z = [x_{\min}, x_{\max}] \cup [-x_{\max}, -x_{\min}]$

Übliche Rundung auf l Stellen

$$\gamma(x) = \begin{cases} \pm \left(\sum_{i=1}^l \alpha_i p^{-i} \right) \cdot p^t & \text{falls } \alpha_{l+1} < \frac{p}{2} \\ \pm \left(\sum_{i=1}^l (\alpha_i p^{-i}) + p^{-l} \right) \cdot p^t & \text{falls } \alpha_{l+1} \geq \frac{p}{2}. \end{cases} \quad (3.4)$$

Bei Zahlen ausserhalb von Z gibt es **rechnerabhängige** Vorgehensweisen z.B.

$$\begin{aligned} |x| < x_{\min} & \begin{cases} \gamma(x) = 0 & \text{'underflow'} \\ \gamma(x) = \text{sign}(x) x_{\min} \end{cases} \\ |x| > x_{\max} & \begin{cases} \gamma(x) = \text{sign}(x) x_{\max} \text{ mit Meldung 'overflow'} \\ \text{Warnung 'overflow'} \end{cases} \end{aligned}$$

Proposition 20 Absoluter Rundungsfehler Sei $x \in Z$. Dann gilt

$$|\gamma(x) - x| \leq \frac{p^{-l}}{2} p^t. \quad (3.5)$$

Beweis.

Abrunden:

$$|\gamma(x) - x| = \left| \left(\sum_{i=1}^{\infty} \alpha_i p^{-i} \right) p^t - \left(\sum_{i=1}^l \alpha_i p^{-i} \right) p^t \right|$$

$$\begin{aligned}
&= p^l \cdot \left| \sum_{i=l+1}^{\infty} \alpha_i p^{-i} \right| = p^l p^{-(l+1)} \left| \underbrace{\sum_{i=0}^{\infty} \alpha_{l+i+1} p^{-i}}_{\leq \frac{p}{2}} \right| \\
&\leq p^l \frac{p^{-1}}{2}.
\end{aligned}$$

Aufrunden:

$$\begin{aligned}
|\gamma(x) - x| &= \left| \left(\sum_{i=1}^{\infty} \alpha_i p^{-i} \right) p^l - \left(\sum_{i=1}^l (\alpha_i p^{-i}) + p^{-l} \right) p^l \right| \\
&= \left| \sum_{i=l+1}^{\infty} \alpha_i p^{-i} - p^{-l} \right| p^l \\
&= p^l \left| -p^{-l} + \alpha_{l+1} p^{-(l+1)} + \dots \right| \\
&= p^l p^{-l} \left| -1 + \alpha_{l+1} p^{-1} + \alpha_{l+2} p^{-2} + \dots \right| \\
&\leq p^l p^{-l} \left(-\frac{p}{2} p^{-1} + 1 \right) = p^l \frac{p^{-1}}{2}.
\end{aligned}$$

□

Proposition 21 Relativer Rundungsfehler Sei $x \in Z$. Dann gilt

$$\frac{|\gamma(x) - x|}{|x|} \leq \frac{\frac{p^{-1}}{2} p^l}{M_x p^l} \leq \frac{\frac{p^{-1}}{2}}{\frac{1}{p}} = \frac{p}{2} p^{-l}.$$

Beweis. Der Beweis folgt da die Mantisse M_x von x die Ungleichung $M_x \geq \frac{1}{p}$ erfüllt. □

Beachte, bei $M_x = \frac{1}{p}$, d.h. $x = \frac{p^l}{p}$ gibt es keinen Fehler.

Die Zahl

$$\text{eps} := \frac{p}{2} p^{-l} =: (\text{macheps}) =: \mathbf{u} \quad (3.6)$$

heisst Maschinengenauigkeit (roundoff unit).

Bemerkung 22 Es gilt immer $\text{eps} = \min\{|\delta| \mid \delta \in [x_{\min}, x_{\max}] \text{ und } |\gamma(1 + \delta)| > 1\}$ und

$$\begin{aligned}
\gamma(x) &= x \cdot (1 + \varepsilon) \text{ mit } |\varepsilon| \leq \text{eps}, \\
\text{wobei } \varepsilon &= \frac{\gamma(x) - x}{x}.
\end{aligned}$$

Beispiel 23 Betrachte 0.2 dezimal mit $l = 6, p = 2$. Das ergibt $0.\overline{0011}$ in dualer Darstellung und normalisiert $0.110011 * 2^{-2}$. Rundung auf $l = 6$ Stellen ergibt $0.110011 * 2^{-2}$. Rückkonvertiert ergibt sich $\frac{51}{256} = 0.19921875$.

Rundungsfehler entstehen beim Einlesen, Speichern, Konvertieren, Rechnen.

Man hat auf dem Rechner nur eine *Pseudoarithmetik*, denn \mathbb{M} ist nicht abgeschlossen bzgl. $+, -, *, \div$.

Beispiel 24 Betrachte $\mathbb{M}(10, 5, 1)$ und die Zahlen

$$\begin{aligned}
x &= +25684 + 1 \hat{=} 2.5684, \\
y &= +32791 - 2 \hat{=} 0.0032791.
\end{aligned}$$

Dann gilt

$$\begin{aligned}
x + y &= \underbrace{2.5716}_{5} 781 \notin \mathbb{M}, x * y = 0.00 \underbrace{84220}_{5} 44044 \notin \mathbb{M} \\
x/y &= \underbrace{783.26}_{5} 37004 \notin \mathbb{M}.
\end{aligned}$$

Die übliche Arithmetik in \mathbb{R} muss so realisiert werden, dass das Ergebnis wieder in \mathbb{M} ist.

Das Ergebnis der Pseudooperation $\nabla, \nabla \in \{+, -, *, \div\}$ ist im allgemeinen festgelegt durch

$$gl(x \nabla y) \equiv x \nabla y = \gamma(x \nabla y), \text{ für } x, y \in \mathbb{M} \quad (3.7)$$

Hardwaremäßig wird üblicherweise mit längerer Mantisse gearbeitet als im Ergebnis, dies normalisiert und dann gerundet. **Vorsicht: dies gilt nicht auf allen Rechnern, man kann böse Überraschungen erleben. (z.B. auf Rechnern die nicht mit IEEE-Standard-Arithmetik arbeiten.)**

Proposition 25 *Es gelte (3.7). Falls $|x \nabla y|$ in Z liegt, so gilt für den relativen Fehler*

$$\left| \frac{x \oslash y - x \nabla y}{x \nabla y} \right| = \left| \frac{\gamma(x \nabla y) - x \nabla y}{x \nabla y} \right| < \text{eps} \quad (3.8)$$

In \mathbb{R} gelten Assoziativ-, Kommutativ- und Distributivgesetz, in der Rechnerarithmetik in \mathbb{M} gilt im allgemeinen **nur** die Kommutativität für Addition und Multiplikation.

Beispiel 26 *Betrachte $\mathbb{M}(10, 5, 1)$.*

Assoziativität

$$\begin{aligned} 0.98765 + 0.012424 - 0.0065432 &= \underline{0.9935308} \\ 0.98765 \oplus (0.012424 \ominus 0.0065432) &= \\ 0.98765 \oplus 0.00588(08) &= \underline{0.99353(08)} \\ (0.98765 \oplus 0.012424) \ominus 0.0065432 &= \\ \underbrace{1.000074}_{1.0001} \ominus 0.0065432 &= \underline{0.99351} \end{aligned}$$

Distributivität

$$\begin{aligned} (4.2832 - 4.2821) * 5.7632 &= \underline{0.00633952} \\ (4.2832 \ominus 4.2821) \otimes 5.7632 &= \\ 0.0011 \otimes 5.7632 &= \underline{0.0063395(2)} \\ (4.2832 \otimes 5.7632) \ominus (4.2821 \otimes 5.7632) &= \\ \underbrace{24.684(93824)}_{24.685 \ominus 24.679 = 0.0060000} \ominus 24.678(59872) &= \end{aligned}$$

Mathematisch äquivalente Algorithmen zur Auswertung eines rationalen Ausdrucks können bei Durchführung auf dem Rechner zu wesentlich verschiedenen Ergebnissen führen, selbst wenn die Eingabedaten Maschinenzahlen sind. Nichtrationale Operationen wie $\sqrt{\cdot}$, \sin , \exp sind (nicht immer gut) softwaremäßig realisiert. Auch

hierfür gilt im allgemeinen: Das Maschinenergebnis ist Rundung des exakten Ergebnisses.

Auf einigen Maschinen ist selbst \div nicht fest realisiert oder man hat die Wahl zwischen billig und schlecht oder teuer und gut.

3.3 Fehlerfortpflanzung

Unglücklicherweise pflanzen sich einmal gemachte Fehler (z.B. bei Rundung) auch noch fort. Seien x, y mit Fehlern $\Delta x, \Delta y$ behaftet $\left(\left| \frac{\Delta x}{x} \right|, \left| \frac{\Delta y}{y} \right| \ll 1 \right)$.

Was passiert bei exakter Durchführung einer elementaren Operation mit diesen Fehlern, d.h. für $\nabla \in \{+, -, *, \div\}$ sei $x \nabla y \in \mathbb{M}$.

Fortpflanzung des relativen Fehlers:

$$(x + \Delta x) \nabla (y + \Delta y) = x \nabla y + \underbrace{\Delta(x \nabla y)}_{\text{abs. Fehler des Ergebnisses}}$$

$\pm : x \pm y + \Delta x \pm \Delta y :$

$$\frac{\Delta(x \pm y)}{x \pm y} = \frac{\Delta x \pm \Delta y}{x \pm y} = \frac{x}{x \pm y} \frac{\Delta x}{x} \pm \frac{y}{x \pm y} \frac{\Delta y}{y} \quad (3.9)$$

Bemerkung 27 *Ist $|x \pm y|$ sehr klein gegenüber $|x|$ oder $|y|$, so kann der relative Fehler ausserordentlich verstärkt werden, z.B. wenn zwei annähernd gleich große Zahlen subtrahiert werden. Dieser Effekt heisst Auslöschung. Man muss bei der Aufstellung der Algorithmen darauf achten, dass dies so weit wie möglich vermieden wird.*

Bei Multiplikation und Division tritt keine wesentliche Verstärkung des Fehlers auf.

$$\begin{aligned} * : xy + \underbrace{x\Delta y + y\Delta x + \Delta y\Delta x}_{\Delta(xy)} : \\ \frac{\Delta(x * y)}{x * y} = \frac{\Delta y}{y} + \frac{\Delta x}{x} + \frac{\Delta y \Delta x}{xy} \approx \frac{\Delta y}{y} + \frac{\Delta x}{x} \end{aligned} \quad (3.10)$$

$$\begin{aligned} \div : \frac{x + \Delta x}{y + \Delta y} &= \frac{x}{y} + \frac{y\Delta x - x\Delta y}{y(y + \Delta y)} : \\ \frac{\Delta(x \div y)}{x \div y} &= \frac{1}{x \div y} \left(\frac{y\Delta x - x\Delta y}{y(y + \Delta y)} \right) \quad (3.11) \\ &= \frac{y\Delta x - x\Delta y}{x(y + \Delta y)} = \frac{\Delta x}{x} \frac{y}{y + \Delta y} - \frac{\Delta y}{y + \Delta y} \\ &\approx \frac{\Delta x}{x} - \frac{\Delta y}{y} \end{aligned}$$

Wie beurteilt man nun numerische Verfahren?

Wesentliche Gesichtspunkte sind die **Genauigkeit und Verlässlichkeit** des Ergebnisses und die **Effizienz**, d.h. der Rechenzeitbedarf, der Speicherbedarf, die Programmlänge, die Kosten und neuerdings die Vektorisierbarkeit oder Parallelisierbarkeit.

Die Effizienz hängt stark von der Rechnerarchitektur ab, bzw. von der Systemumgebung, i.a. kann man dieses gut abschätzen oder testen.

Die Verlässlichkeit gibt an, wie ein Versagen eines Teilprogramms den Gesamtprozess beeinflusst. Bei der Genauigkeit hat man **alle möglichen auftretenden** Fehler zu berücksichtigen und ihren Einfluss auf das Ergebnis.

Fehler sind hier nicht Programmier- oder Hardwarefehler, sondern die Abweichung, eines nach richtig angewendeter Vorschrift erzeugten Resultats, vom gewünschten Ergebnis.

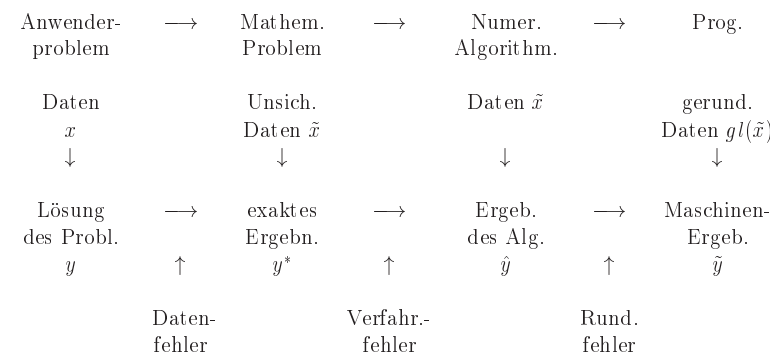
Es gibt verschiedene Fehlerarten:

1. **Rundungs- oder Reduktionsfehler**, s.o.
2. **Datenfehler**: Üblicherweise sind die Eingangsdaten ungenau, z. B. Messdaten mit Messfehlern. Das Lösen eines Problems entspricht dem Auswerten einer Funktion $f : D \rightarrow W$ für Datenwerte $x \in D$. Anstelle von x hat man gestörten Wert \tilde{x} . Der Datenfehler ist dann $f(x) - f(\tilde{x})$.

Die Empfindlichkeit der Lösung des Problems (Auswertung von f), gegenüber kleinen Änderungen in den Daten (in x) heisst **Kondition des Problems**. Die gute oder schlechte Kondition ist eine **Eigenschaft des Problems** und **NICHT** des Verfahrens.

Eine instabile Differentialgleichung hat eine schlechte Kondition.

3. **Verfahrensfehler**: Exakte Verfahren enden nach endlich vielen Operationen (bei exakter Rechnung) mit dem exakten Ergebnis $y = f(x)$. Näherungsverfahren (z.B. das Euler-Verfahren) enden mit einer Näherung \tilde{y} für die Lösung y . Verfahrensfehler: $\tilde{y} - y$



3.4 Fehleranalyse

Um herauszufinden was in einem Algorithmus passiert, machen wir eine Fehleranalyse.

Gegeben sei eine Funktion $f(a_1, \dots, a_n)$ und eine durch Fehler gestörte Funktion $\tilde{f}(a_1, \dots, a_n)$.

Eine *Fehleranalyse* ist die Verfolgung der Auswirkung aller Fehler, die in den einzelnen Schritten bei der Berechnung von f auftreten können.

Bei der *Vorwärtsanalyse* verfolgen wir den Fehler von Schritt zu Schritt und

schätzen für jedes Teilergebnis den akkumulierten Fehler ab, d.h. wir verfolgen den Fehler, so dass das Ergebnis die Form $\tilde{f}(a_1, \dots, a_n) = f(a_1, \dots, a_n) + \delta$ hat, wobei δ der akkumulierte Fehler ist.

Bei der *Rückwärtsanalyse* geschieht die Verfolgung des Fehlers so, dass jedes Zwischenergebnis als *exakt berechnetes Ergebnis für gestörte Daten* interpretiert wird, d.h. der akkumulierte Fehler im Teilergebnis wird als Datenfehler-effekt interpretiert. Also: $\tilde{f}(a_1, \dots, a_n) = f(\tilde{a}_1, \dots, \tilde{a}_n)$ mit gestörten Daten $\tilde{a}_1, \dots, \tilde{a}_n$. Über den Fehler im Endergebnis erhält man so zunächst nur die Aussage, dass er einem Datenfehler bestimmter Größe entspricht, dem *äquivalenten Datenfehler*. Die Größe der äquivalenten Datenfehler dient dann zur Beurteilung der Algorithmen.

Beispiel 28 Betrachte

$$f(a_1, a_2) = a_1 + a_2, \quad \tilde{f}(a_1, a_2) = a_1 \oplus a_2.$$

$$a_1 \oplus a_2 \stackrel{\text{Vorwärtsanalyse}}{=} \underbrace{a_1 + a_2}_{f(a_1, a_2)} + \underbrace{\varepsilon(a_1 + a_2)}_{\delta} \quad |\varepsilon| \leq \text{eps},$$

$$\quad \quad \quad |\delta| \leq \text{eps} (|a_1| + |a_2|)$$

$$\stackrel{\text{Rückwärtsanalyse}}{=} \underbrace{a_1(1 + \varepsilon) + a_2(1 + \varepsilon)}_{f(\tilde{a}_1, \tilde{a}_2)} \quad |\varepsilon| \leq \text{eps}$$

Eine Vorwärtsanalyse ist im allgemeinen kaum durchführbar, für die meisten Verfahren ist, wenn überhaupt, nur eine Rückwärtsanalyse bekannt.

Ein idealer Algorithmus im Sinne der Rückwärtsanalyse hat einen äquivalenten Datenfehler von der Größenordnung der Rundungsfehler oder Eingangsfehler. Aussagen über den Gesamtfehler erhält man dann über *Störungssätze*.

Vorteil dieser Vorgehensweise: Auswirkungen der Arithmetik und des Verfahrens werden getrennt von der Kondition des Problems.

Beispiel 29 Betrachte die quadratische Gleichung $x^2 - 2a_1x + a_2 = 0 \quad 0 < a_2 \ll 1 < a_1$.

Finde die kleine Lösung

$$x^* = f(a_1, a_2) = a_1 - \sqrt{a_1^2 - a_2}$$

Kondition des Problems: Setze $a = (a_1, a_2)$ und betrachte Taylorentwicklung von

$$f(a + \Delta a) = \tilde{x}^*$$

$$f(a + \Delta a) = f(a) + \frac{\partial f}{\partial a_1}(a) \Delta a_1 + \frac{\partial f}{\partial a_2}(a) \Delta a_2 + \text{Terme höherer Ordnung in } \Delta a_1, \Delta a_2. \quad (3.12)$$

$$\frac{\tilde{x}^* - x^*}{x^*} = \underbrace{\frac{\partial f(a)}{\partial a_1} \frac{\Delta a_1}{x^*}}_{\text{Verstärkungsfaktoren für}} + \underbrace{\frac{\partial f(a)}{\partial a_2} \frac{\Delta a_2}{x^*}}_{\text{relativen Fehler in Daten.}} + \text{T.h.O.}$$

$$\frac{\partial f}{\partial a_1}(a) = 1 - \frac{1}{2} \frac{2a_1}{\sqrt{a_1^2 - a_2}} = \frac{\sqrt{a_1^2 - a_2} - a_1}{\sqrt{a_1^2 - a_2}} = \frac{-x^*}{\sqrt{a_1^2 - a_2}}$$

$$\frac{\partial f}{\partial a_2}(a) = \frac{1}{2} \frac{1}{\sqrt{a_1^2 - a_2}}$$

$$\frac{\partial f}{\partial a_1}(a) \frac{a_1}{x^*} = \frac{-x^*}{\sqrt{a_1^2 - a_2}} \frac{a_1}{x^*} \approx -1 \quad \text{da } a_2 \ll 1 < a_1$$

$$\frac{\partial f}{\partial a_2}(a) \frac{a_2}{x^*} = \frac{a_2}{2\sqrt{a_1^2 - a_2}x^*} = \frac{a_2}{\frac{a_2}{\sqrt{a_1^2 - a_2}} + 1} \approx 1$$

Also ist das Problem gut konditioniert. Erwarten würden wir bei einem guten Algorithmus einen relativen Fehler von $c \cdot \text{eps}$, mit kleinem c .

<i>Algorithmus:</i>	$\mathbb{M}(10, 5, 1)a_1 = 6.002, a_2 = 0.01$
$y_1 := a_1 * a_1$	$y_1 = 36.024$
$y_2 := y_1 - a_2$	$y_2 = 36.014$
$y_3 := \sqrt{y_2}$	$y_3 = 6.0012$
$x := y_4 = a_1 - y_3$	$\tilde{x} = y_4 = 0.00080000$
	<i>exakt</i> 0.00083311
	$\frac{\Delta x}{x} = 0.039747$

Eine Rückwärtsanalyse liefert

$$\begin{aligned}
& \left[a_1 - \sqrt{(a_1^2(1+\varepsilon_1) - a_2)(1+\varepsilon_2)(1+\varepsilon_3)} \right] (1+\varepsilon_4), \quad |\varepsilon_i| < \text{eps}. \\
= & a_1(1+\varepsilon_4) - \sqrt{a_1^2(1+\varepsilon_4)^2 \underbrace{(1+\varepsilon_1)(1+\varepsilon_2)(1+\varepsilon_3)^2}_{\substack{1+\varepsilon_5 \\ |\varepsilon_5| < 4 \text{ eps.}}} - a_2 \underbrace{(1+\varepsilon_2)(1+\varepsilon_3)^2(1+\varepsilon_4)^2}_{\substack{1+\varepsilon_6 \\ |\varepsilon_6| < 5 \text{ eps.}}}} \\
= & a_1(1+\varepsilon_4) - \sqrt{(a_1(1+\varepsilon_4))^2 - a_2 \underbrace{\left((1+\varepsilon_6) - \frac{a_1^2(1+\varepsilon_4)^2 \varepsilon_5}{a_2} \right)}_{\substack{1+\varepsilon_7 \\ |\varepsilon_7| < \text{eps} (5 + 4 \frac{a_1^2}{a_2})}}}
\end{aligned}$$

Der Rechner liefert die exakte Lösung von $x^2 - 2a_1(1+\varepsilon_4)x + a_2(1+\varepsilon_7) = 0$ mit $|\varepsilon_4| < \text{eps}$ und $|\varepsilon_7| < \text{eps} (5 + 4 \underbrace{\frac{a_1^2}{a_2}}_{\text{groß}})$, d.h. der Algorithmus ist **ungeeignet**.

Definition 30 Ein Algorithmus für den die Rückwärtsanalyse liefert, dass das berechnete Ergebnis das exakte Ergebnis eines gestörten Problems mit Störungen der Größenordnung $c \cdot \text{eps}$ ist, heisst numerisch rückwärts stabil. Ein Algorithmus für den die Vorwärtsanalyse liefert, dass das berechnete Resultat einen relativen Fehler der Größenordnung $c \cdot \text{eps}$ hat, heisst numerisch vorwärts stabil. Ansonsten ist der Algorithmus numerisch instabil.

Faustregel:

Gut konditioniertes Problem und stabiler Algorithmus \implies gute Ergebnisse.

Schlecht konditioniertes Problem oder instabiler Algorithmus \implies unsichere Ergebnisse.

3.5 Fehleranalyse bei Einschrittverfahren

Wir wollen nun mit diesen Erkenntnissen die expliziten Einschrittverfahren untersuchen.

Wir haben schon im Beispiel gesehen, dass der Fehler wächst, wenn wir h zu klein machen. Woran liegt das?

Die Lipschitzkonstante L , gibt im wesentlichen an ob das Problem schlecht konditioniert ist. Leider kennen wir diese im allgemeinen nicht.

Was passiert bei der Implementierung des Verfahrens?

Wir berechnen

$$u_{i+1} = u_i + h\Phi(t_i, u_i, h, f), \quad u_0 = y_0.$$

Dabei machen wir einen Approximationsfehler aber auch Rundungsfehler bei der Auswertung von Φ und bei der Summe und Multiplikation.

Auf dem Rechner erhalten wir

$$\begin{aligned}
\tilde{u}_0 &= gl(y_0) = y_0 + \epsilon_0, \quad |\epsilon_0| \leq \text{eps} \\
\tilde{u}_{i+1} &= gl(\tilde{u}_i + gl(\tilde{h} * gl(\Phi(\tilde{t}_i, \tilde{u}_i, \tilde{h}, \tilde{f}))) \\
&= \tilde{u}_i + h\Phi(t_i, \tilde{u}_i, h, f) + \epsilon_{i+1},
\end{aligned} \tag{3.13}$$

wobei

$$\epsilon_{i+1} = h\Phi(t_i, \tilde{u}_i, h, f)(\alpha_{i+1} + \mu_{i+1}) + \tilde{u}_{i+1}\sigma_{i+1} + \mathcal{O}(\text{eps}^2). \tag{3.14}$$

Dabei ist α_{i+1} der Fehler bei der Berechnung von Φ , μ_{i+1} der Fehler bei der Berechnung von $\tilde{h}\tilde{\Phi}$ und σ_{i+1} der Fehler bei der Berechnung von $\tilde{u}_i + \tilde{h}\tilde{\Phi}$.

Wenn h klein ist, können wir annehmen, dass

$$h(\alpha_{i+1} + \mu_{i+1}) \ll u_{i+1}\sigma_{i+1}.$$

Damit haben wir grob, dass $\epsilon_{i+1} \approx \sigma_{i+1}\tilde{u}_{i+1}$.

Theorem 31 Rundungsfehlereinfluß beim expliziten Einzschritverfahren.

Seien u_i , $i = 0, \dots, N$ die (theoretischen) Verfahrenswerte, die gemäß

$$u_{i+1} = u_i + h\Phi(t_i, u_i, h, f), \quad u_0 = y_0$$

gewonnen werden, und seien \tilde{u}_i die vom Rechner hierfür gelieferten Werte, für die gilt

$$\tilde{u}_{i+1} = \tilde{u}_i + h\Phi(t_i, \tilde{u}_i, h, f) + \epsilon_{i+1}, \quad \tilde{u}_0 = u_0 + \epsilon_0.$$

Die Inkrementfunktion Φ genüge einer Lipschitzbedingung mit Konstante L bzgl. u und es sei $|\epsilon_i| \leq \epsilon = c \text{ eps}$ für alle $0 = 1, \dots, N$.

Dann gilt für $r_i = \tilde{u}_i - u_i$, dass

$$|r_m| \leq e^{L(t_m - t_0)} \left(|r_0| + \frac{t_m - t_0}{h} \epsilon \right).$$

Beweis. Wir haben

$$r_{i+1} = r_i + h[\Phi(t_i, \tilde{u}_i, h, f) - \Phi(t_i, u_i, h, f)] + \epsilon_{i+1}$$

also

$$|r_{i+1}| \leq (1 + hL)|r_i| + \epsilon.$$

Nach Lemma 10 gilt daher

$$|r_m| \leq (|r_0| + m\epsilon)e^{mLh} = \left(|r_0| + \frac{t_m - t_0}{h} \epsilon \right) e^{L(t_m - t_0)},$$

da $mh = t_m - t_0$. \square

Damit können wir nun den Gesamtfehler $E_i := \tilde{u}_i - y(t_i)$ bei expliziten Einzelschrittverfahren charakterisieren.

Theorem 32 Gesamtfehler.

Mit den Bezeichnungen und Voraussetzungen von Theorem 31 und mit $\tau_h = \max_i |\tau_i|$ und $\tau_i = \tau(t_i, y_i, h, f)$ folgt für $m = 0, \dots, N$, dass

$$|E_m| = |\tilde{u}_m - y(t_m)| \leq e^{L(t_m - t_0)} \left[|\epsilon_0| + \frac{(t_m - t_0)}{h} (\tau_h + c \text{ eps}) \right].$$

Beweis. Wir haben $E_0 = \epsilon_0$ und

$$E_{i+1} = \tilde{u}_{i+1} - y_{i+1} = (\tilde{u}_{i+1} - u_{i+1}) + (u_{i+1} - y_{i+1}) = r_{i+1} + e_{i+1}.$$

Wir haben e_{i+1} in Theorem 9 und r_{i+1} in Theorem 31 berechnet. Damit ergibt sich

$$\begin{aligned} |E_m| &= |r_m + e_m| \leq |r_m| + |e_m| \\ &\leq \left(|r_0| + |e_0| + (t_m - t_0) \frac{\tau_h + c \text{ eps}}{h} \right) e^{L(t_m - t_0)}. \end{aligned}$$

\square

Bemerkung 33 Diskussion der Ergebnisse:

- Falls h groß ist, so ist $\frac{\tau_h}{h}$ groß und $\frac{\text{eps}}{h}$ klein.
- Falls h klein ist, so ist $\frac{\tau_h}{h}$ klein, aber $\frac{\text{eps}}{h}$ groß.
- Wir müssen h klein machen, damit $\frac{\tau_h}{h}$ klein ist, wir dürfen es aber nicht zu klein machen, weil sonst der Anteil des Fehlers, der von den Rundungsfehlern herrührt den Fehler dominiert.
- Wir brauchen daher Verfahren höherer Ordnung, d.h., Verfahren, bei denen $\frac{\tau_h}{h} = \mathcal{O}(h^p)$ mit möglichst großem p , denn dann können wir den Gesamtfehler schon mit relativ großem h klein machen.

Kapitel 4

Interpolation

4.1 Einführung

Wir haben gesehen, dass wir für die numerische Lösung von Differentialgleichungen Verfahren höherer Ordnung benötigen. Um solche Verfahren zu erhalten, und auch aus vielen anderen Gründen wie

- Approximation von Funktionen,
- Darstellung der Lösung von Differentialgleichungen als Kurve,
- CAD (Computer Aided Design),
CAGD (Computer Aided Graphic Design),
- Bildverarbeitung,
- Signalverarbeitung,
- ...

müssen wir uns mit Interpolationsmethoden beschäftigen.
Betrachte einen Typ von Funktionen z.B.

1. Polynome

$$P(x) = a_0 + a_1x + a_2x^2 + \dots + a_nx^n; \quad (4.1)$$

2. Rationale Funktionen

$$P(x) = \frac{a_0 + a_1x + a_2x^2 + \dots + a_nx^n}{a_{n+1} + a_{n+2}x + a_{n+3}x^{n+3} + \dots + a_{n+m+1}x^m}; \quad (4.2)$$

3. Trigonometrische Polynome

$$P(x) = a_0 + a_1e^{xi} + a_2e^{2xi} + \dots + a_ne^{nxi}; \quad (4.3)$$

4. oder Splines, dies sind stückweise Polynome.

Eine Interpolationsaufgabe hat dann die folgende Form:

Gegeben Werte (x_i, f_i) für $i = 0, 1, \dots, n$ (diese heißen *Stützstellen* oder *Knoten*), finde Parameter a_0, \dots, a_n , so dass

$$P(x_i, a_0, \dots, a_n) = f_i, \quad i = 0, \dots, n. \quad (4.4)$$

Beispiel 34 *Interpolation durch stückweise lineare Funktionen. Gegeben seien die Stützstellen, die das Euler-Verfahren für $y' = f(t, y)$, mit Anfangswert $y(t_0) = y_0$ berechnet hat,*

$$(t_i, u_i), \quad i = 0, \dots, N.$$

Bestimme eine stückweise lineare Funktion (linearer Spline), die diese Punkte verbindet.

4.2 Polynominterpolation

Eine der wichtigsten Interpolationsaufgaben in der Praxis ist die Polynominterpolation.

Mit der Bezeichnung

$$\Pi_n := \{\text{Polynome vom Grad } \leq n\}$$

erhalten wir den folgenden Satz:

Theorem 35 Lagrange-Interpolation¹

Seien $n + 1$ Stützstellen (x_i, f_i) , $i = 0, \dots, n$, mit $x_i \neq x_j$ für $i \neq j$ gegeben. Dann gibt es ein eindeutig bestimmtes Polynom $p \in \Pi_n$ mit

$$p(x_i) = f_i, \quad i = 0, \dots, n. \quad (4.5)$$

¹J.L. Lagrange, Französischer Mathematiker 1736–1813

Beweis. Zuerst zeigen wir die Eindeutigkeit des Interpolationspolynoms: Angenommen, es existieren zwei Polynome $p_1, p_2 \in \Pi_n$ mit

$$p_1(x_i) = p_2(x_i) = f_i, \quad i = 0, \dots, n.$$

Dann definiere $p := p_1(x) - p_2(x)$. Es gilt: $\text{Grad } p \leq n$ und

$$p(x_i) = p_1(x_i) - p_2(x_i) = 0, \quad i = 0, \dots, n$$

p hat $n + 1$ Nullstellen. Mit dem Hauptsatz der Algebra folgt:

$$p(x) \equiv 0$$

und damit

$$p_1 = p_2.$$

Nun zeigen wir die Existenz, indem wir das Interpolationspolynom konstruieren: Sei

$$L_i(x) = \prod_{\substack{j=0 \\ j \neq i}}^n \frac{x - x_j}{x_i - x_j}. \quad (4.6)$$

Für die L_i gilt an den Stützstellen x_k :

$$L_i(x_k) = \begin{cases} 1 & \text{für } i = k \\ 0 & \text{für } i \neq k \end{cases}. \quad (4.7)$$

Daraus folgt, dass

$$\begin{aligned} p(x) &= \sum_{i=0}^n f_i L_i(x) \\ &= \sum_{i=0}^n f_i \left(\prod_{\substack{j=0 \\ j \neq i}}^n \frac{x - x_j}{x_i - x_j} \right) \end{aligned} \quad (4.8)$$

die Interpolationsaufgabe löst. \square

Die $L_i(x)$ heißen *Lagrange-Interpolationspolynome*. Sie bilden eine Basis für Π_n . Eine andere Basis ist $1, x, x^2, \dots, x^n$. Beide Basen sind jedoch für die praktische Berechnung ungeeignet. Für die numerische Berechnung verwenden wir zwei andere Ansätze.

4.2.1 Das Verfahren von Neville und Aitken

Definition 36 Gegeben seien die Stützpunkte (x_i, f_i) , $i = 0, \dots, n$ und eine Teilmenge $\{i_0, \dots, i_k\} \subset \{0, \dots, n\}$. Dann bezeichnet $P_{i_0, \dots, i_k} \in \Pi_k$ das Polynom mit der Eigenschaft

$$P_{i_0, \dots, i_k}(x_{i_j}) = f_{i_j}, \quad j = 0, \dots, k \quad (4.9)$$

Dann erhalten wir für diese Teilpolynome die folgende Rekursionsformel:

Lemma 37 Es gilt:

$$P_{i_j}(x) \equiv f_{i_j}, \quad j = 0, \dots, k, \quad (4.10)$$

$$P_{i_0, \dots, i_k}(x) = \frac{(x - x_{i_0})P_{i_1, \dots, i_k}(x) - (x - x_{i_k})P_{i_0, \dots, i_{k-1}}(x)}{x_{i_k} - x_{i_0}}. \quad (4.11)$$

Beweis. Die Formel (4.10) ist klar. Zum Beweis von (4.11) sei $q(x)$ die rechte Seite von (4.11). Der Grad von $q(x)$ ist nicht größer als k , daher gilt

$$\begin{aligned} q(x_{i_0}) &= \frac{0 - (x_{i_0} - x_{i_k})P_{i_0, \dots, i_{k-1}}(x_{i_0})}{x_{i_k} - x_{i_0}} \\ &= P_{i_0, \dots, i_{k-1}}(x_{i_0}) \\ &= f_{i_0}, \\ q(x_{i_k}) &= \frac{(x_{i_k} - x_{i_0})P_{i_1, \dots, i_k}(x_{i_k}) - 0}{x_{i_k} - x_{i_0}} \\ &= P_{i_1, \dots, i_k}(x_{i_k}) \\ &= f_{i_k}. \end{aligned}$$

Weiterhin gilt für $j = 1, \dots, k - 1$, dass

$$\begin{aligned} q(x_{i_j}) &= \frac{(x_{i_j} - x_{i_0})P_{i_1, \dots, i_k}(x_{i_j}) - (x_{i_j} - x_{i_k})P_{i_0, \dots, i_{k-1}}(x_{i_j})}{x_{i_k} - x_{i_0}} \\ &= \frac{(x_{i_j} - x_{i_0})f_{i_j} - (x_{i_j} - x_{i_k})f_{i_j}}{x_{i_k} - x_{i_0}} \\ &= f_{i_j}. \end{aligned}$$

Die Behauptung folgt dann aus der Eindeutigkeit des Interpolationspolynoms. \square

Damit können wir nun einen rekursiven Algorithmus aufbauen.

Algorithmus 1 Algorithmus von Neville–Aitken²

Gegeben sei eine Stelle x an der das Polynom $P_{0,1,\dots,n}$ ausgewertet werden soll.

Konstruiere mit Hilfe der Rekursionsformel (4.10), (4.11) das folgende Tableau:

$$\begin{array}{l|l}
 x_0 & f_0 = P_0(x) \\
 x_1 & f_1 = P_1(x) \\
 x_2 & f_2 = P_2(x) \\
 \vdots & \vdots \\
 \vdots & \vdots \\
 x_n & f_n = P_n(x)
 \end{array}
 \begin{array}{l}
 \rightarrow \\
 \rightarrow \\
 \rightarrow \\
 \rightarrow \\
 \rightarrow \\
 \rightarrow
 \end{array}
 \begin{array}{l}
 P_{0,1}(x) = \frac{(x-x_0)P_1(x)-(x-x_1)P_0(x)}{x_1-x_0} \\
 P_{1,2}(x) = \frac{(x-x_1)P_2(x)-(x-x_2)P_1(x)}{x_2-x_1} \\
 \vdots \\
 P_{n-1,n}(x) = \frac{(x-x_{n-1})P_n(x)-(x-x_n)P_{n-1}(x)}{x_n-x_{n-1}}
 \end{array}
 \begin{array}{l}
 \rightarrow \\
 \rightarrow \\
 \rightarrow \\
 \rightarrow \\
 \rightarrow \\
 \rightarrow
 \end{array}
 \begin{array}{l}
 \vdots \\
 \vdots \\
 \vdots \\
 \vdots \\
 \vdots \\
 P_{0,1,\dots,n}(x)
 \end{array}$$

Beispiel 38 Gegeben seien die Stützstellen $(0, 1), (1, 3), (3, 2)$. Die Auswertung erfolgt an der Stelle $x = 2$.

$$\begin{array}{l|l}
 0 & 1 = P_0(x) \\
 1 & 3 = P_1(x) \\
 3 & 2 = P_2(x)
 \end{array}
 \begin{array}{l}
 \rightarrow \\
 \rightarrow \\
 \rightarrow
 \end{array}
 \begin{array}{l}
 P_{0,1}(x) = \frac{(x-0)3-(x-1)1}{1-0} = 5 \\
 P_{1,2}(x) = \frac{(x-1)2-(x-3)3}{3-1} = \frac{5}{2} \\
 P_{0,1,2}(x) = \frac{(2-0)\frac{5}{2}-(2-3)5}{3-0} = \frac{10}{3}
 \end{array}$$

Der Algorithmus von Neville-Aitken ist gut geeignet, um das Interpolationspolynom an einer oder wenigen Stellen auszuwerten, aber nicht um das Polynom selbst zu bestimmen, oder viele Auswertungen zu machen, (wie man sie zum Beispiel für einen Plot braucht).

4.2.2 Interpolation nach Newton

Eine Alternative zum Neville-Aitken Algorithmus stellt die Newton-Interpolation mit Hilfe von dividierten Differenzen dar.

²A.C. Aitken, Neuseeländischer Mathematiker, 1895–1966

Definition 39 Seien Stützstellen $(x_i, f_i), i = 0, \dots, n$ gegeben. Der Ausdruck $f[x_i, \dots, x_{i+k}]$, definiert durch die Rekursion

$$\begin{aligned}
 f[x_i] &:= f_i, & (4.12) \\
 f[x_i, \dots, x_{i+k}] &:= \frac{f[x_{i+1}, \dots, x_{i+k}] - f[x_i, \dots, x_{i+k-1}]}{x_{i+k} - x_i}, & (4.13) \\
 & i = 0, \dots, n, \quad k = 0, \dots, n - i,
 \end{aligned}$$

heißt k -te dividierte Differenz von $(x_i, f_i), \dots, (x_{i+k}, f_{i+k})$.

Für die Berechnung der dividierten Differenzen haben wir wieder ein Schema:

	$k = 0$	$k = 1$	$k = 2$	$k = 3$
x_0	$f_0 = f[x_0]$	\searrow		
x_1	$f_1 = f[x_1]$	\swarrow	$f[x_0, x_1] = \frac{f[x_1] - f[x_0]}{x_1 - x_0}$	\searrow
x_2	$f_2 = f[x_2]$	\swarrow	\swarrow	$f[x_0, x_1, x_2]$
x_3	$f_3 = f[x_3]$	\swarrow	$f[x_1, x_2] = \frac{f[x_2] - f[x_1]}{x_2 - x_1}$	\swarrow
x_4	\vdots	\swarrow	$f[x_2, x_3] = \frac{f[x_3] - f[x_2]}{x_3 - x_2}$	\swarrow
\vdots	\vdots	\swarrow	\vdots	\swarrow
				$f[x_0, \dots, x_3]$

Als Basis von Π_n verwenden wir die Newton-Basis³:

$$\begin{aligned}
 N_0(x) &= 1, \\
 N_i(x) &= \prod_{j=0}^{i-1} (x - x_j) \\
 &= (x - x_0)(x - x_1) \dots (x - x_{i-1}), \quad i = 1, \dots, n.
 \end{aligned}
 \tag{4.14}$$

³Sir Isaac Newton, 1643–1727, englischer Physiker und Mathematiker

Das Interpolationspolynom wird dann folgendermaßen konstruiert:

$$P_{0,\dots,n}(x) = \sum_{i=0}^n \gamma_i N_i(x). \quad (4.15)$$

Die Koeffizienten ergeben sich aus den dividierten Differenzen mit folgendem Theorem.

Theorem 40 *Es gilt*

$$\begin{aligned} P_{i,\dots,i+k}(x) &= f[x_i] + f[x_i, x_{i+1}](x - x_i) \\ &\quad + f[x_i, x_{i+1}, x_{i+2}](x - x_i)(x - x_{i+1}) \\ &\quad + \dots \\ &\quad + f[x_i, x_{i+1}, \dots, x_{i+k}](x - x_i)(x - x_{i+1}) \dots (x - x_{i+k-1}). \end{aligned}$$

Insbesondere ist $\gamma_i = f[x_0, \dots, x_i]$, d.h. die oberste Zeile im Schema der dividierten Differenzen liefert die γ_i .

Beweis. Wir verwenden Induktion über k .

Für $k = 0$ ist die Behauptung offensichtlich wahr.

Sei die Behauptung wahr für $k - 1 \geq 0$. Dann gilt:

$$P_{i,\dots,i+k}(x) = P_{i,\dots,i+k-1}(x) + \gamma(x - x_i) \dots (x - x_{i+k-1}),$$

wobei γ gerade der Koeffizient von x^k ist.

Wenn wir zeigen, dass $\gamma = f[x_i, \dots, x_{i+k}]$, so gilt die Behauptung auch für k . Nach (4.11) ist

$$P_{i,i+1,\dots,i+k}(x) = \frac{(x - x_i)P_{i+1,\dots,i+k}(x) - (x - x_{i+k})P_{i,\dots,i+k-1}(x)}{x_{i+k} - x_i}$$

Nach Induktionsvoraussetzung ist $f[x_{i+1}, \dots, x_{i+k}]$ der Koeffizient zu x^{k-1} von $P_{i+1,\dots,i+k}(x)$ und $f[x_i, \dots, x_{i+k-1}]$ der Koeffizient zu x^{k-1} von $P_{i,\dots,i+k-1}(x)$. Also ist

$$\frac{f[x_{i+1}, \dots, x_{i+k}] - f[x_i, \dots, x_{i+k-1}]}{x_{i+k} - x_i} = f[x_i, \dots, x_{i+k}]$$

der Koeffizient zu x^k von $P_{i,\dots,i+k}(x)$, d.h. γ . \square

Beispiel 41 *Betrachte die Stützstellen* $\frac{x_i}{f_i} = \begin{array}{c|c|c|c} 0 & 1 & 3 \\ \hline 1 & 3 & 2 \end{array}$.

Wir erhalten das dividierte Differenzen Schema:

$$\begin{array}{l|l} x_0 = 0 & f[x_0] = 1 \\ x_1 = 1 & f[x_1] = 3 \\ x_2 = 3 & f[x_2] = 2 \end{array} \begin{array}{l} \searrow \\ \swarrow \\ \nearrow \end{array} \begin{array}{l} f[x_0, x_1] = 2 \\ f[x_1, x_2] = -\frac{1}{2} \end{array} \begin{array}{l} \searrow \\ \nearrow \end{array} f[x_0, x_1, x_2] = -\frac{5}{6}$$

und damit

$$P_{0,1,2}(x) = 1 + 2(x - 0) - \frac{5}{6}(x - 0)(x - 1).$$

Zur Auswertung von Polynomen verwendet man üblicherweise das Horner-Schema⁴. Dazu schreibt man das Polynom als

$$\begin{aligned} P(x) &= a_0 + a_1x + a_2x^2 + \dots + a_nx^n \\ &= (\dots((a_nx + a_{n-1})x + a_{n-2})x + \dots + a_1)x + a_0 \end{aligned}$$

und erhält für festes \tilde{x} die Rekursion:

$$\begin{aligned} u_{n+1} &= 0, \\ u_k &= \tilde{x}u_{k+1} + a_k, \quad k = n, \dots, 0, \\ P(\tilde{x}) &= u_0. \end{aligned} \quad (4.16)$$

Der Vorteil des Horner-Schemas ist, das die Auswertung n Multiplikationen und n Additionen benötigt, also $2n$ flops kostet. Wenn man mittels der normalen Darstellung auswertet, würde das $2n^2$ flops kosten.

Für die Newton-Basis erhalten wir ein analoges Schema:

Algorithmus 2 *Hornerschema für Newton-Basis*

$$\begin{aligned} P(x) &= \sum_{i=0}^n \gamma_i N_i(x), \\ N_i(x) &= (x - x_0)(x - x_1) \dots (x - x_{i-1}), \\ &= N_{i-1}(x)(x - x_{i-1}). \end{aligned}$$

⁴W.G. Horner, 1786–1837, englischer Mathematiker

Rekursion für festes \tilde{x} :

$$\begin{aligned} u_{n+1} &= 0, \\ u_k &= (\tilde{x} - x_k)u_{k+1} + \gamma_k, \quad k = n, \dots, 0, \\ P(\tilde{x}) &= u_0. \end{aligned} \tag{4.17}$$

In diesem Fall werden zur Auswertung des Polynoms n Multiplikationen und $2n$ Additionen benötigt, die Kosten betragen also $3n$ flops.

Bemerkung 42 Die Newton-Interpolation in Verbindung mit dem Horner-Schema bietet bei der Bestimmung eines Interpolationspolynoms eine Reihe von Vorteilen:

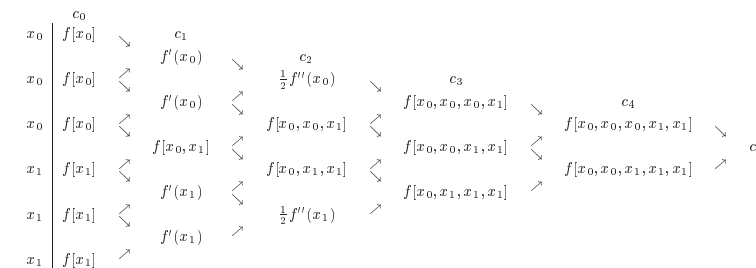
- Einfache Berechnung des gesamten Interpolationspolynoms mit dividierten Differenzen.
- Leichte Auswertung mit dem Hornerschema.
- Einfaches Hinzufügen weiterer Stützstellen.
- $f[x_0, \dots, x_n]$ ist symmetrisch in den x_i , d.h. die Reihenfolge ist egal.
- Der Rundungsfehlereinfluß ist durch Umordnung der Stützstellen reduzierbar.

Dividierte Differenzen lassen sich auf zusammenfallende Stützstellen $x_i = x_j$ erweitern falls $f(x_j) = f(x_i)$.

$$\begin{aligned} f[x_k, x_k] &:= \lim_{h \rightarrow 0} \frac{f[x_k + h] - f[x_k]}{x_k + h - x_k} = f'(x_k) \\ f[x_k, x_k, x_k] &:= \lim_{h \rightarrow 0} \frac{f[x_k + h, x_k + 2h] - f[x_k, x_k + h]}{x_k - 2h - x_k} \\ &= \lim_{h \rightarrow 0} \frac{f[x_k + 2h] - 2f[x_k + h] + f[x_k]}{2h^2} \\ &= \frac{1}{2} f''(x_k) \\ \underbrace{f[x_k, \dots, x_k]}_{m+1 \text{ mal}} &:= \frac{1}{m!} f^{(m)}(x_k). \end{aligned}$$

Damit kann man dann allgemeine Hermite-Interpolation⁵ durchführen, bei der für mehrfache Stützstellen jeweils die entsprechenden Ableitungen mit interpoliert werden.

Beispiel 43



Das Interpolationspolynom ist damit

$$\begin{aligned} P_{000111}(x) &= c_0 + c_1(x - x_0) + c_2(x - x_0)^2 + c_3(x - x_0)^3 \\ &\quad + c_4(x - x_0)^3(x - x_1) + c_5(x - x_0)^3(x - x_0)^2. \end{aligned}$$

Beispiel 44 Betrachte Stützstellen $x_0, x_0, x_1, x_1, \dots$. Das Schema ergibt

$$\begin{aligned} P_{001122\dots kk}(x) &= [c_0 + c_1(x - x_0)] + [c_2 + c_3(x - x_1)](x - x_0)^2 \\ &\quad + [c_4 + c_5(x - x_2)](x - x_0)^2(x - x_1)^2 + \dots \\ &\quad + [c_{2k} + c_{2k-1}(x - x_k)](x - x_0)^2 \dots (x - x_{k-1})^2. \end{aligned}$$

Es gilt für $i = 0, \dots, k$ die Bedingung

$$\begin{aligned} P_{00\dots kk}(x_i) &= f(x_i), \\ P'_{00\dots kk}(x_i) &= f'(x_i). \end{aligned}$$

⁵C. Hermite, Französischer Mathematiker, 1822–1901

Wir wollen die Interpolation verwenden, um Verfahren höherer Ordnung für die Lösung von Differentialgleichungen zu konstruieren. Dazu müssen wir die Frage klären:

Gegeben eine Funktion f und Auswertungsstellen x_0, \dots, x_n und Werte $f_i = f(x_i)$ für $i = 0, \dots, n$.

Wie gut approximiert das entsprechende Interpolationspolynom $P_{0,\dots,n}(x)$ die Funktion f ?

Theorem 45 Die Funktion f sei $n+1$ -mal differenzierbar. Dann gibt es zu jedem \hat{x} eine Zahl ξ aus dem kleinsten Intervall I , das alle x_i und \hat{x} enthält (konvexe Hülle $I = \mathcal{C}[x_0, \dots, x_n, \hat{x}]$), so dass

$$f(\hat{x}) - P_{0,1,\dots,n}(\hat{x}) = w(\hat{x}) \frac{f^{(n+1)}(\xi)}{(n+1)!} \quad (4.18)$$

wobei $w(x) = \prod_{i=0}^n (x - x_i)$.

Beweis. Sei für $\hat{x} \neq x_i$

$$F(x) := f(x) - P_{0,1,\dots,n}(x) - kw(x).$$

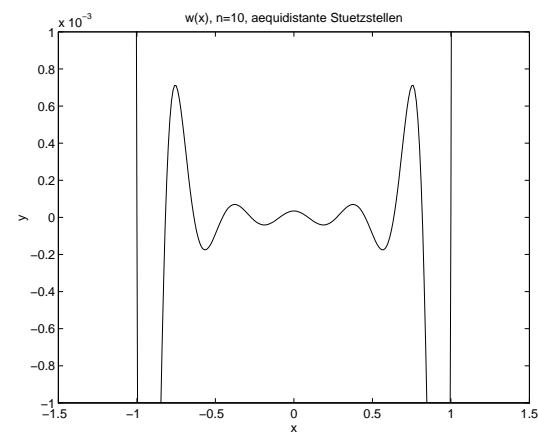
Bestimme k derart, daß $F(\hat{x}) = 0$. Dann hat $F(x)$ in $\mathcal{C}[x_0, \dots, x_n, \hat{x}]$ $n+2$ Nullstellen x_0, \dots, x_n, \hat{x} .

Nach dem Satz von Rolle hat dann $F'(x)$ mindestens $n+1$ Nullstellen, ..., $F^{(n+1)}(x)$ mindestens eine Nullstelle $\xi \in \mathcal{C}[x_0, \dots, x_n, \hat{x}]$.

$$\begin{aligned} P_{0,1,\dots,n}^{(n+1)}(x) \equiv 0 &\implies F^{(n+1)}(\xi) = f^{(n+1)}(\xi) - k(n+1)! = 0 \\ &\implies k = \frac{f^{(n+1)}(\xi)}{(n+1)!}. \end{aligned}$$

□

Wie sieht $w(x)$ aus?



Die Funktion $w(x)$ wächst außerhalb von $\mathcal{C}[x_0, \dots, x_n]$ stark an und oszilliert sehr stark. Man sollte daher das Interpolationspolynom außerhalb von $\mathcal{C}[x_0, \dots, x_n]$ nicht verwenden und damit der Fehler nicht größer wird, nicht zu viele Stützstellen haben.

Sei nun $f : [a, b] \rightarrow \mathbb{R}$ gegeben, f genügend glatt. Dann kann ich f beliebig genau durch Polynome interpolieren. Man könnte nun vermuten, daß die Interpolationspolynome gegen f konvergieren, falls ich die Intervallunterteilung feiner und feiner mache.

Betrachte eine Folge von Unterteilungen

$$\begin{aligned} \Delta_m &= \{a = x_0^{(m)} < x_1^{(m)} < \dots < x_{n_m}^{(m)} = b\}, \\ \|\Delta_m\| &= \max_i |x_{i+1}^{(m)} - x_i^{(m)}|. \end{aligned}$$

Theorem 46 [Satz von Faber]⁶ Zu jeder Folge von Intervalleinteilungen Δ_m von $[a, b]$ kann man eine auf $[a, b]$ stetige Funktion f finden, so dass die Polynome P_{Δ_m} die auf $(x_i^{(m)}, f(x_i^{(m)}))$, $i = 0, \dots, n_m$ interpolieren für $m \rightarrow \infty$ NICHT gleichmäßig gegen $f(x)$ konvergieren.

⁶G. Faber Deutscher Mathematiker, 1877–1966

Nur für ganze Funktionen gilt für alle $\|\Delta_m\| \rightarrow 0$, $P_m \rightarrow f$ gleichmäßig.
Für beliebige stetige Funktionen gibt es spezielle Δ_m , diese sind i.a. nicht äquidistant.

4.3 Trigonometrische Interpolation

Wenn Interpolation für ein Problem gemacht werden soll, welches periodisches Verhalten aufweist, so bietet es sich an trigonometrische Polynome zu verwenden, d.h., jetzt soll die Funktion f (oder die Folge von Stützstellen), im Intervall $[0, 2\pi]$ durch ein trigonometrisches Polynom der Form

$$P(x) = \beta_0 + \beta_1 e^{ix} + \beta_2 e^{2ix} + \dots + \beta_{n-1} e^{(n-1)ix}, \quad (4.19)$$

durch die Stützstellen (x_k, f_k) , $k = 0, \dots, n-1$ mit

$$x_k = k \frac{2\pi}{n}, \quad f_k \in \mathbb{C}$$

interpoliert werden. Dies nennt man auch diskrete Fourierttransformation⁷.

Dabei soll $P(x)$ die Interpolationsbedingung

$$P(x_k) = f_k, \quad k = 0, \dots, n-1 \quad (4.20)$$

erfüllen. Aus der Periodizität von $P(x)$ folgt

$$P(x_k) = f_k, \quad k = \dots, -3, -2, -1, 0, 1, 2, 3, \dots \quad (4.21)$$

Setze

$$w = e^{ix} \quad w_k = e^{ix_k}. \quad (4.22)$$

Dann ist die Interpolationsaufgabe identisch mit der Aufgabe

$$p(w_k) = f_k, \quad k = 0, \dots, n-1 \quad (4.23)$$

mit

$$p(w) = \beta_0 + \beta_1 w + \beta_2 w^2 + \dots + \beta_{n-1} w^{n-1}. \quad (4.24)$$

Wir erhalten das folgende Theorem:

⁷J. Baron de Fourier, französischer Physiker und Mathematiker, 1768–1830

Theorem 47 Sei $x_k = \frac{2\pi k}{n}$, f_k beliebig für $k = 0, \dots, n-1$, $n \in \mathbb{N}$. Dann gibt es ein eindeutiges trigonometrisches Polynom $p(w) = \beta_0 + \beta_1 w + \dots + \beta_{n-1} w^{n-1}$ mit $p(w_k) = f_k$, für $w_k = e^{ix_k}$, $k = 0, \dots, n-1$.

Zusätzlich gilt

$$\begin{aligned} i) \quad & w_k^j = w_j^k \quad \forall j, k \in \mathbb{Z} \\ ii) \quad & \sum_{k=0}^{n-1} w_k^j w_k^{-l} = \begin{cases} n & \text{für } j = l \\ 0 & \text{für } j \neq l, 0 \leq j, l \leq n-1. \end{cases} \end{aligned}$$

Beweis. Die Existenz und Eindeutigkeit folgt aus Theorem 35.

Teil i) ist trivial.

Um Teil ii) zu zeigen, beachte, dass für alle $k \in \mathbb{Z}$, jedes w_k eine Nullstelle von

$$w^n - 1 = (w-1)(w^{n-1} + w^{n-2} + \dots + 1) = 0$$

ist. Für $k \neq 0, \pm n, \pm 2n$, ist $w_k \neq 1$, also folgt

$$\sum_{l=0}^{n-1} w_k^l = \begin{cases} n & k = 0, \pm n, \pm 2n, \dots \\ 0 & \text{sonst.} \end{cases}$$

□

Die n -Vektoren $\Phi_j = (w_0^j, \dots, w_{n-1}^j)$, $j = 0, \dots, n-1$ bilden eine Orthonormalbasis von \mathbb{C}^n unter dem Skalarprodukt

$$[f, g] := \frac{1}{n} \sum_{j=0}^{n-1} f_j \bar{g}_j \quad (4.25)$$

(diskrete Version von $(f, g) = \frac{1}{\pi} \int_{-\pi}^{\pi} f(x) \overline{g(x)} dx$), denn es gilt

$$[\Phi_j, \Phi_l] = \begin{cases} 1 & j = l \\ 0 & j \neq l \quad 0 \leq j, l \leq n-1. \end{cases}$$

Damit erhält man eine explizite Formel für die Koeffizienten β_i .

Theorem 48 Sei $p(x) = \sum_{k=0}^{n-1} \beta_k e^{ikx}$ das interpolierende trigonometrische Polynom für $p(x_k) = f_k$, $k = 0, \dots, n-1$, so gilt

$$\beta_j = \frac{1}{n} \sum_{k=0}^{n-1} f_k w_k^{-j} = \frac{1}{n} \sum_{k=0}^{n-1} f_k \exp \left\{ \frac{-2\pi i k j}{n} \right\}, \quad j = 0, \dots, n-1. \quad (4.26)$$

Beweis. Aus dem Skalarprodukt $[\bullet, \bullet]$ folgt

$$\frac{1}{n} \sum_{k=0}^{n-1} f_k w_k^{-j} = [f, \Phi_j] = [\beta_0 \Phi_0 + \dots + \beta_{n-1} \Phi_{n-1}, \Phi_j] = \beta_j.$$

□

Bisher haben wir komplex gearbeitet, es gibt aber auch eine reelle Version: Beachte, dass $e^{ix} = \cos x + i \sin x$ und setze

$$\begin{aligned} A_j &= \frac{2}{n} \sum_{k=0}^{n-1} f_k \cos \frac{2\pi j k}{n}, \\ B_j &= \frac{2}{n} \sum_{k=0}^{n-1} f_k \sin \frac{2\pi j k}{n}. \end{aligned} \quad (4.27)$$

Für reelle f_k sind A_j, B_j reell und es gilt

$$\beta_{n-j} = \frac{1}{n} \sum_{k=0}^{n-1} f_k w_k^{j-n} = \frac{1}{n} \sum_{k=0}^{n-1} f_k w_k^j, \quad (4.28)$$

$$\beta_j = \frac{1}{2} [A_j - iB_j], \quad \beta_{n-j} = \frac{1}{2} [A_j + iB_j], \quad (4.29)$$

und

$$\beta_j w_k^j + \beta_{n-j} w_k^{n-j} = A_j \cos jx_k + B_j \sin jx_k. \quad (4.30)$$

Damit erhält man die reelle diskrete Fouriertransformation.

Die Koeffizienten A_j, B_j sind diskrete Approximationen an die Fourierkoeffizienten

$$\begin{aligned} a_k &= \frac{1}{\pi} \int_{-\pi}^{\pi} f(x) \cos(kx) dx, \quad k = 0, \dots, n-1, \\ b_k &= \frac{1}{\pi} \int_{-\pi}^{\pi} f(x) \sin(kx) dx, \quad k = 1, \dots, n-1. \end{aligned}$$

Theorem 49 Gegeben (x_k, f_k) , $k = 0, \dots, N-1$ mit $x_k = \frac{2\pi k}{N}$. Man setze für $j \in \mathbb{Z}$

$$\begin{aligned} A_j &:= \frac{2}{N} \sum_{k=0}^{N-1} f_k \cos(kx_j), \\ B_j &:= \frac{2}{N} \sum_{k=0}^{N-1} f_k \sin(kx_j). \end{aligned} \quad (4.31)$$

Definiere für ungerades $N = 2M + 1$

$$\Psi(x) = \frac{A_0}{2} + \sum_{k=1}^M (A_k \cos kx + B_k \sin kx) \quad (4.32)$$

und für gerades $N = 2M$

$$\Psi(x) = \frac{A_0}{2} + \sum_{k=1}^{M-1} (A_k \cos kx + B_k \sin kx) + \frac{A_M}{2} \cos Mx, \quad (4.33)$$

so gilt

$$\Psi(x_k) = f_k, \quad k = 0, \dots, N-1.$$

Beweis. Mit $N = 2M$ folgt

$$f_k = \sum_{j=0}^{N-1} \beta_j w_k^j = \beta_0 + \sum_{j=1}^{M-1} (\beta_j w_k^j + \beta_{N-j} w_k^{N-j}) + \beta_M w_k^M$$

und mit (4.29), (4.30) folgt

$$\begin{aligned} B_0 &= \frac{2}{N} \sum_{k=0}^{N-1} f_k \sin \frac{2\pi k \cdot 0}{N} = 0, \\ B_M &= \frac{2}{N} \sum_{k=0}^{N-1} \sin \frac{2\pi k \cdot 1}{N} = 0. \end{aligned}$$

Der Beweis für ungerades N geht analog. □

Die Berechnung der Koeffizienten des trigonometrischen Polynomes geht sehr effizient mit **Hilfe der schnellen (fast) Fouriertransformation (FFT)** für $N = 2^n$, $n > 0$.

Was ist zu berechnen?

$$\begin{aligned}\beta_j &= \frac{1}{N} \sum_{k=0}^{N-1} f_k e^{-\frac{2\pi i k j}{N}} \\ &= \frac{1}{N} \sum_{k=0}^{N-1} f_k \epsilon_N^{kj}\end{aligned}$$

mit $\epsilon_N = e^{-\frac{2\pi i}{N}}$.

Der Trick ist, die Tatsache auszunutzen, dass $e^{-\frac{2\pi i}{N}}$ eine N -te Einheitswurzel ist, d.h. alle Potenzen liegen auch auf dem Einheitskreis und die Exponenten lassen sich einfach berechnen.

Beispiel 50 Betrachte als Beispiel die FFT für $N = 4$.

$$\begin{aligned}\begin{bmatrix} \beta_0 \\ \beta_1 \\ \beta_2 \\ \beta_3 \end{bmatrix} &= \frac{1}{N} \begin{bmatrix} \epsilon_N^0 & \epsilon_N^0 & \epsilon_N^0 & \epsilon_N^0 \\ \epsilon_N^0 & \epsilon_N^1 & \epsilon_N^2 & \epsilon_N^3 \\ \epsilon_N^0 & \epsilon_N^2 & \epsilon_N^4 & \epsilon_N^6 \\ \epsilon_N^0 & \epsilon_N^3 & \epsilon_N^6 & \epsilon_N^9 \end{bmatrix} \begin{bmatrix} f_0 \\ f_1 \\ f_2 \\ f_3 \end{bmatrix} = \frac{1}{N} \begin{bmatrix} 1 & 1 & 1 & 1 \\ 1 & \epsilon_N^1 & \epsilon_N^2 & \epsilon_N^3 \\ 1 & \epsilon_N^2 & 1 & \epsilon_N^2 \\ 1 & \epsilon_N^3 & \epsilon_N^2 & \epsilon_N^1 \end{bmatrix} \begin{bmatrix} f_0 \\ f_1 \\ f_2 \\ f_3 \end{bmatrix} \\ \begin{bmatrix} \beta_0 \\ \beta_2 \\ \beta_1 \\ \beta_3 \end{bmatrix} &= \frac{1}{N} \begin{bmatrix} 1 & 1 & 1 & 1 \\ 1 & \epsilon_N^2 & 1 & \epsilon_N^2 \\ 1 & \epsilon_N & \epsilon_N^2 & \epsilon_N^3 \\ 1 & \epsilon_N^3 & \epsilon_N^2 & \epsilon_N \end{bmatrix} \begin{bmatrix} f_0 \\ f_1 \\ f_2 \\ f_3 \end{bmatrix} \\ &= \frac{1}{N} \left[\begin{array}{cc|cc} 1 & 1 & 0 & 0 \\ 1 & \epsilon_N^2 & 0 & 0 \\ \hline 0 & 0 & 1 & 1 \\ 0 & 0 & 1 & \epsilon_N^2 \end{array} \right] \left[\begin{array}{cc|cc} 1 & 0 & 1 & 0 \\ 0 & 1 & 0 & 1 \\ \hline 1 & 0 & \epsilon_N^2 & 0 \\ 0 & \epsilon_N & 0 & \epsilon_N^3 \end{array} \right] \begin{bmatrix} f_0 \\ f_1 \\ f_2 \\ f_3 \end{bmatrix}\end{aligned}$$

Bilde zuerst

$$\begin{bmatrix} z_0 \\ z_1 \\ z_2 \\ z_3 \end{bmatrix} = \begin{bmatrix} 1 & 0 & 1 & 0 \\ 0 & 1 & 0 & 1 \\ 1 & 0 & \epsilon_N^2 & 0 \\ 0 & \epsilon_N & 0 & \epsilon_N^3 \end{bmatrix} \begin{bmatrix} f_0 \\ f_1 \\ f_2 \\ f_3 \end{bmatrix}.$$

Verwende $\epsilon_N^2 = -1, \epsilon_N^3 = -\epsilon_N$

$$\begin{aligned}z_0 &= f_0 + f_2 & z_2 &= f_0 - f_2, \\ z_1 &= f_1 + f_3 & z_3 &= \epsilon_N(f_1 - f_3),\end{aligned}$$

$$\begin{bmatrix} \beta_0 \\ \beta_1 \\ \beta_2 \\ \beta_3 \end{bmatrix} = \frac{1}{N} \underbrace{\begin{bmatrix} 1 & 1 & 0 & 0 \\ 1 & \epsilon_N^2 & 0 & 0 \\ 0 & 0 & 1 & 1 \\ 0 & 0 & 1 & \epsilon_N^2 \end{bmatrix}}_{2 \text{ komplexe FT der Ordnung } 2 \text{ mit } \epsilon_N^2} \begin{bmatrix} z_0 \\ z_1 \\ z_2 \\ z_3 \end{bmatrix} = \frac{1}{N} \begin{bmatrix} 1 & 1 & & \\ 1 & -1 & & \\ & & 1 & 1 \\ & & 1 & -1 \end{bmatrix} \begin{bmatrix} z_0 \\ z_1 \\ z_2 \\ z_3 \end{bmatrix},$$

also

$$\begin{aligned}N\beta_0 &= z_0 + 1z_1, & N\beta_1 &= z_2 + z_3, \\ N\beta_2 &= z_0 - z_1, & N\beta_3 &= z_2 - z_3.\end{aligned}$$

Es findet jeweils eine Rückführung einer FFT der Ordnung $N = 2^n$ auf 2 FFT der Ordnung $\frac{N}{2} = 2^{n-1}$ statt. Als zusätzlicher Aufwand ergeben sich Kosten von $\mathcal{O}(N)$ flops. Anstatt $\mathcal{O}(N^2)$ für Matrixmultiplikation erhält man dann insgesamt $\frac{1}{2}N \log_2 N = 2^{n-1} \times (n-1)$ Operationen.

Da wir die zwei FFT halber Dimension unabhängig laufen können, lassen sie sich gut auf Parallelrechner implementieren.

Für einen Schritt von N auf $N/2$ erhalten wir die allgemeinen Formeln: Sei $M = \frac{N}{2}$ und setze $j = 2l$, dann ist

$$\begin{aligned}\beta_{2l} &= \sum_{k=0}^{2M-1} f_k \epsilon_N^{2lk} = \sum_{k=0}^{M-1} (f_k + f_{M+k}) \epsilon_N^{2lk} \\ &= \sum_{k=0}^{M-1} (f_k + f_{M+k}) (\epsilon_N^2)^{lk},\end{aligned}\tag{4.34}$$

wobei wir benutzen, dass

$$\epsilon_N^{2l(M+k)} = \epsilon_N^{2lk} \epsilon_N^{2lM} = \epsilon_N^{2lk}.$$

Mit Hilfwerten

$$z_k = f_k + f_{M+k}, \quad k = 0, \dots, M-1\tag{4.35}$$

und mit $\epsilon_N^2 = \epsilon_M$ folgt

$$\beta_{2l} = \sum_{k=0}^{M-1} z_k \epsilon_M^{lk}, \quad l = 0, \dots, M-1.\tag{4.36}$$

Für die ungeraden Indizes gilt analog

$$\beta_{2l+1} = \sum_{k=0}^{M-1} z_{M+k} \epsilon_M^{kl}, \quad l = 0, \dots, m-1 \quad (4.37)$$

mit Hilfwerten

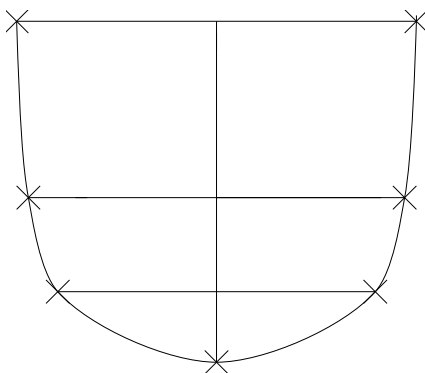
$$z_{M+k} = f_k - f_{M+k} \epsilon_N^k, \quad k = 0, \dots, M-1 \quad (4.38)$$

Der zugehörige Algorithmus von Cooley/Tukey (1965) enthält noch weitere Tricks.

4.4 Spline Interpolation

Wir haben gesehen, dass die Polynominterpolation nicht unbedingt gute Ergebnisse liefert, insbesondere dass der Fehler stark oszillieren kann.

Als Ausweg kann man die Interpolation durch stückweise Polynome durchführen. Dies ist ursprünglich schon im Schiffbau ein übliches Verfahren, daher auch der Name.



Heute sind Splines die wichtigsten Werkzeuge bei der Lösung von Randwertproblemen für gewöhnliche und partielle Differentialgleichungen, bei der

Computergraphik, und vielen anderen Anwendungen, weil sie sehr schön glatte Kurven liefern.

Durch $\Delta := \{a = x_0 < x_1 < \dots < x_n = b\}$ sei eine Unterteilung von $[a, b]$ gegeben.

Definition 51 Unter einer zu Δ gehörenden Spline-Funktion S_Δ versteht man eine reelle Funktion $S_\Delta : [a, b] \rightarrow \mathbb{R}$ mit

- $S_\Delta \in C^{2k}[a, b]$ ($2k$ mal stetig differenzierbar).
- Auf jedem Teilintervall $[x_i, x_{i+1}]$ stimmt S_Δ mit Polynom $2k + 1$ -ten Grades überein.

Hier sei im folgenden $k = 1$, das sind kubische Splines. Fast alles läßt sich übertragen auf andere k .

Um die Berechnung der Splines eindeutig zu machen, müssen wir noch eine der folgenden Bedingungen erfüllen.

$$a) \quad S_\Delta''(a) = S_\Delta''(b) = 0; \quad (4.39)$$

$$b) \quad f \in \kappa_p^2(a, b) \quad S_\Delta \text{ periodisch}; \quad (4.40)$$

$$c) \quad f'(a) = S_\Delta'(a), f'(b) = S_\Delta'(b). \quad (4.41)$$

Zur expliziten Berechnung der Splines setze $h_{j+1} = x_{j+1} - x_j$ für $j = 0, \dots, n-1$ und

$$M_j = S_\Delta''(x_j), \quad j = 0, \dots, n. \quad (4.42)$$

Diese M_j heißen Momente. Wir berechnen Splines, die (4.39), (4.40) oder (4.41) erfüllen mit Hilfe der Momente. Da S_Δ kubisch in $[x_i, x_{i+1}]$ ist, folgt dass S_Δ'' linear in $[x_i, x_{i+1}]$ und es gilt (2-Punkte Formel der Geradengleichung), dass

$$S_\Delta''(x) = M_j \frac{x_{j+1} - x}{h_{j+1}} + M_{j+1} \frac{x - x_j}{h_{j+1}}, \quad x \in [x_j, x_{j+1}]. \quad (4.43)$$

Integration ergibt

$$\begin{aligned} S'_\Delta(x) &= -M_j \frac{(x_{j+1} - x)^2}{2h_{j+1}} + M_{j+1} \frac{(x - x_j)^2}{2h_{j+1}} + \alpha_j, \\ S_\Delta(x) &= M_j \frac{(x_{j+1} - x)^3}{6h_{j+1}} + M_{j+1} \frac{(x - x_j)^3}{6h_{j+1}} + \alpha_j(x - x_j) + \beta_j. \end{aligned}$$

Die Interpolationsbedingungen ergeben, dass

$$\begin{aligned} S_\Delta(x_j) &= f_j, \\ \implies M_j \frac{h_{j+1}^2}{6} + \beta_j &= f_j \implies \beta_j = f_j - M_j \frac{h_{j+1}^2}{6}, \\ S_\Delta(x_{j+1}) &= f_{j+1} \\ \implies M_{j+1} \frac{h_{j+1}^2}{6} + \alpha_j h_{j+1} + \beta_j &= f_{j+1} \implies \alpha_j = \frac{f_{j+1} - f_j}{h_{j+1}} - \frac{h_{j+1}}{6}(M_{j+1} - M_j), \end{aligned}$$

und damit

$$S_\Delta(x) = a_j + b_j(x - x_j) + c_j(x - x_j)^2 + d_j(x - x_j)^3, \quad (4.44)$$

mit

$$\begin{aligned} a_j &= f_j, c_j = \frac{M_j}{2}, b_j = -\frac{M_j h_{j+1}}{2} + \alpha_j = S'_\Delta(x_j) \\ &= \frac{f_{j+1} - f_j}{h_{j+1}} - \frac{2M_j + M_{j+1} h_{j+1}}{6}, d_j = \frac{M_{j+1} - M_j}{6h_{j+1}} = \frac{S''_\Delta(x_j^+)}{6}. \end{aligned} \quad (4.45)$$

Wir brauchen also nur die M_j zu berechnen. Wir haben gefordert, dass $S'_\Delta(x)$ an den Knoten $x = x_j$, $j = 1, \dots, n-1$ stetig sein soll. Das ergibt $n-1$ Gleichungen. Es gilt

$$\begin{aligned} S'_\Delta(x) &= -M_j \frac{(x_{j+1} - x)^2}{2h_{j+1}} + M_{j+1} \frac{(x - x_j)^2}{2h_{j+1}} + \frac{f_{j+1} - f_j}{h_{j+1}} \\ &\quad - \frac{h_{j+1}}{6}(M_{j+1} - M_j) \end{aligned} \quad (4.46)$$

wenn man die Werte einsetzt. Damit ergibt sich für $j = 1, \dots, n-1$

$$\begin{aligned} S'_\Delta(x_j^-) &= \frac{f_j - f_{j-1}}{h_j} + \frac{h_j}{3} M_j + \frac{h_j}{6} M_{j-1}, \\ S'_\Delta(x_j^+) &= \frac{f_{j+1} - f_j}{h_{j+1}} - \frac{h_{j+1}}{3} M_j - \frac{h_{j+1}}{6} M_{j+1}. \end{aligned} \quad (4.47)$$

Gleichsetzen wegen der Stetigkeit impliziert, dass

$$\begin{aligned} \frac{h_j}{6} M_{j-1} + \frac{h_j + h_{j+1}}{3} M_j + \frac{h_{j+1}}{6} M_{j+1} &= \frac{f_{j+1} - f_j}{h_{j+1}} - \frac{f_j - f_{j-1}}{h_j} \\ &= f[x_j, x_{j+1}] - f[x_{j-1}, x_j], \end{aligned} \quad (4.48)$$

für $j = 1, \dots, n-1$. Das sind $n-1$ Gleichungen für M_0, \dots, M_n .

Die zwei weiteren notwendigen Bedingungen erhält man aus (4.39), (4.40), (4.41). Aus (4.39)

$$S''_\Delta(a) = M_0 = M_n = S''_\Delta(b) = 0.$$

Aus (4.40)

$$\begin{aligned} S''_\Delta(a) = S''_\Delta(b) &\implies M_0 = M_n. \\ S'_\Delta(a) = S'_\Delta(b) &\implies \frac{h_n}{6} M_{n-1} + \frac{h_n + h_1}{3} M_n + \frac{h_1}{6} M_1 \\ &= \frac{f_1 - f_n}{h_1} - \frac{f_n - f_{n-1}}{h_n}. \end{aligned}$$

Aus $f_n = f_0$ und mit der Setzung $h_{n+1} := h_1$, $M_{n+1} := M_1$, $f_{n+1} := f_1$ erhält man wieder Gleichung (4.48).

Aus (4.41)

$$\begin{aligned} S'_\Delta(a) = f'_0 &\implies \frac{h_1}{3} M_0 + \frac{h_1}{6} M_1 = \frac{f_1 - f_0}{h_1} - f'_0, \\ S'_\Delta(b) = f'_n &\implies \frac{h_n}{6} M_{n-1} + \frac{h_n}{3} M_n = f'_n - \frac{f_n - f_{n-1}}{h_n}. \end{aligned}$$

Führe nun folgende Abkürzungen ein:

$$\lambda_j := \frac{h_{j+1}}{h_j + h_{j+1}}, \quad \mu_j := 1 - \lambda_j = \frac{h_j}{h_j + h_{j+1}}$$

Dann erhält man das System von linearen Gleichungen

$$\mu_j M_{j-1} + 2M_j + \lambda_j M_{j+1} = 6f[x_{j-1}, x_j, x_{j+1}] =: d_j \quad (4.49)$$

d.h. die folgenden Gleichungssysteme:

$$\begin{bmatrix} 2 & \lambda_0 & & & \\ \mu_1 & 2 & \lambda_1 & & \\ & \ddots & \ddots & \ddots & \\ & & \ddots & \ddots & \lambda_{n-1} \\ & & & \mu_n & 2 \end{bmatrix} \begin{bmatrix} M_0 \\ \vdots \\ \vdots \\ \vdots \\ M_n \end{bmatrix} = \begin{bmatrix} d_0 \\ \vdots \\ \vdots \\ \vdots \\ d_n \end{bmatrix} \quad (4.50)$$

im Fall von Bedingung (4.39), wobei $\lambda_0 := 0, d_0 = 0, \mu_n := 0, d_n := 0$ gesetzt wurde.

$$\begin{bmatrix} 2 & \lambda_1 & & & \mu_1 \\ \mu_2 & 2 & \lambda_2 & & \\ & \mu_3 & \ddots & \ddots & \\ & & \ddots & \ddots & \lambda_{n-1} \\ \lambda_n & & & \mu_n & 2 \end{bmatrix} \begin{bmatrix} M_1 \\ \vdots \\ \vdots \\ \vdots \\ M_n \end{bmatrix} = \begin{bmatrix} d_1 \\ \vdots \\ \vdots \\ \vdots \\ d_n \end{bmatrix} \quad (4.51)$$

im Fall von Bedingung (4.40), wobei

$$\lambda_n := \frac{h_1}{h_n + h_1}, \mu_n = 1 - \lambda_n, d_n = 6f[x_{n-1}, x_n, x_1]$$

Im Fall von Bedingung (4.41) erhält man wiederum System (4.50) nur mit

$$\lambda_0 = 1, \mu_n = 1, d_0 = \frac{6}{h_1}(f[x_0, x_1] - f'_0), d_n = \frac{6}{h_n}(f'_n - f[x_{n-1}, x_n]).$$

Für alle 3 Gleichungssysteme gilt $\lambda_i \geq 0, \mu_i \geq 0, \lambda_i + \mu_i \leq 1$ und das Theorem:

Theorem 52 Die Matrizen der Systeme (4.50), (4.51) sind für jede Zerlegung Δ von $[a, b]$ nichtsingulär.

Beweis. Sei

$$A = \begin{bmatrix} 2 & \lambda_0 & & & \\ \mu_1 & \ddots & \ddots & & \\ & \ddots & \ddots & \lambda_{n-1} & \\ & & \mu_n & 2 & \end{bmatrix}.$$

Sei $x, y \in \mathbb{R}^{n+1}$ mit $Ax = y$ und setze $\lambda_n = \mu_0 = 0$. Dann gilt

$$\max_i |x_i| \leq \max_i |y_i| \quad (A \text{ ist monoton}).$$

Denn sei r der Index für den $\max_i |x_i|$ angenommen wird.

Dann gilt

$$\begin{aligned} \mu_r x_{r-1} + 2x_r + \lambda_r x_{r+1} &= y_r \\ \implies \max_i |y_i| \geq |y_r| &\geq 2|x_r| - \mu_r |x_{r-1}| - \lambda_r |x_{r+1}| \\ &\geq 2|x_r| - (\mu_r + \lambda_r) |x_r| \\ &\geq |x_r| = \max_i |x_i|. \end{aligned}$$

Angenommen A singulär $\implies x \neq 0$ mit $Ax = 0$.

Monotonie führt sofort zum Widerspruch. Der Beweis für die anderen Systeme geht analog. \square

Wie gut approximiert so eine Spline-Funktion?

Sei $\Delta_m = \{a = x_0^{(m)} < x_1^{(m)} < \dots < x_{n_m}^{(m)} = b\}$ eine Folge von Unterteilungen von $[a, b]$ und sei $\sigma_m = \max_i (x_{i+1}^{(m)} - x_i^{(m)})$.

Theorem 53 Sei $f \in \mathcal{C}^4[a, b]$ und $|f^{(4)}(x)| \leq L \forall x \in [a, b], \Delta_m$ wie oben mit $\sup_{m,j} \frac{\sigma_m}{x_{j+1}^{(m)} - x_j^{(m)}} \leq \kappa < \infty$. Seien S_{Δ_m} die zu f gehörigen Splines, die die Interpolationsbedingungen

$$\begin{aligned} S_{\Delta_m}(\zeta) &= f(\zeta) & \text{für } \zeta \in \Delta_m \\ S'_{\Delta_m}(x) &= f'(x) & \text{für } x = a, b \end{aligned} \quad (4.52)$$

erfüllen. Dann gibt es von Δ_m unabhängige Konstanten $C_i \leq 2$, so dass für alle $x \in [a, b]$

$$\left| f^{(i)}(x) - S_{\Delta_m}^{(i)}(x) \right| \leq C_i L \kappa \sigma_m^{4-i}, \quad i = 0, 1, 2, 3. \quad (4.53)$$

Beweis. Betrachte feste Zerlegung Δ von $[a, b]$. Die Momente M_j erfüllen für den Fall den wir hier haben, das Gleichungssystem

$$\begin{bmatrix} 2 & \lambda_0 & & & \\ \mu_1 & 2 & \ddots & & \\ & \ddots & \ddots & \lambda_{n-1} & \\ & & \mu_n & 2 & \end{bmatrix} \begin{bmatrix} M_0 \\ \vdots \\ \vdots \\ \vdots \\ M_n \end{bmatrix} = \begin{bmatrix} d_0 \\ \vdots \\ \vdots \\ \vdots \\ d_n \end{bmatrix}$$

$$\lambda_0 = \mu_n = 1, \lambda_j = \frac{h_{j+1}}{h_j + h_{j+1}}, \mu_j = 1 - \lambda_j, \quad j = 1, \dots, n-1$$

$$\begin{aligned} d_j &= 6f[x_{j-1}, x_j, x_{j+1}], \quad j = 1, \dots, n-1 \\ d_0 &= \frac{6}{h_1}(f[x_0, x_1] - f'_0), \\ d_n &= \frac{6}{h_n}(f'_n - f[x_{n-1}, x_n]). \end{aligned}$$

Definiere

$$F = \begin{bmatrix} f''(x_0) \\ \vdots \\ f''(x_n) \end{bmatrix}, r = d - AF, M = \begin{bmatrix} M_0 \\ \vdots \\ M_n \end{bmatrix}.$$

Dann gilt $r_0 = d_0 - 2f''(x_0) - f''(x_1)$. Schätze zuerst $\|r_0\|_\infty$ ab. Taylorentwicklung um x_0 liefert

$$\begin{aligned} r_0 &= \frac{6}{h_1} (f[x_0, x_1] - f') - 2f''(x_0) - f''(x_1) \\ &= \frac{6}{h_1} \left(f'(x_0) + \frac{h_1}{2} f''(x_0) + \frac{h_1^2}{6} f'''(x_0) + \frac{h_1^3}{24} f^{(4)}(\tau_1) - f'(x_0) \right) \\ &\quad - 2f''(x_0) - \left(f''(x_0) + h_1 f'''(x_0) + \frac{h_1^2}{2} f^{(4)}(\tau_2) \right) \\ &= \frac{h_1^2}{4} f^{(4)}(\tau_1) - \frac{h_1^2}{2} f^{(4)}(\tau_2), \text{ für } \tau_1, \tau_2 \in [x_0, x_1] \\ &\implies |r_0| \leq \frac{3}{4} L \sigma_m^2. \end{aligned} \quad (4.54)$$

Analog gilt für $r_n = d_n - f''(x_{n-1}) - 2f''(x_n)$ die Abschätzung

$$|r_n| \leq \frac{3}{4} L \sigma_m^2 \quad (4.55)$$

und für $j = 1, \dots, n-1$ mit Taylorentwicklung um x_j .

$$\begin{aligned} r_j &= d_j - \mu_j f''(x_{j-1}) - 2f''(x_j) - \lambda_j f''(x_{j+1}) \\ &= 6f[x_{j-1}, x_j, x_{j+1}] - \frac{h_j}{h_j + h_{j+1}} f''(x_{j-1}) - 2f''(x_j) - \frac{h_{j+1}}{h_j + h_{j+1}} f''(x_{j+1}) \\ &= \frac{1}{h_j + h_{j+1}} \left\{ 6 \left(f'(x_j) + \frac{h_{j+1}}{2} f''(x_j) + \frac{h_{j+1}^2}{6} f'''(x_j) + \frac{h_{j+1}^3}{24} f^{(4)}(\tau_{j1}) \right) \right. \\ &\quad \left. - f'(x_j) + \frac{h_j}{2} f''(x_j) - \frac{h_j^2}{6} f'''(x_j) + \frac{h_j^3}{24} f^{(4)}(\tau_{j2}) \right) \\ &\quad - h_j \left(f''(x_j) - h_j f'''(x_j) + \frac{h_j^2}{2} f^{(4)}(\tau_{j3}) \right) \\ &\quad - 2f''(x_j)(h_j + h_{j+1}) \end{aligned}$$

$$\begin{aligned} &\left. - h_{j+1} \left(f''(x_j) + h_{j+1} f'''(x_j) + \frac{h_{j+1}^2}{2} f^{(4)}(\tau_{j4}) \right) \right\} \\ &= \frac{1}{h_j + h_{j+1}} \left(\frac{h_{j+1}^3}{4} f^{(4)}(\tau_{j1}) + \frac{h_j^3}{4} f^{(4)}(\tau_{j2}) - \frac{h_j^3}{2} f^{(4)}(\tau_{j3}) - \frac{h_{j+1}^3}{2} f^{(4)}(\tau_{j4}) \right), \end{aligned}$$

mit $\tau_{ji} \in [x_{j-1}, x_{j+1}]$, $i = 1, 2, 3, 4$.

$$\implies |r_j| \leq \frac{3}{4} L \frac{h_{j+1}^3 + h_j^3}{h_j + h_{j+1}} \leq \frac{3}{4} L \sigma_m^2.$$

Insgesamt gilt

$$\begin{aligned} \|r\|_\infty &\leq \frac{3}{4} L \sigma_m^2 \implies \\ \|A(M - F)\|_\infty &\leq \frac{3}{4} L \sigma_m^2 \implies \|M - F\|_\infty \leq \frac{3}{4} L \sigma_m^2, \end{aligned} \quad (4.56)$$

da A monoton.

Sei $x \in [x_{j-1}, x_j]$. Dann folgt

$$\begin{aligned} S_\Delta''' - f'''(x) &= \frac{M_j - M_{j-1}}{h_j} - f'''(x) \\ &= \frac{M_j - f''(x_j)}{h_j} - \frac{M_{j-1} - f''(x_{j-1})}{h_j} \\ &\quad + \frac{[f''(x_j) - f''(x)] - [f''(x_{j-1}) - f''(x)]}{h_j} - f'''(x). \end{aligned}$$

Taylorentwicklung um x und (4.56) \implies

$$\begin{aligned} |S_\Delta'''(x) - f'''(x)| &\leq \frac{3}{2} L \frac{\sigma_m^2}{h_j} + \frac{1}{h_j} \left| (x_j - x) f'''(x) + \frac{(x_j - x)^2}{2} f^{(4)}(\eta_1) - (x_{j-1} - x) f'''(x) \right. \\ &\quad \left. - \frac{(x_{j-1} - x)^2}{2} f^{(4)}(\eta_2) - h_j f'''(x) \right| \\ &\leq \frac{3}{2} L \frac{\sigma_m^2}{h_j} + \frac{1}{2} \frac{\sigma_m^2}{h_j} L, \quad \tau_1, \tau_2 \in [x_{j-1}, x_j] \\ &\leq 2L\kappa\sigma_m, \text{ wegen Vor. } \frac{\sigma_m}{h_j} \leq \kappa. \end{aligned}$$

Hierbei wurde noch $\max_{x \in [x_{j-1}, x_j]} \{(x_j - x)^2 + (x - x_{j-1})^2\} = h_j^2$ benutzt. Nun gibt es für jedes $x \in (a, b)$ ein x_j mit

$$|x_j - x| \leq \frac{1}{2} \sigma_m$$

$$\implies f''(x) - S''_{\Delta}(x) = f''(x_j) - S''_{\Delta}(x_j) + \int_{x_j}^x (f'''(t) - S'''_{\Delta}(t)) dt.$$

Mit der Abschätzung für $f''' - S'''_{\Delta}$ folgt, dass

$$\begin{aligned} |f''(x) - S''_{\Delta}(x)| &\leq \frac{3}{4}L\sigma_m^2 + \frac{1}{2}\sigma_m \cdot 2L\kappa\sigma_m \\ &\leq \frac{7}{4}L\kappa\sigma_m^2, \text{ da } \kappa \geq 1. \end{aligned}$$

Damit haben wir die Abschätzung für $f'' - S''_{\Delta}$.

Es gilt $f(x_{j-1}) = S_{\Delta}(x_{j-1}), f(x_j) = S_{\Delta}(x_j)$. Außer den Randpunkten $\alpha_0 = a, \alpha_{n+1} = b$ gibt es also noch den Satz von Rolle n Stellen $\alpha_j \in (x_{j-1}, x_j)$ mit

$$f'(\alpha_j) = S'_{\Delta}(\alpha_j) \quad j = 0, \dots, n+1.$$

Es gilt also für jedes $x \in [a, b]$ ein α_j mit $|\alpha_j - x| < \sigma_m$. Daher gilt für alle $x \in [a, b]$:

$$\begin{aligned} f'(x) - S'_{\Delta}(x) &= \int_{\alpha_j(x)}^x (f''(t) - S''_{\Delta}(t)) dt \\ \implies |f'(x) - S'_{\Delta}(x)| &\leq \frac{7}{4}L\kappa\sigma_m^2 \cdot \sigma_m = \frac{7}{4}L\kappa\sigma_m^3. \end{aligned}$$

Analog folgt für $x \in [a, b]$ (hier ist wieder $|x - x_j| \leq \frac{1}{2}\sigma_m$), dass

$$f(x) - S_{\Delta}(x) = \int_{x_j}^x f'(t) - S'_{\Delta}(t) dt$$

und damit

$$|f(x) - S_{\Delta}(x)| \leq \frac{7}{4}L\kappa\sigma_m^3 \frac{1}{2}\sigma_m = \frac{7}{8}L\kappa\sigma_m^4.$$

□

Es gäbe noch viel mehr zu Splines zu sagen, dazu fehlt hier die Zeit.

Kapitel 5

Numerische Integration

Eine weitere Technik, die wir zur Entwicklung von Verfahren höherer Ordnung benötigen, sind numerische Integrationsmethoden, oft auch Quadraturmethoden genannt.

Aufgabe der numerischen Integration (Quadratur) ist die Berechnung von

$$\int_a^b f(x) dx, \quad a, b < \infty.$$

Typischerweise ist f nicht direkt integrierbar, und wir müssen numerische Methoden verwenden. Die Idee ist nun die folgende. Approximiere $f(x)$ durch eine Funktion, die einfach zu integrieren ist; wie Polynome, trigonometrische Polynome, Splines, rationale Funktionen, Exponentialsummen, oder ähnliches, und verwende das Integral dieser approximierenden Funktion als Approximation an das gesuchte Integral.

5.1 Newton–Cotes Formeln

Die Idee der Newton–Cotes¹ Formeln ist, $f(x)$ durch ein Polynom zu interpolieren und dieses zu integrieren. Bilde äquidistante Unterteilung von $[a, b]$, $x_i = a + ih$, $i = 0, \dots, n$, mit $h = \frac{b-a}{n}$, $n \in \mathbb{N}$, und bilde das Interpolationspolynom in Π_n , das

$$P_n(x_i) = f(x_i) \quad i = 0, \dots, n \quad (5.1)$$

¹R. Cotes, Englischer Mathematiker, 1682 – 1716

n	σ_i	ns	Fehler	Name
1	1 1	2	$\frac{h^3}{12} f^{(2)}(\xi)$	Trapezregel
2	1 4 1	6	$\frac{h^5}{90} f^{(4)}(\xi)$	Simpsonregel
3	1 3 3 1	8	$\frac{h^5}{80} f^{(4)}(\xi)$	3/8 Regel
4	7 32 12 32 7	90	$\frac{h^7}{945} f^{(6)}(\xi)$	Milne–Regel
5	19 75 50 50 75 19	288	$\frac{h^7}{12096} f^{(6)}(\xi)$	–
6	41 216 27 272 27 216 41	840	$\frac{h^9}{1400} f^{(8)}(\xi)$	Weddle–Regel

Tabelle 5.1: Newton–Cotes–Formeln

erfüllt. Aus Theorem 35 folgt, dass

$$P_n(x) = \sum_{i=0}^n f_i L_i(x). \quad (5.2)$$

Damit ergibt sich

$$\begin{aligned} \int_a^b P_n(x) dx &= \sum_{i=0}^n f_i \int_a^b L_i(x) dx \quad \text{mit } x = a + hs \\ &= h \sum_{i=0}^n f_i \int_0^n \prod_{\substack{k=0 \\ k \neq i}}^n \frac{s-k}{i-k} ds \\ &= h \sum_{i=0}^n f_i \alpha_i = \frac{b-a}{n} \sum_{i=0}^n \sigma_i f_i \quad \text{mit } \sigma_i \in \mathbb{Z}. \end{aligned} \quad (5.3)$$

Die Gewichte α_i sind unabhängig von f_i, a, b jedoch abhängig von n und liegen tabelliert (siehe Tabelle 5.1) vor. Diese Formeln heißen *Newton–Cotes–Formeln*.

Proposition 54 Für den Approximationsfehler bei der numerischen Inte-

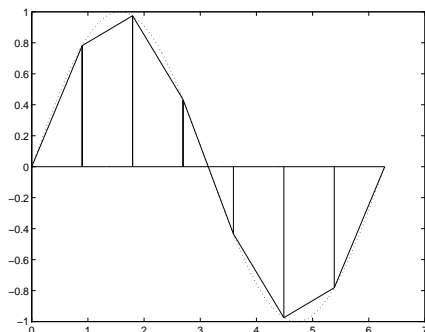
gration mit Hilfe von Newton-Cotes Formeln gilt:

$$\int_a^b (P_n(x) - f(x)) dx = h^{p+1} \kappa \cdot f^{(p)}(\xi), \xi \in (a, b). \quad (5.4)$$

Beweis. Der Beweis folgt sofort aus Theorem 45. \square

Es macht keinen Sinn höheren Polynomgrad zu verwenden, weil dann negative Gewichte in den Formeln auftreten und damit die Gefahr der Auslöschung auftritt. Aber das ist auch nicht notwendig, denn um die schlechten globalen Approximationseigenschaften von Polynomen zu vermeiden werden die Regeln stückweise auf Teilintervalle angewendet und dann aufsummiert.

Beispiel 55 (Summierte Trapezregel: stückweise lineare Interpolation)



Verwende Teilintervalle $[x_i, x_{i+1}]$, $x_i = a + ih$, $i = 0, \dots, N$, $h = \frac{b-a}{N}$. Dann ist die summierte Trapezregel gegeben durch

$$T(h) := \sum_{i=0}^{N-1} \frac{h}{2} [f(x_i) + f(x_{i+1})] \quad (5.5)$$

$$= h \left[\frac{f(a)}{2} + f(a+h) + \dots + f(b-h) + \frac{f(b)}{2} \right].$$

Für jedes Teilintervall ist der Fehler

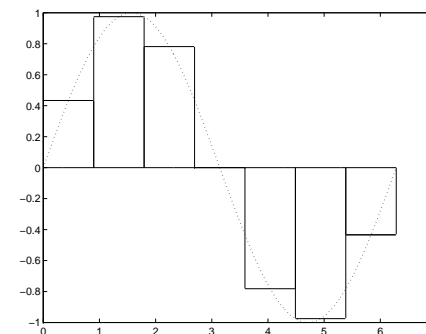
$$\frac{h}{2} [f(x_i) - f(x_{i+1})] - \int_{x_i}^{x_{i+1}} f(x) dx = \frac{h^3}{12} f^{(2)}(\xi_i) \text{ für } \xi_i \in (x_i, x_{i+1}). \quad (5.6)$$

Insgesamt ergibt sich also

$$\begin{aligned} \left| T(h) - \int_a^b f(x) dx \right| &= \left| \sum_{i=0}^{n-1} \frac{h^3}{12} f^{(2)}(\xi_i) \right| \\ &\leq \frac{h^3}{12} N \cdot \underbrace{\sup_{\xi \in [a,b]} f''(\xi)}_{=M} = \frac{b-a}{12} h^2 M. \end{aligned} \quad (5.7)$$

Damit geht der Fehler mit h^2 gegen 0. Man nennt dies ein Verfahren 2. Ordnung.

Beispiel 56 (Summierte Mittelpunkregel)



Beispiel 57 Sei N gerade. Verwende die Simpsonregel auf $[x_{2i}, x_{2i+1}, x_{2i+2}]$, $i = 0, \dots, \frac{N}{2} - 1$. Der Näherungswert auf jedem der Teilintervalle ist

$$\frac{h}{3} [f(x_{2i}) + 4f(x_{2i+1}) + f(x_{2i+2})].$$

Summation ergibt

$$S(h) = \frac{h}{3} [(f(a) + 4f(a+b) + 2f(a+2h) + 4f(a+3h) + \dots + 2f(b-2h) + 4f(b-h) + f(b))] \quad (5.8)$$

und als Fehler erhalten wir

$$\left| S(h) - \int_a^b f(x) dx \right| \leq \frac{h^5}{90} \cdot \frac{N}{2} \cdot \underbrace{\sup_{\xi \in [a,b]} f^{(4)}(\xi)}_{=M} \quad (5.9)$$

$$= \frac{b-a}{180} h^4 \cdot M,$$

also ist das ein Verfahren 4. Ordnung.

Weitere Quadraturformeln erhält man durch andere Approximationsaufgaben für $f(x)$. Dies sind z.B. die *Gauss-Quadratur*² für Integrale der Form

$$\int_a^b w(x) f(x) dx \approx \sum_{i=1}^n w_i f(x_i).$$

wobei w_i, f_i so gewählt werden, dass der Fehler

$$\int_a^b w(x) f(x) dx - \sum_{i=1}^n w_i f(x_i)$$

für Polynome möglichst hohen Grades verschwindet.

²C.F. Gauß, Deutscher Mathematiker, 1777–1855

5.2 Extrapolation

Eine weitere Technik zur numerischen Integration, die wir auch bei der Lösung von Differentialgleichungen verwenden, ist die Extrapolation. Die Idee ist dabei, Integrationsformeln für unterschiedliche Werte h_i von h zu verwenden und damit Approximationen an das Integral Q ; auszurechnen, dann die Werte (h_i, Q_i) durch ein Interpolationspolynom zu interpolieren und dieses mit Hilfe des Neville-Aitken Schemas bei $h = 0$ auszuwerten. Besonderes gut funktioniert dies bei der Trapezsumme. Dies liegt an der Euler-Maclaurin-Formel³.

Theorem 58 Für $f \in \mathcal{C}^{2m+2}[a, b]$ hat $T(h)$ die Entwicklung

$$T(h) = \tau_0 + \tau_1 h^2 + \tau_2 h^4 + \dots + \tau_m h^{2m} + \alpha_{m+1}(h) h^{2m+2} \quad (5.10)$$

mit $\tau_0 := \int_a^b f(x) dx$. Dabei sind die τ_i von h unabhängige Konstanten und $|\alpha_{m+1}(h)| \leq M$ für alle $h = \frac{b-a}{n}$, $n \in \mathbb{N}$.

Die Euler-Maclaurin-Formel läßt sich nun zur Extrapolation verwenden.

Wenn man das Restglied vernachlässigt, ist $T(h)$ ein Polynom in h^2 , das für $h = 0$ den Wert $\tau_0 = \int_a^b f(x) dx$ liefert.

Bestimme daher für verschiedene Schrittweiten $h_0 = b - a, h_1 = \frac{b-a}{n_1}, \dots, h_m = \frac{b-a}{n_m}$, $n_i \in \mathbb{N}$, die zugehörige Trapezsumme

$$T_{i,0} = T(h_i), \quad i = 0, \dots, m \quad (5.11)$$

und dann durch Interpolation das Polynom

$$\tilde{T}_{m,m}(h) = a_0 + a_1 h^2 + \dots + a_m h^{2m}, \quad (5.12)$$

dass die Interpolationsbedingungen

$$\tilde{T}_{m,m}(h_i) = T(h_i), \quad i = 0, \dots, m \quad (5.13)$$

³C. Maclaurin, Englischer Mathematiker, 1698–1746

erfüllt. Werte dann dieses Polynom bei $h = 0$ mit dem Neville–Aitken Schema aus. Dies liefert i.a. eine sehr gute Näherung für das Integral. Sei $\tilde{T}_{i,k}(h)$ das Polynom vom Grad k in h^2 , dass

$$\tilde{T}_{i,k}(h_j) = T_{j,0}, \quad j = i - k, \dots, i \quad (5.14)$$

erfüllt. Damit gilt für die extrapolierten Werte $T_{i,k} := \tilde{T}_{i,k}(0)$.

$$T_{i,k} = T_{i,k-1} + \frac{T_{i,k-1} - T_{i-1,k-1}}{\left(\frac{h_{i-k}}{h_i}\right)^2 - 1}, \quad 1 \leq k \leq i \leq m. \quad (5.15)$$

Als Extrapolationsfolgen verwendet man

- a) $h_0 = b - a, h_1 = \frac{h_0}{2}, h_2 = \frac{h_1}{2}, h_3 = \frac{h_2}{2}, \dots$ (Romberg Folge)
 b) $h_0 = b - a, h_1 = \frac{h_0}{2}, h_2 = \frac{h_0}{3}, h_3 = \frac{h_1}{2}, h_4 = \frac{h_2}{2}, h_5 = \frac{h_3}{2}, \dots$ (Bulirschfolge).

Dabei ist b) oft besser, da der Rechenaufwand weniger schnell ansteigt, denn vorherige Werte können verwendet werden.

Wie gut ist nun die Extrapolation?

Aus der Fehlerbetrachtung für die Quadraturformel folgt, dass es $\xi \in [a, b]$ gibt, so dass gilt

$$T_{mm} - \int_a^b f(x) dx = -\frac{1}{(2m+2)!} f^{(2m+2)}(\xi) \int_a^b K(x) dx \quad (5.16)$$

mit

$$K(x) = \sum_{i=0}^m c_{m,i} h_i^{2m+2} \left[S_{2m+2} \left(\frac{x-a}{h_i} \right) - S_{2m+2}(0) \right]. \quad (5.17)$$

Damit ergibt sich die Fehlerabschätzung:

$$T_{mm} - \int_a^b f(x) dx = (b-a) h_0^2 \dots h_m^2 \frac{\beta_{m+1}}{(2m+1)!} f^{(2m+2)}(\xi). \quad (5.18)$$

Kapitel 6

Verfahren höherer Ordnung

Die Fehler- und Konvergenzanalyse für das Euler-Verfahren hat uns gezeigt, dass wir auf Grund der Rundungsfehler die Schrittweite nicht beliebig klein machen können. Wir brauchen daher Verfahren, die einen lokalen Diskretisierungsfehler (und damit auch einen globalen Fehler) haben, der eine Ordnung $\mathcal{O}(h^p)$ mit möglichst großem p hat.

Definition 59 Ein *Einschrittverfahren* der Form

$$\begin{aligned} u_0 &= y_0, \\ u_{i+1} &= u_i + h\Phi(t_i, u_i, h, f) \end{aligned} \quad (6.1)$$

zur Lösung der Anfangswertaufgabe

$$y' = f(t, y), \quad y(t_0) = y_0 \quad (6.2)$$

auf einem Intervall $\mathbb{I} = [t_0, t_0 + a]$, heißt *konsistent von der Ordnung p* , wenn für alle genügend oft differenzierbaren Funktionen f und für alle $\hat{t} \in \mathbb{I}$ und alle z , für den lokalen Diskretisierungsfehler gilt, dass

$$\tau(\hat{t}, z, h, f) = \mathcal{O}(h^{p+1}). \quad (6.3)$$

6.1 Einfache Verfahren höherer Ordnung

Einfache Verfahren höherer Ordnung erhält man mit dem Ansatz

$$\Phi(t, z, h, f) = a_1 f(t, z) + a_2 f(t + p_1 h, z + p_2 h f(t, z))$$

Man bestimmt nun a_1, a_2, p_1, p_2 so, dass die Taylor-Entwicklung von τ mit möglichst hoher h -Potenz beginnt.

Die Taylorentwicklung von $\Phi(t, z, h, f)$ ergibt

$$\Phi(t, z, h, f) = (a_1 + a_2)f(t, z) + a_2 h[p_1 f_t(t, z) + p_2 f_z(t, z)f(t, z)] + \mathcal{O}(h^2).$$

Um ein Verfahren 2-ter Ordnung zu erhalten, ergibt sich daher:

$$a_1 + a_2 = 1 \quad a_2 p_1 = \frac{1}{2} \quad a_2 p_2 = \frac{1}{2}.$$

Lösungen sind:

- 1) $a_1 = \frac{1}{2}, a_2 = \frac{1}{2}, p_1 = p_2 = 1$. Das gibt das *Verfahren von Heun* mit

$$\Phi(t, z, h, f) = \frac{1}{2}[f(t, z) + f(t + h, z + hf(t, z))],$$

welches 2 Auswertungen von f pro Schritt hat.

- 2) $a_1 = 0, a_2 = 1, p_1 = p_2 = \frac{1}{2}$. Das ist das *modifizierte Euler-Verfahren* von Collatz mit

$$\Phi(t, z, h, f) = f\left(t + \frac{h}{2}, z + \frac{h}{2}f(t, z)\right),$$

das ebenfalls 2 Auswertungen von f pro Schritt hat.

Beispiel 60 Wir wollen uns die drei Verfahren, Euler, modifizierter Euler und Heun im Vergleich anschauen, siehe Abbildung 60.

Dazu betrachten wir die Anfangswertaufgabe

$$y' = -2xy^2, \quad y(0) = 1$$

mit der exakten Lösung $y(x) = 1/(x^2 + 1)$. Mit der Methode von Euler erhalten wir die in der folgenden Tabelle zusammengestellten Näherungswerte y_k für verschiedene Schrittweiten h an gleichen Stellen x_k sowie die zugehörigen Fehler $e_k := y(x_k) - y_k$. Der Fehler nimmt etwa proportional zur Schrittweite h ab.

Euler-Verfahren für $y' = -2xy^2, y(0) = 1$.

x_k	$y(x_k)$	$h = 0.1$		$h = 0.01$		$h = 0.001$	
		y_k	e_k	y_k	e_k	y_k	e_k
0	1.00000	1.00000	—	1.00000	—	1.00000	—
0.1	0.99010	1.00000	-0.00990	0.99107	-0.00097	0.99020	-0.00010
0.2	0.96154	0.98000	-0.01846	0.96330	-0.00176	0.96171	-0.00018
0.3	0.91743	0.94158	-0.02415	0.91969	-0.00226	0.91766	-0.00022
0.4	0.86207	0.88839	-0.02632	0.86448	-0.00242	0.86231	-0.00024
0.5	0.80000	0.82525	-0.02525	0.80229	-0.00229	0.80023	-0.00023
0.6	0.73529	0.75715	-0.02185	0.73727	-0.00198	0.73549	-0.00020

Mit dem Verfahren von Heun und dem modifiziertem Euler-Verfahren für Schrittweiten $h = 0.1$ und $h = 0.05$ erhalten wir die folgenden Ergebnisse. Die Resultate zeigen die Fehlerordnung 2.

Modifiziertes Euler-Verfahren (y_k) und Verfahren von Heun (\hat{y}_k) für $y' = -2xy^2, y(0) = 1$.

x_k	$h = 0.1$		$h = 0.05$		$h = 0.1$		$h = 0.05$	
	y_k	e_k	y_k	e_k	\hat{y}_k	\hat{e}_k	\hat{y}_k	\hat{e}_k
0	1.00000	—	1.00000	—	1.00000	—	1.00000	—
0.1	0.99000	0.00010	0.99007	0.00002	0.99000	0.00010	0.99009	0.00001
0.2	0.96118	0.00036	0.96145	0.00009	0.96137	0.00017	0.96152	0.00002
0.3	0.91674	0.00069	0.91727	0.00016	0.91725	0.00019	0.91742	0.00001
0.4	0.86110	0.00096	0.86184	0.00023	0.86195	0.00011	0.86208	-0.00001
0.5	0.79889	0.00111	0.79974	0.00026	0.80003	-0.00003	0.80004	-0.00004
0.6	0.73418	0.00111	0.73503	0.00026	0.73553	-0.00023	0.73538	-0.00009
0.7	0.67014	0.00100	0.67091	0.00023	0.67159	-0.00045	0.67128	-0.00014
0.8	0.60895	0.00080	0.60957	0.00018	0.61040	-0.00064	0.60993	-0.00018
0.9	0.55191	0.00058	0.55236	0.00013	0.55329	-0.00080	0.55270	-0.00021
1.0	0.49964	0.00036	0.49992	0.00008	0.50092	-0.00092	0.50024	-0.00024

Man kann noch weitere Methoden auf ähnliche Weise konstruieren, wir wollen jedoch systematisch vorgehen.

Wir betrachten wieder eine Anfangswertaufgabe der Form

$$y' = f(t, y), \quad y(t_0) = y_0 \tag{6.4}$$

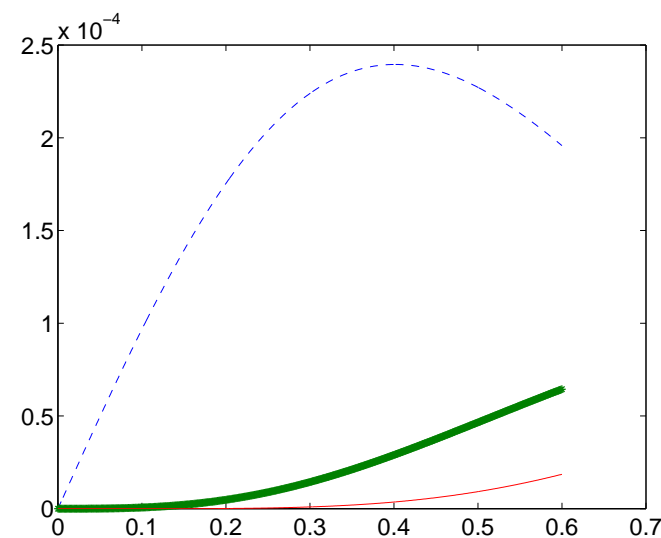


Abbildung 6.1: Vergleich Euler (-), Mod. Euler (.) und Heun (*)

auf einem Intervall $I = [t_0, t_0 + a]$. Dabei sei f eine stetige Funktion der Form

$$f : G \subset \mathbb{R}^{n+1} \rightarrow \mathbb{R}^n,$$

die einer Lipschitzbedingung genüge. Integration der Differentialgleichung ergibt für $y(t)$

$$y(t) = y(t_0) + \int_{t_0}^t f(s, y(s)) \, ds. \tag{6.5}$$

Entsprechend erhalten wir für Teilintervalle

$$y_{j+1} = y_j + \int_{t_j}^{t_{j+1}} f(s, y(s)) \, ds. \tag{6.6}$$

Das Integral

$$\int_{t_j}^{t_{j+1}} f(s, y(s)) ds$$

ersetzen wir nun durch die Quadraturformel

$$h_j \sum_{l=1}^m \gamma_l f(s_l, y(s_l)), \quad s_l \in [t_j, t_{j+1}],$$

wobei wir jetzt auch variable Schrittweiten h_j zulassen. Dabei muss $y(s_l)$ noch ausgerechnet werden. Dazu benötigen wir eine Näherung für $f(s_l, y(s_l))$, da wir $y(s_l)$ ja nicht kennen.

Dieser allgemeine Ansatz führt auf explizite Runge¹–Kutta² Verfahren. Wir setzen

$$f(s_l, y(s_l)) \approx k_l(t_j, y_j)$$

mit $s_1 = t_j$ und $s_l = t_j + \alpha_l h_j$, wobei für α_l gilt:

$$\alpha_l = \sum_{r=1}^{l-1} \beta_{lr}.$$

Daraus konstruieren wir ein Gleichungssystem der Form

$$\begin{aligned} k_1(t_j, y_j) &= f(t_j, y_j), \\ k_2(t_j, y_j) &= f(t_j + \alpha_2 h_j, y_j + h_j \beta_{2,1} k_1(t_j, y_j)), \\ k_3(t_j, y_j) &= f(t_j + \alpha_3 h_j, y_j + h_j (\beta_{3,1} k_1(t_j, y_j) + \beta_{3,2} k_2(t_j, y_j))), \\ &\vdots \\ k_m(t_j, y_j) &= f(t_j + \alpha_m h_j, y_j + h_j (\beta_{m,1} k_1(t_j, y_j) + \dots \\ &\quad \dots + \beta_{m,m-1} k_{m-1}(t_j, y_j))), \end{aligned} \quad (6.7)$$

und damit erhalten wir für Approximationen u_j das Verfahren:

$$u_{j+1} = u_j + h_j (\gamma_1 k_1(t_j, u_j) + \dots + \gamma_m k_m(t_j, u_j)). \quad (6.8)$$

Theorem 61 Ein Verfahren der Form (6.8) mit Stufenwerten k_i wie in (6.7) heißt m -stufiges Runge–Kutta Verfahren. Es wird üblicherweise durch eine Butcher–Tabelle der Form

$$\begin{array}{c|ccc} 0 & & & \\ \alpha_2 & \beta_{2,1} & & \\ \alpha_3 & \beta_{3,1} & \ddots & \\ \vdots & \vdots & & \\ \alpha_m & \beta_{m,1} & \dots & \beta_{m,m-1} \\ \hline & \gamma_1 & \dots & \gamma_{m-1} \quad \gamma_m \end{array} \quad (6.9)$$

dargestellt.

Beispiel 62 Als spezielle Runge–Kutta Verfahren erhalten wir die folgenden Methoden:

1. Eulerverfahren, 1. Ordnung:

$$\begin{aligned} m &= 1, \quad \gamma_1 = 1 \\ u_{j+1} &= u_j + h_j f(t_j, u_j). \end{aligned} \quad (6.10)$$

2. Modifiziertes Eulerverfahren, (Mittelpunktsregel für Quadratur), 2. Ordnung:

$$m = 2, \quad \gamma_1 = 0, \quad \gamma_2 = 1, \quad \beta_{2,1} = \alpha_2 = \frac{1}{2}. \quad (6.11)$$

3. Verfahren von Heun, (Trapezregel für Quadratur), 2. Ordnung:

$$m = 2, \quad \gamma_1 = \gamma_2 = \frac{1}{2}, \quad \beta_{2,1} = \alpha_2 = 1 \quad (6.12)$$

4. Runge–Verfahren, 3. Ordnung:

$$m = 3 \quad \begin{array}{c|cc} 0 & & \\ 1/2 & 1/2 & \\ 1 & 0 & 1 \\ \hline & 0 & 0 & 1 \end{array} \quad (6.13)$$

¹C.D. Runge, deutscher Mathematiker, 1856–1927

²M.W. Kutta, deutscher Mathematiker, 1867–1944

5. Klassisches Runge-Kutta Verfahren, (Simpsonregel für Quadratur), 4. Ordnung:

$$m = 4 \quad \begin{array}{c|ccc} 0 & & & \\ 1/2 & 1/2 & & \\ 1/2 & 0 & 1/2 & \\ 1 & 0 & 0 & 1 \\ \hline & 1/6 & 1/3 & 1/3 & 1/6 \end{array} \quad (6.14)$$

Was für Bedingungen müssen an die Koeffizienten gestellt werden?

Es soll ja für die k_r gelten, dass

$$\begin{aligned} k_r(t_j, y_j) &= f(t_j + \alpha_r h_j, y(t_j) + h_j(\beta_{r,1} k_1 + \dots + \beta_{r,r-1} k_{r-1})) \\ &\approx f(t_j + \alpha_r h_j, y(t_j + \alpha_r h_j)) \\ &= f(t_j + \alpha_r h_j, y(t_j) + \alpha_r h_j y'(t_j) + \mathcal{O}(h_j^2)), \end{aligned}$$

und die Approximation soll mindestens $\mathcal{O}(h_j^2)$ sein. Für die Koeffizienten α_i, β_i und γ_i gelten dann folgende Beziehungen:

$$\beta_{r,1} + \dots + \beta_{r,r-1} = \alpha_r, \quad (6.15)$$

$$\gamma_1 + \dots + \gamma_m = 1. \quad (6.16)$$

Wir erhalten den folgenden Konsistenzsatz:

Theorem 63 Ein explizites Runge-Kutta Verfahren der Form (6.9), welches die Bedingungen (6.15) und (6.16) erfüllt, ist konsistent.

Beweis. Laut Definition gilt für den lokalen Fehler, dass $\frac{1}{h_j} \tau(\hat{t}, z, h_j, f) = \Delta(\hat{t}, z, h_j, f) - \Phi(\hat{t}, z, h_j, f)$ und damit erhalten wir unter Verwendung von (6.16) die folgende Abschätzung:

$$\begin{aligned} \left| \frac{1}{h_j} \tau(\hat{t}, z, h_j, f) \right| &= |\Delta(\hat{t}, z, h_j, f) - \Phi(\hat{t}, z, h_j, f)| \\ &= \left| \frac{y(\hat{t} + h_j) - y(\hat{t})}{h_j} - \sum_{r=1}^m \gamma_r k_r(\hat{t}, z) + f(\hat{t}, z) - f(\hat{t}, z) \right| \end{aligned}$$

$$\begin{aligned} &\leq \left| \frac{y(\hat{t} + h_j) - y(\hat{t})}{h_j} - y'(\hat{t}) \right| + \left| \sum_{r=1}^m \gamma_r (k_r(\hat{t}, z) - f(\hat{t}, z)) \right| \\ &\leq \left| \frac{y(\hat{t} + h_j) - y(\hat{t})}{h_j} - y'(\hat{t}) \right| \\ &\quad + \sum_{r=1}^m \gamma_r |f(\hat{t}, z) - f(\hat{t} + \alpha_r h_j, y(\hat{t}) + h_j \theta)|. \end{aligned}$$

Da die beiden Summanden gegen Null gehen, wenn h_j gegen Null geht, folgt die Behauptung. \square

Um die Ordnung der Runge-Kutta Verfahren zu bestimmen, muss man nach Taylor entwickeln und anschließend ein nichtlineares Gleichungssystem für die Koeffizienten lösen. Die Anzahl der Parameter und damit der Funktionsauswertungen wächst sehr schnell, wie die folgende Tabelle zeigt:

$$\begin{array}{c|cccccccc} \text{Ordnung } p & 1 & 2 & 3 & 4 & 5 & 6 & 7 & 8 \\ \hline \# \text{ Parameter} & 1 & 2 & 4 & 8 & 17 & 37 & 85 & 200 \end{array} \quad (6.17)$$

Die folgende Tabelle zeigt, wie groß die maximale Ordnung ist, die mit einem m -stufigen Verfahren für ein bestimmtes m erreicht werden kann.

$$\begin{array}{c|cccccccc|c} \text{Stufe } m & 1 & 2 & 3 & 4 & 5 & 6 & 7 & 8 & 9 & \geq 9 \\ \hline \text{Ordnung } p(m) & 1 & 2 & 3 & 4 & 4 & 5 & 6 & 6 & 7 & < m - 2 \end{array} \quad (6.18)$$

Beispiel 64 Im folgenden sei $m = 4$ und $p = 4$. Dann gibt es z.B. die folgenden 4-stufigen Verfahren:

- Klassisches Runge-Kutta Verfahren

$$\begin{array}{c|ccc} 0 & & & \\ 1/2 & 1/2 & & \\ 1/2 & 0 & 1/2 & \\ 1 & 0 & 0 & 1 \\ \hline & 1/6 & 1/3 & 1/3 & 1/6 \end{array} \quad (6.19)$$

- 3/8-Regel

$$\begin{array}{c|ccc}
 0 & & & \\
 1/3 & 1/3 & & \\
 2/3 & -1/3 & 1 & \\
 1 & 1 & -1 & 1 \\
 \hline
 & 1/8 & 3/8 & 3/8 & 1/8
 \end{array} \quad (6.20)$$

Das klassische Runge-Kutta Verfahren (6.19) ist unter allen expliziten Runge-Kutta Verfahren der Ordnung 4 dasjenige mit den wenigsten Parametern. Es braucht daher auch unter all diesen Methoden die wenigsten Funktionsauswertungen.

Weitere Verfahren lassen sich durch Kombination von Runge-Kutta-Verfahren und Taylorentwicklung erzeugen. Diese heißen *Runge-Kutta-Fehlberg Verfahren*.

6.2 Implizite Runge-Kutta Formeln

In einigen Problemen läßt es sich nicht vermeiden, kompliziertere Verfahren zu verwenden. Bei den Runge-Kutta-Verfahren lassen sich weitere Verfahren sehr einfach entwickeln. Definiere hier statt (6.7)

$$k_r(t_j, y_j) = f(t_j + \alpha_r h_j, y_j + h_j(\beta_{r,1}k_1 + \dots + \beta_{r,m}k_m)), \quad (6.21)$$

für $r = 1, \dots, m$ und damit

$$u_{j+1} = u_j + h_j(\gamma_1 k_1(t_j, u_j) + \dots + \gamma_m k_m(t_j, u_j)).$$

Mit $\beta_{r,l} = 0$ für $l \geq r$ ist k_r in (6.21) explizit aus k_1, \dots, k_{r-1} berechenbar, sonst ist (6.21) implizit in den Unbekannten k_1, \dots, k_m . Man beachte: diese Formeln definieren kein implizites Verfahren, d.h. wir erhalten immer noch u_{i+1} explizit aus u_i , nur die Berechnung der k_r ist implizit.

Auch implizite Runge-Kutta-Verfahren werden wieder durch Butcher-Tabellen angegeben:

$$\begin{array}{c|ccc}
 \alpha_1 & \beta_{11} & \dots & \beta_{1m} \\
 \alpha_2 & \beta_{21} & \dots & \beta_{2m} \\
 \vdots & \vdots & \dots & \vdots \\
 \alpha_m & \beta_{m1} & \dots & \beta_{mm} \\
 \hline
 & \gamma_1 & \dots & \gamma_{m-1}
 \end{array}$$

Bei den impliziten Verfahren sind drei verschiedene Formeltypen von besonderem Interesse.

1. Gauß-Form : Alle Parameter $\alpha_j, \beta_{ji}, \gamma_j$ beliebig wählbar
2. Radau-Form : Entweder $\alpha_1 = \beta_{11} = \beta_{12} = \dots = \beta_{1m} = 0$ oder $\alpha_m = 1$ und $\beta_{1m} = \beta_{2m} = \dots = \beta_{mm} = 0$.
3. Lobatto-Form : $\alpha_1 = \beta_{11} = \beta_{12} = \dots = \beta_{1m} = \beta_{2m} = \dots = \beta_{mm} = 0, \alpha_m = 1$.

Die Namen der drei Typen von Verfahren leiten sich aus dem Umstand her, dass sie im Spezialfall einer von y unabhängigen Funktion f in die gleichnamigen Quadraturlinien übergehen. Die Radau-Formeln haben den Vorteil, dass entweder k_1 oder k_m explizit berechnet werden kann, bei den Lobatto-Formeln können sogar k_1 und k_m explizit berechnet werden, wodurch die Zahl der in jedem Schritt zu lösenden impliziten Gleichungen verringert wird. Dafür muß man eine geringere Konsistenzordnung bei gleicher Stufenzahl in Kauf nehmen.

Beispiel 65 Wir geben nun einige spezielle implizite Formeln der genannten Typen an.

Gauß-Form, 2. Ordnung : $m = 1, p = 2$,

$$\begin{array}{c|c}
 \frac{1}{2} & \frac{1}{2} \\
 \hline
 & 1
 \end{array}$$

Mit diesen Koeffizienten erhält man das folgende Verfahren:

$$\begin{aligned}
 k_1 &= f\left(t_j + \frac{h_j}{2}, u_j + \frac{h_j}{2}k_1\right), \\
 u_{j+1} &= u_j + h_j k_1.
 \end{aligned}$$

Gauß-Form, 4. Ordnung : $m = 2, p = 4$,

$$\begin{array}{c|cc} \frac{(3-\sqrt{3})}{6} & \frac{1}{4} & \frac{(3-2\sqrt{3})}{12} \\ \frac{(3+\sqrt{3})}{6} & \frac{(3+2\sqrt{3})}{12} & \frac{1}{4} \\ \hline & \frac{1}{2} & \frac{1}{2} \end{array}$$

Radau-Form, 1. Ordnung, (Euler Verfahren): $m = 1, p = 1$

$$\begin{array}{c|c} 0 & \\ \hline & 1 \end{array}$$

Radau-Form, 3. Ordnung: $m = 2, p = 3$

$$\begin{array}{ccc|ccc} 0 & 0 & 0 & \frac{1}{3} & \frac{1}{3} & 0 \\ \frac{2}{3} & \frac{1}{3} & \frac{1}{3} & 1 & 1 & 0 \\ \hline & \frac{1}{4} & \frac{3}{4} & \frac{3}{4} & \frac{1}{4} & \end{array}$$

Lobatto-Form, 2. Ordnung : $m = 2, p = 2$

$$\begin{array}{cc|cc} 0 & 0 & 0 & \\ \hline 1 & 1 & 0 & \\ \hline & \frac{1}{2} & \frac{1}{2} & \end{array}$$

Setze man diese Werte ein, so erhält man die (explizite) Formel

$$u_{j+1} = u_j + \frac{h_j}{2}(f(t_j, u_j) + f(t_j + h_j, u_j + f(t_j, u_j))).$$

Lobatto-Form, 4. Ordnung : $m = 3, p = 4$

$$\begin{array}{ccc|ccc} 0 & 0 & 0 & 0 & & \\ \frac{1}{2} & \frac{1}{4} & \frac{1}{4} & 0 & & \\ 1 & 0 & 1 & 0 & & \\ \hline & \frac{1}{6} & \frac{2}{3} & \frac{1}{6} & & \end{array}$$

Zur Berechnung der k_r muss im allgemeinen ein nichtlineares Gleichungssystem gelöst werden. Die Existenz der Lösung erhalten wir aus dem folgenden Theorem. Zur numerischen Lösung kommen wir später.

Theorem 66 Die Funktion f genüge für alle $(t, y_1), (t, y_2) \in \mathbb{I} \times \mathbb{R}^n$ der Lipschitz-Bedingung

$$\|f(t, y_1) - f(t, y_2)\| \leq L\|y_1 - y_2\|.$$

Dann existiert für alle Schrittweiten h mit

$$q = L \cdot h \cdot \max_{j=1, \dots, m} \left(\sum_{k=1}^m |\beta_{jk}| \right) < 1$$

und alle $(t, y) \in \mathbb{I} \times \mathbb{R}^n$ eine eindeutig bestimmte Lösung $k_1(t, y), \dots, k_m(t, y)$ von (6.21).

Beweis. Der Beweis folgt aus dem Banachschen Fixpunktsatz. \square

Bemerkung 67 i) Wesentlicher Vorteil der impliziten Runge-Kutta Verfahren gegenüber den expliziten Verfahren ist der größere Stabilitätsbereich der Methoden.

ii) Die Lipschitz-Bedingung läßt sich auf eine lokale Lipschitz-Bedingung abschwächen, die nur in einem Schlauch um die Lösung gilt.

iii) Um $q < 1$ zu garantieren, muss h genügend klein sein. Das führt oft dazu, dass der erhöhte Rechenaufwand die hohe Konsistenzordnung wieder aufhebt.

6.3 Schrittweitensteuerung:

So wie wir die Runge-Kutta Verfahren bisher entwickelt haben, ist nicht klar wie die Schrittweite h_j in jedem Schritt zu wählen ist. Es ist natürlich sinnvoll, die Schrittweite an den Lösungsverlauf anzupassen, d.h. bei fast linearem Lösungsverhalten sollten wir große Schritte machen (um den Rechenaufwand zu minimieren), und wenn die Lösung stark oszilliert entsprechend kleine Schritte (um die gewünschte Genauigkeit zu bekommen). Dies ist die Idee der *Schrittweitensteuerung*.

Ziel: Wähle die Schrittweite h_j von t_j auf t_{j+1} möglichst groß, aber so, dass der lokale Fehler unterhalb einer bestimmten Toleranzgrenze liegt.

Idee: Verwende eine Schätzung für den Fehler. Wird der geschätzte Fehler zu groß, so verkleinere die Schrittweite. Wird der geschätzte Fehler dagegen sehr klein, so vergrößere die Schrittweite.

Wie können wir den Fehler schätzen?

Seien $\Phi_p(t, y, h, f)$ und $\Phi_{p+1}(t, y, h, f)$ die Inkrementfunktionen zweier Verfahren der Ordnung p und $p + 1$. Dann gilt für die zugehörigen Diskretisierungsfehler τ_p bzw. τ_{p+1} :

$$\begin{aligned}\frac{1}{h_j}\tau_p(t_j, z, h_j, f) &= \Delta(t_j, z, h_j, f) - \Phi_p(t_j, z, h_j, f), \\ \frac{1}{h_j}\tau_{p+1}(t_j, z, h_j, f) &= \Delta(t_j, z, h_j, f) - \Phi_{p+1}(t_j, z, h_j, f).\end{aligned}$$

Daraus folgt dann

$$\begin{aligned}\frac{1}{h_j}\tau_p &= \Phi_{p+1} - \Phi_p + \frac{1}{h_j}\tau_{p+1} \\ &\approx \Phi_{p+1} - \Phi_p.\end{aligned}\tag{6.22}$$

Diese Schätzung des lokalen Fehlers wird nun zur Schrittweitensteuerung verwendet. Ideal wäre natürlich, wenn die beiden Verfahren so gewählt wären, dass der Rechenaufwand im wesentlichen der gleiche ist, als wenn wir nur das Verfahren der Ordnung $p + 1$ verwenden. Dies ist die Idee der *eingebetteten Runge-Kutta Verfahren*.

Die allgemeine Vorgehensweise läßt sich nun wie folgt beschreiben:

Schrittweitensteuerung

Gegeben t_0, u_0, a
 Anfangsschrittweite $h < a$
 Toleranz ε
 Intervall $[t_0, t_0 + a]$
 2 Inkrementfunktionen Φ_p, Φ_{p+1} zu Verfahren der Ordnung $p, p + 1$

$i = 0$
WHILE $t_i < t_0 + a$ **AND** $t_i + h > t_i$
 IF $t_i + h > t_0 + a$
 $h = t_0 + a - t_i$
 END IF
 $\Phi_1 = \Phi_p(t_i, u_i, h, f)$
 $\Phi_2 = \Phi_{p+1}(t_i, u_i, h, f)$
 $\tau = \|\Phi_2 - \Phi_1\|$
 $n = \|u_i\| + 1$
 IF $\tau \leq \varepsilon n$
 $t_{i+1} = t_i + h$
 $u_{i+1} = u_i + h\Phi_1$ ($u_{i+1} = u_i + h\Phi_2$)
 $i = i + 1$
 END IF
 IF $\tau > 0$
 $h = h\sqrt{\varepsilon n/\tau}$
 END IF
END WHILE

Man kann auf diese Weise auch Unstetigkeiten in den Lösungen aufspüren, wenn die Schrittweite immer kleiner wird.

Beispiel 68 Wir verwenden ein Verfahren der Ordnung $p = 2$ zum Rechnen und ein Verfahren der Ordnung $p = 3$ zum Schätzen des Fehlers mit folgenden Tabellen für die Runge-Kutta Verfahren:

$$p = 2 \quad \begin{array}{c|c} 0 & \\ \hline 1 & 1 \\ \hline 1/2 & 1/2 \end{array}$$

$$p = 3 \quad \begin{array}{c|ccc} 0 & & & \\ 1 & 1 & 1 & \\ \hline 1/2 & 1/4 & 1/4 & \\ \hline & 1/6 & 1/6 & 2/3 \end{array}$$

Wir erhalten so für die diskreten Werte u bzw. \hat{u} der beiden Verfahren folgende Terme:

$$\begin{aligned} u_{j+1} &= u_j + \frac{h_j}{2}(k_1 + k_2), \\ k_1 &= f(t_j, u_j), \\ k_2 &= f(t_j + h_j, u_j + h_j k_1) \end{aligned} \tag{6.23}$$

und

$$\begin{aligned} \hat{u}_{j+1} &= \hat{u}_j + \frac{h_j}{6}(\hat{k}_1 + \hat{k}_2 + 4\hat{k}_3), \\ \hat{k}_1 &= f(t_j, \hat{u}_j), \\ \hat{k}_2 &= f(t_j + h_j, \hat{u}_j + h_j \hat{k}_1), \\ \hat{k}_3 &= f\left(t_j + \frac{h_j}{2}, \hat{u}_j + \frac{h_j}{4}(\hat{k}_1 + \hat{k}_2)\right). \end{aligned} \tag{6.24}$$

Da wir vom gleichen Startwert starten, gilt dann $\hat{k}_1 = k_1$ und $\hat{k}_2 = k_2$ und damit brauchen wir diese Werte nur einmal zu berechnen.

Beispiel 69 Das eingebettete Runge-Kutta-Fehlberg-4(5)-Verfahren hat die Form

0						
$\frac{1}{4}$	$\frac{1}{4}$					
$\frac{3}{8}$	$\frac{3}{32}$	$\frac{9}{32}$				
$\frac{12}{13}$	$\frac{1932}{2197}$	$-\frac{7200}{2197}$	$\frac{7296}{2197}$			
1	$\frac{439}{216}$	-8	$\frac{3680}{513}$	$-\frac{845}{4104}$		
$\frac{1}{2}$	$-\frac{8}{27}$	2	$-\frac{3544}{2565}$	$\frac{1859}{4104}$	$-\frac{11}{40}$	
y	$\frac{25}{216}$	0	$\frac{1408}{2565}$	$\frac{2197}{4104}$	$-\frac{1}{5}$	0 Ordnung 4
\hat{y}	$\frac{16}{135}$	0	$\frac{6656}{12825}$	$\frac{28561}{56430}$	$-\frac{9}{50}$	$\frac{2}{55}$ Ordnung 5

Dieses Verfahren braucht keine zusätzlichen Funktionsauswertungen. Eine andere exzellente Methode ist das Verfahren von Dormand-Prince-5(4) (DOPRI5) mit den folgenden Koeffizienten

0						
$\frac{1}{5}$	$\frac{1}{5}$					
$\frac{3}{10}$	$\frac{3}{40}$	$\frac{9}{40}$				
$\frac{4}{5}$	$\frac{44}{45}$	$-\frac{56}{45}$	$\frac{32}{9}$			
$\frac{8}{9}$	$\frac{19372}{6561}$	$-\frac{25360}{2187}$	$\frac{64448}{6561}$	$-\frac{212}{729}$		
1	$\frac{9017}{3168}$	$-\frac{355}{33}$	$\frac{46732}{5247}$	$\frac{49}{176}$	$-\frac{5103}{18656}$	
1	$\frac{35}{384}$	0	$\frac{500}{1113}$	$\frac{125}{192}$	$-\frac{2187}{6784}$	$\frac{11}{84}$
y_1	$\frac{35}{384}$	0	$\frac{500}{1113}$	$\frac{125}{192}$	$-\frac{2187}{6784}$	$\frac{11}{84}$ 0
\hat{y}_1	$\frac{5179}{57600}$	0	$\frac{7571}{16695}$	$\frac{393}{610}$	$-\frac{92097}{339200}$	$\frac{187}{2100}$ $\frac{1}{40}$

Kapitel 7

Lösung von linearen Gleichungssystemen.

Fast alle Praxisprobleme, ob in der Physik, der Chemie oder den Ingenieurwissenschaften führen letztendlich auf die Lösung eines linearen Gleichungssystems welches typischerweise heute eine große Zahl von Variablen hat. Ein Beispiel haben wir schon bei der Spline-Interpolation gesehen. Ein anderes Beispiel tritt offensichtlich bei der Lösung von impliziten Runge-Kutta-Verfahren auf. Wir betrachten die folgende Aufgabe:

Berechne eine Lösung von $Ax = b$, wobei $A \in \mathbb{C}^{n,n}$ (oder $\mathbb{R}^{n,n}$) und $b \in \mathbb{C}^n$ (oder \mathbb{R}^n) ist. Im folgenden verwenden wir immer $\mathbb{K} = \mathbb{C}$ oder $\mathbb{K} = \mathbb{R}$. Wir werden im folgenden einige Verfahren kennenlernen und genauer auf ihre Qualität untersuchen.

7.1 Normen und andere Grundlagen

Zuerst betrachten wir als Wiederholung ein paar Grundlagen.

Eine *Vektornorm* auf \mathbb{K}^n ist eine Funktion $f : \mathbb{K}^n \rightarrow \mathbb{R}$, welche die folgenden Bedingungen erfüllt.

$$\begin{aligned} f(x) &\geq 0 && \forall x \in \mathbb{K}^n \text{ (dabei ist } f(x) = 0 \iff x = 0), \\ f(x+y) &\leq f(x) + f(y) && \forall x, y \in \mathbb{K}^n, \\ f(\alpha x) &= |\alpha|f(x) && \forall \alpha \in \mathbb{K}, x \in \mathbb{K}^n, \end{aligned} \tag{7.1}$$

Wir schreiben $f(x) = \|x\|$.

Beispiel 70

$$\begin{aligned} \|x\|_p &= (|x_1|^p + \dots + |x_n|^p)^{\frac{1}{p}}, \quad p \geq 1, \\ \|x\|_1 &= |x_1| + |x_2| + \dots + |x_n|, \\ \|x\|_2 &= (|x_1|^2 + |x_2|^2 + \dots + |x_n|^2)^{\frac{1}{2}} = (x^T x)^{\frac{1}{2}}, \\ \|x\|_\infty &= \max_{1 \leq k \leq n} |x_k|. \end{aligned}$$

Proposition 71 Es gilt:

$$\begin{aligned} |x^T y| &\leq \|x\|_p \|y\|_q, \quad \text{für } \frac{1}{p} + \frac{1}{q} = 1 \text{ (Höldersche Ungleichung)} \\ |x^T y| &\leq \|x\|_2 \|y\|_2 \quad \text{(Cauchy-Schwarz-Ungleichung)} \\ \|x\|_2 &\leq \|x\|_1 \leq \sqrt{n} \|x\|_2 \\ \|x\|_\infty &\leq \|x\|_2 \leq \sqrt{n} \|x\|_\infty \\ \|x\|_\infty &\leq \|x\|_1 \leq n \|x\|_\infty \end{aligned}$$

Eine Abbildung $f : \mathbb{K}^{m,n} \rightarrow \mathbb{R}$ heißt *Matrix Norm*, falls

$$\begin{aligned} f(A) &\geq 0 && \forall A \in \mathbb{K}^{m,n} \text{ (dabei ist } f(A) = 0 \iff A = 0) \\ f(A+B) &\leq f(A) + f(B) && \forall A, B \in \mathbb{K}^{m,n} \\ f(\alpha A) &= |\alpha|f(A) && \forall \alpha \in \mathbb{K}, A \in \mathbb{K}^{m,n} \end{aligned} \tag{7.2}$$

Beispiel 72 Beispiele sind die Frobenius Norm

$$\|A\|_F = \left(\sum_{i=1}^m \sum_{j=1}^n |a_{ij}|^2 \right)^{\frac{1}{2}}, \tag{7.3}$$

dies ist die euklidische Norm auf $\mathbb{K}^{m,n}$, und die Matrix p -Normen

$$\|A\|_p = \sup_{x \neq 0} \frac{\|Ax\|_p}{\|x\|_p} = \sup_{x \neq 0} \left\| A \frac{x}{\|x\|_p} \right\|_p = \max_{\|x\|_p=1} \|Ax\|_p \tag{7.4}$$

Insbesondere gilt

$$\|A\|_1 = \max_{1 \leq j \leq n} \sum_{i=1}^m |a_{ij}|$$

$$\|A\|_\infty = \max_{1 \leq i \leq m} \sum_{j=1}^n |a_{ij}|$$

Die Matrix 2-Norm ist nicht so leicht zu charakterisieren wie $\|\bullet\|_1, \|\bullet\|_\infty$. Es gilt, dass $\|A\|_2^2$ der größte Eigenwert von A^*A ist.

Matrix Normen sind abhängig von der Dimension. $\|\bullet\|_2$ auf $\mathbb{R}^{3,2}$ ist etwas anderes als $\|\bullet\|_2$ auf $\mathbb{R}^{5,6}$.

Eine Matrixnorm heißt *konsistent*, falls $\|AB\| \leq \|A\|\|B\|$. Die p -Normen und die Frobenius-Norm sind konsistent, d.h.,

$$\begin{aligned} \|AB\|_p &\leq \|A\|_p \|B\|_p \\ \|AB\|_F &\leq \|A\|_2 \|B\|_F \leq \|A\|_F \|B\|_F \end{aligned} \quad \forall A \in \mathbb{K}^{m,n}, B \in \mathbb{K}^{n,q} \quad (7.5)$$

Nicht alle Normen erfüllen die Konsistenzbedingung.

Proposition 73 *Es gelten folgende Ungleichungen und Gleichungen*

$$\begin{aligned} \|A\|_2 &\leq \|A\|_F \leq \sqrt{n} \|A\|_2, \\ \max_{i,j} |a_{ij}| &\leq \|A\|_2 \leq \sqrt{mn} \max_{i,j} |a_{ij}|, \\ \frac{1}{\sqrt{n}} \|A\|_\infty &\leq \|A\|_2 \leq \sqrt{m} \|A\|_\infty, \\ \frac{1}{\sqrt{m}} \|A\|_1 &\leq \|A\|_2 \leq \sqrt{n} \|A\|_1. \end{aligned} \quad (7.6)$$

Weiterhin brauchen wir noch *Absolutbeträge für Matrizen*.

Sei $A \in \mathbb{C}^{m,n}$, dann ist $|A| = B$ mit $b_{ij} = |a_{ij}|$. Wir setzen

$$B \leq A, \text{ falls } b_{ij} \leq a_{ij}, \forall i = 1 : m, j = 1 : n.$$

Proposition 74 *Für das Rechnen mit Beträgen gelten folgende Regeln.*

$$|A + B| \leq |A| + |B|,$$

$$\begin{aligned} |AB| &\leq |A| |B|, \\ A \leq B, C, D \geq 0 &\implies CAD \leq CBD, \\ \|A\|_p &\leq \| |A| \|_p, \\ \|A\| &= \| |A| \|, \text{ für } \|\bullet\| = \|\bullet\|_1, \|\bullet\|_\infty, \|\bullet\|_F, \\ |A| \leq |B| &\implies \|A\|_1 \leq \|B\|_1, \|A\|_\infty \leq \|B\|_\infty, \|A\|_F \leq \|B\|_F. \end{aligned}$$

Wir haben gesehen, dass sich beim Speichern oder Runden ergibt, dass

$$[gl(A)]_{ij} = [gl(a_{ij})] = [a_{ij}(1 + \varepsilon_{ij})] \text{ mit } |\varepsilon_{ij}| \leq \text{eps}.$$

Dann folgt

$$|gl(A) - A| \leq \text{eps} |A|.$$

Dieses kann auch als Normungleichung umgeschrieben werden,

$$\|gl(A) - A\|_1 \leq \text{eps} \|A\|_1.$$

Heute werden vielfach für Fehleranalysen nicht Normabschätzungen sondern elementweise Abschätzungen verwendet.

7.2 Lösung von Dreieckssystemen

Zur Anfang betrachten wir erst einmal Dreiecksmatrizen. Sei nun $L = [l_{ij}] \in \mathbb{K}^{n,n}$ eine invertierbare untere Dreiecksmatrix, d.h. $l_{i,j} = 0$ für $i < j$. Wir betrachten die Lösung von $Lx = b = [b_i]$ mit $b \in \mathbb{K}^n$. Wir erhalten sofort durch Vorwärts-Einsetzen die Lösung

$$x_i = \left(b_i - \sum_{j=1}^{i-1} l_{ij} x_j \right) / l_{ii} \quad i = 1, \dots, n. \quad (7.7)$$

Dieses Verfahren wird durch folgenden Algorithmus realisiert.

Algorithmus 3

Input: $L \in \mathbb{K}^{n,n}$ untere Dreiecks-Matrix, nichtsingulär, $b \in \mathbb{K}^n$.

Output: Lösung von $Lx = b$, überschrieben auf b .

$b(1) = b(1)/L(1,1);$

FOR $i = 2 : n$

$b(i) = (b(i) - L(i, 1 : i-1) * b(1 : i-1))/L(i, i);$

END

Dieser Algorithmus benötigt $n - 1$ flops.

Wir betrachten nun die Multiplikation mit einer Gauß-Transformation

$$M_k C = (I - t^{(k)} e_k^T) C = C - t^{(k)} (e_k^T C). \quad (7.13)$$

Da $t(1 : k) = 0$ wird nur $C(k + 1 : n, :)$ verändert. Die Multiplikation wird durch folgenden Algorithmus realisiert.

Algorithmus 6

Input: $C \in \mathbb{K}^{n,r}$, $M \in \mathbb{K}^{n,n}$ Gauß-Transformation mit $M(2 : n, 1) = -t$.

Output: C überschrieben mit MC .

```

FUNCTION      C = GAUSSAPP(C, t)
              n = size(C, 1);
              C(2 : n, :) = C(2 : n, :) - t * C(1, :);
END GAUSSAPP

```

Dieser Algorithmus benötigt $2(n - 1)r$ flops.

Die Fehleranalyse für Algorithmus 6 liefert für den berechneten Wert \tilde{t} für t aus *GAUSS*, dass

$$\tilde{t} = t + e, \text{ wobei } |e| \leq \text{eps } |t|. \quad (7.14)$$

Damit erhält man für das Ergebnis von *GAUSSAPP*

$$gl((I - \tilde{t} e_1^T) C) = (I - t e_1^T) C + E, \quad (7.15)$$

wobei

$$|E| \leq 3 \text{ eps } (|C| + |t| |C(1, :)|) + \mathcal{O}(\text{eps}^2) \quad (7.16)$$

Falls $|t|$ groß ist, dann werden die Fehler in der Aufdatierung sehr groß gegenüber $|C|$.

Die Transformation auf Dreiecksgestalt erfolgt nun durch mehrfache Anwendung von *GAUSSAPP*.

Im k -ten Schritt erhalten wir (falls alles glatt geht)

$$A^{(k-1)} := M_{k-1} \cdots M_2 M_1 A = \begin{bmatrix} a_{11}^{(k-1)} & \cdots & a_{1,k-1}^{(k-1)} & \cdots & \cdots & a_{1,n}^{(k-1)} \\ 0 & \ddots & & & & \vdots \\ \vdots & \ddots & a_{k-1,k-1}^{(k-1)} & \cdots & \cdots & a_{k-1,n}^{(k-1)} \\ \vdots & & 0 & a_{kk}^{(k-1)} & & a_{k,n}^{(k-1)} \\ \vdots & & \vdots & \vdots & & \vdots \\ 0 & \cdots & 0 & a_{n,k}^{(k-1)} & \cdots & a_{nn}^{(k-1)} \end{bmatrix}. \quad (7.17)$$

Wir fahren dann fort auf dem noch nicht reduzierten unteren Block. Die vollständige Dreiecksreduktion wird dann durch die folgende Schleife erzielt.

```

n = size(A, 1);
k = 1;
WHILE A(k, k) ≠ 0 AND k < n
  t = GAUSS(A(k : n, k));
  A(k : n, :) = GAUSSAPP(A(k : n, :), t);
  k = k + 1;
END

```

(7.18)

Die Elemente $A(k, k)$, die während des Algorithmus auf '0' überprüft werden müssen, heißen *Pivots*. Ihre relative Größe ist entscheidend für die Fehleranalyse.

Matrizentheoretisch formuliert gilt, dass wenn die Schleife 7.18 mit $k = n$ endet, so ist

$$M_{n-1} \cdots M_1 A =: R$$

mit R obere Dreiecks-Matrix.

Für jedes $M_k = I - t^{(k)} e_k^T$ gilt $M_k^{-1} = I + t^{(k)} e_k^T$, und damit gilt

$$A = M_1^{-1} \cdots M_{n-1}^{-1} R =: L \cdot R.$$

Alle M_k sind untere Dreiecks-Matrizen mit 1-Diagonale also auch L .

Theorem 75 (Existenz und Eindeutigkeit der LR-Zerlegung)

Eine Matrix $A \in \mathbb{K}^{n,n}$ hat eine LR-Zerlegung genau dann, wenn

$$\det(A(1:k, 1:k)) \neq 0 \quad \text{für } k = 1 : n-1. \quad (7.19)$$

Falls die LR-Zerlegung existiert und A nichtsingulär ist, so ist die LR-Zerlegung eindeutig und $\det A = r_{11} \cdots r_{nn}$.

Beweis. Falls A eine LR-Zerlegung

$$A = \begin{bmatrix} 1 & & & \\ l_{21} & \ddots & & \\ \vdots & \ddots & \ddots & \\ l_{n1} & \cdots & l_{n,n+1} & 1 \end{bmatrix} \begin{bmatrix} r_{11} & \cdots & \cdots & r_{1n} \\ & \ddots & & \vdots \\ & & \ddots & \vdots \\ & & & r_{n,n} \end{bmatrix}$$

besitzt, so gilt $r_{ii} \neq 0$ für $i = 1 : n-1$, da die r_{ii} die Pivots sind.

$$\det(A(1:k, 1:k)) = \det(L(1:k, 1:k)) \cdot \det(R(1:k, 1:k)) = 1 \cdot \prod_{i=1}^k r_{ii} \neq 0.$$

Die Rückrichtung beweisen wir mit Induktion über k . Der Fall $k = 1$ ist klar. Angenommen $k-1$ Schritte sind ausgeführt, $A^{(k-1)} = M_{k-1} \cdots M_1 A$ und $a_{k,k}^{(k-1)}$ ist das k -te Pivot. Dann ist

$$\begin{aligned} \underbrace{M_{k-1} \cdots M_1}_M A &= \left[\begin{array}{ccc|ccc} 1 & & & & & \\ * & \ddots & & & & \\ \vdots & \ddots & 1 & & & \\ \vdots & & * & 1 & & \\ \vdots & & \vdots & & \ddots & \\ * & \cdots & * & & & 1 \end{array} \right] A = A^{(k-1)} \\ &= \left[\begin{array}{ccc|ccc} a_{11}^{(k-1)} & \cdots & \cdots & \cdots & \cdots & * \\ & \ddots & & & & \vdots \\ & & a_{k-1,k-1}^{(k-1)} & \cdots & \cdots & * \\ \hline & & & a_{kk}^{(k-1)} & \cdots & * \\ & & & \vdots & & \vdots \\ & & & * & \cdots & * \end{array} \right]. \end{aligned}$$

Es folgt, dass

$$\begin{aligned} \det(A^{(k-1)}(1:k, 1:k)) &= \prod_{i=1}^k a_{ii}^{(k-1)} \\ &= \underbrace{\det(M^{(k-1)}(1:k, 1:k))}_{=1} \cdot \det(A(1:k, 1:k)). \end{aligned}$$

Also folgt aus $\det(A(1:k, 1:k)) \neq 0$, dass $a_{k,k}^{(k-1)} \neq 0$ ist.

Zur Eindeutigkeit: Seien $A = L_1 R_1 = L_2 R_2$ zwei LR-Zerlegungen der nichtsingulären Matrix A . Dann sind L_i, R_i $i = 1, 2$ auch nichtsingulär. Also folgt

$$L_2^{-1} L_1 = R_2 R_1^{-1}$$

ist gleichzeitig untere Dreiecks-Matrix mit Einsdiagonale und obere Dreiecks-Matrix und damit die Einheitsmatrix. Also $L_1 = L_2, R_1 = R_2$ und

$$\det A = \det L \cdot \det R = 1 \cdot \det R = r_{11} \cdots r_{nn}.$$

□

Die LR-Zerlegung läßt sich auch über anderen Körpern (Ringern) durchführen.

Einige praktische Details.

- Die Gauß-Transformation braucht nur auf Spalten $k : n$ angewendet werden, und selbst bei Spalte k kennen wir das Ergebnis. Also haben wir die folgende Änderung der Schleife

$$A(k:n, k+1:n) = \text{GAUSSAPP}(A(k:n, k+1:n), t);$$

- Die Multiplikatoren, d.h. die wichtigen Elemente von t_k können auf den entstandenen Nullen von A gespeichert werden.

Damit erhält man folgenden Algorithmus für die LR-Zerlegung.

Algorithmus 7 (Gauß-Elimination)

Input: $A \in \mathbb{K}^{n,n}$ mit $A(1:k, 1:k)$ nichtsingulär für $k = 1 : n - 1$.

Output: Faktorisierung $M_{n-1} \cdots M_1 A = R$, mit R obere Dreiecks-Matrix und M_i Gauß-Transformationen, R wird im oberen Dreieck von A und die Multiplikatoren aus M_k in $A(k+1:n, k)$ gespeichert, d.h. $A(k+1:n, k) = -M_k(k+1:n, k)$.

FOR $k = 1 : n - 1$

$t = \text{GAUSS}(A(k:n, k));$

$A(k+1:n, k) = t;$

$A(k:n, k+1:n) = \text{GAUSSAPP}(A(k:n, k+1:n), t);$

END

Die Kosten für den Algorithmus betragen $\frac{2n^3}{3}$ flops, jeder Durchgang durch die k -Schleife ist ein äußeres Produkt.

Wir haben gesehen, daß wir die Multiplikatoren aus $t^{(k)}$ in A speichern können. Wie erhalten wir nun L (falls wir es benötigen)?

$$\begin{aligned} L &= (M_{n-1} \cdots M_1)^{-1} = M_1^{-1} \cdots M_{n-1}^{-1} \\ &= (I + t^{(1)} e_1^T) \cdots (I + t^{(n-1)} e_{n-1}^T) = I + \sum_{k=1}^{n-1} t^{(k)} e_k^T. \end{aligned}$$

Also folgt $L(k+1:n, k) = t^{(k)}$.

Die Lösung eines linearen Gleichungssystems folgt nun basierend auf der LR-Zerlegung wie oben beschrieben.

Im wesentlichen enthält Algorithmus 7 drei Schleifen die ineinandergeschachtelt sind. Je nach Rechnerarchitektur ist es besser eine andere als die beschriebene Anordnung zu verwenden. Siehe das Buch von Golub/Van Loan: 'Matrix Computations'.

7.4 Fehleranalyse der Gauß-Elimination

Da die Lösung von Gleichungssystemen so wichtig ist, wollen wir hier exemplarisch einmal die volle Rückwärts-Analyse betrachten. Um eine Idee zu bekommen was passiert betrachten wir das parametrisierte System

$$(A + \varepsilon F)x(\varepsilon) = b + \varepsilon f, \quad x(0) = x, \quad F \in \mathbb{K}^{n,n}, f \in \mathbb{K}^n.$$

Falls A nichtsingulär ist, so ist $x(\varepsilon)$ differenzierbar in einer Umgebung von 0 und es gilt:

$$\dot{x}(0) = A^{-1}(f - Fx).$$

Eine Taylorentwicklung liefert

$$x(\varepsilon) = x + \varepsilon \dot{x}(0) + \mathcal{O}(\varepsilon^2).$$

Also folgt für jede Vektornorm und zugehörige konsistente Matrixnorm, dass

$$\frac{\|x(\varepsilon) - x\|}{\|x\|} \leq |\varepsilon| \|A^{-1}\| \left\{ \frac{\|f\|}{\|x\|} + \|F\| \right\} + \mathcal{O}(\varepsilon^2). \quad (7.20)$$

Für quadratische Matrizen definieren wir dann die *Konditionszahl* einer Matrix als

$$\kappa_{\|\bullet\|}(A) := \|A\| \|A^{-1}\|, \quad (7.21)$$

diese ist abhängig von der Norm, und wir setzen $\kappa(A) = \infty$ für A singulär. Mit der Konsistenzungleichung $\|b\| \leq \|A\| \|x\|$ folgt dann für den relativen Fehler

$$\frac{\|x(\varepsilon) - x\|}{\|x\|} \leq \kappa(A) (\rho_A + \rho_b) + \mathcal{O}(\varepsilon^2), \quad (7.22)$$

wobei

$$\rho_A = \varepsilon \frac{\|F\|}{\|A\|}, \quad \rho_b = \varepsilon \frac{\|f\|}{\|b\|}$$

die relativen Fehler in A, b sind. Damit ist $\kappa(A)$ der Verstärkungsfaktor für die relativen Fehler in den Daten.

Die Abschätzung (7.22) ist noch unbefriedigend, da sie auf „ ε klein“ beruht, eine genauere Analyse erhält durch komponentenweise Abschätzung. Wir erhalten:

Für schlecht konditionierte Probleme kann also auch ein guter Algorithmus schlechte Ergebnisse liefern.

Wir betrachten nun konkret das Gauß-Verfahren in der Form von Algorithmus 7.

Theorem 76 Sei A eine $n \times n$ Matrix von Maschinenzahlen. Falls kein 0-Pivot während der Ausführung von Algorithmus 7 auftritt, dann erfüllen die berechneten Faktoren \tilde{L}, \tilde{R}

$$\tilde{L}\tilde{R} = A + H \quad (7.23)$$

mit

$$|H| \leq 3(n-1) \text{eps} (|A| + |\tilde{L}||\tilde{R}|) + \mathcal{O}(\text{eps}^2) \quad (7.24)$$

Damit haben wir eine Analyse über die LR-Zerlegung, jetzt müssen wir noch analysieren, was die Dreiecks-Löser machen.

Theorem 77 Seien \tilde{L}, \tilde{R} die berechneten LR-Faktoren aus Algorithmus 7. Bei Verwendung von Algorithmus 3 bzw. 4 zur Lösung von $\tilde{L}y = b$ und $\tilde{R}x = \tilde{y}$ ergibt sich $(A + E)\tilde{x} = b$ mit

$$|E| \leq n \text{eps} (3|A| + 5|\tilde{L}||\tilde{R}|) + \mathcal{O}(\text{eps}^2). \quad (7.25)$$

Wäre nicht der Term $|\tilde{L}||\tilde{R}|$ in der Abschätzung, welcher groß sein kann, so wäre der Algorithmus rückwärts stabil. Da wir jedoch nichts gegen kleine Pivots machen können, falls diese auftauchen, kann $|\tilde{L}|, |\tilde{R}|$ sehr groß werden, und der Algorithmus ist damit **NICHT** rückwärts stabil.

7.5 Partielle Pivotisierung (Spaltenpivotisierung)

Um zu vermeiden, dass 0-Pivots oder sehr kleine Pivots auftauchen, wird jeweils in der momentanen Spalte, das betragsmäßig maximale Element gesucht und durch eine Zeilenvertauschung (Multiplikation mit Permutationsmatrizen P_k) in die Diagonalposition gebracht.

Diese Vorgehensweise heißt *Spaltenpivotisierung* oder *partielle Pivotisierung* und garantiert, dass alle Multiplikatoren vom Betrag kleiner oder gleich 1 sind. Es gilt

$$|(P_k M_{k-1} \cdots M_1 P_1 A)_{kk}| = \max_{k \leq i \leq n} |(P_k M_{k-1} \cdots M_1 P_1 A)_{ik}|, \quad k = 1 : n-1.$$

Falls das Pivot 0 ist, so kann man einfach den Schritt der Elimination weglassen, da dann alle zu eliminierenden Elemente in dieser Spalte auch 0 sind.

Man erhält dann den folgenden Algorithmus.

Algorithmus 8 (Gauß-Elim. mit partieller Pivotisierung)

Input: $A \in \mathbb{K}^{n,n}$.

Output: Gauß-Transformationen M_1, \dots, M_{k-1} und Permutationen P_1, \dots, P_{n-1} , so dass $M_{n-1}P_{n-1} \cdots M_1 P_1 A = R$ obere Dreiecks-Matrix.

Keiner der Multiplikatoren hat Betrag > 1 . $A(k+1 : n, k)$ wird durch $-M_k(k+1 : n, k)$, $k = 1 : n-1$ überschrieben, $A(1 : k, k)$ wird durch $R(1 : k, k)$, $k = 1 : n$ überschrieben. Im Pivotvektor $piv(1 : n-1)$ werden die Vertauschungen gespeichert. P_k vertauscht die Zeilen k und $piv(k)$, $k = 1 : n-1$.

FOR $k = 1 : n-1$

Bestimme μ ($k \leq \mu \leq n$) mit $|A(\mu, k)| = \|A(k : n, k)\|_\infty$

$A(k, k : n) \longleftrightarrow A(\mu, k : n)$

$piv(k) = \mu$;

IF $A(k, k) \neq 0$

$t = GAUSS(A(k : n, k))$;

$A(k+1 : n, k) = t$;

$A(k : n, k+1 : n) = GAUSSAPP(A(k : n, k+1 : n), t)$;

END

END

Die Kosten für diesen Algorithmus sind $\mathcal{O}(n^2)$ Vergleiche und $\frac{2n^3}{3}$ flops.

Die Lösung des linearen Gleichungssystem $Ax = b$ erhält man also durch

$$y = M_{n-1}P_{n-1} \cdots M_1 P_1 b$$

und danach der Lösung von $Rx = y$. Sämtliche Informationen werden in A, b und piv gespeichert.

Beispiel 78

$$\begin{aligned}
A &= \begin{bmatrix} 3 & 17 & 10 \\ 2 & 4 & -2 \\ 6 & 18 & -12 \end{bmatrix} \\
P_1 &= \begin{bmatrix} 0 & 0 & 1 \\ 0 & 1 & 0 \\ 1 & 0 & 0 \end{bmatrix} \\
P_1 A &= \begin{bmatrix} 6 & 18 & -12 \\ 2 & 4 & -2 \\ 3 & 17 & 10 \end{bmatrix} \quad piv(1) = 3 \\
M_1 &= \begin{bmatrix} 1 & 0 & 0 \\ -\frac{1}{3} & 1 & 0 \\ -\frac{1}{2} & 0 & 1 \end{bmatrix} \quad M_1 P_1 A = \begin{bmatrix} 6 & 18 & -12 \\ 0 & -2 & 2 \\ 0 & 8 & 16 \end{bmatrix} \\
P_2 &= \begin{bmatrix} 1 & 0 & 0 \\ 0 & 0 & 1 \\ 0 & 1 & 0 \end{bmatrix} \quad piv(2) = 3 \\
M_2 &= \begin{bmatrix} 1 & 0 & 0 \\ 0 & 1 & 0 \\ 0 & \frac{1}{4} & 1 \end{bmatrix} \quad R = \begin{bmatrix} 6 & 18 & -12 \\ 0 & 8 & 16 \\ 0 & 0 & 6 \end{bmatrix}
\end{aligned}$$

Was passiert mit L ?

Theorem 79 Man verwende Gauß-Elimination mit partieller Pivotisierung zur Berechnung von

$$M_{n-1} P_{n-1} \cdots M_1 P_1 A = R \quad (7.26)$$

mit Algorithmus 8. Dann gilt

$$PA = LR,$$

mit $P = P_{n-1} \cdots P_1$ (Permutationsmatrix), L untere Dreiecks-Matrix mit 1-Diagonale, $|l_{ij}| \leq 1$. Die k -te Spalte von L ist unterhalb der Diagonalen eine permutierte Version des k -ten Gauß-Vektors. Speziell für $M_k = I - t^{(k)} e_k^T$ gilt

$$L(k+1:n, k) = g(k+1:n), \quad g = P_{n-1} \cdots P_{k+1} t^{(k)}.$$

Beweis. Aus (7.26) folgt

$$\tilde{M}_{n-1} \cdots \tilde{M}_1 P A = R \quad \text{mit}$$

$$\begin{aligned}
\tilde{M}_{n-1} &= M_{n-1}, \\
\tilde{M}_k &= P_{n-1} \cdots P_{k+1} M_k P_{k+1} \cdots P_{n-1}, \quad k \leq n-2.
\end{aligned}$$

Da P_j nur Zeilen j und $\mu \geq j$ vertauscht, so folgt $P_j(1:j-1, 1:j-1) = I_{j-1}$. Also ist \tilde{M}_k eine Gauß-Transformation mit Gauß-Vektor $\tilde{t}^{(k)} = P_{n-1} \cdots P_{k+1} t^{(k)}$. \square

Durch die einfache Ersetzung der Zeile

$$A(k, k:n) \longleftrightarrow A(\mu, k:n)$$

durch

$$A(k, 1:n) \longleftrightarrow A(\mu, 1:n)$$

in Algorithmus 8 gilt dann wieder, dass $A(i, j)$ die Werte $L(i, j)$ für $i > j$ nach Ende des Algorithmus enthält.

Die Fehleranalyse liefert das folgende: Da Permutationen rundungsfehlerfrei durchgeführt werden können, kann man analog zeigen, daß die berechnete Lösung \tilde{x} die Gleichung $(A + E)\tilde{x} = b$ erfüllt mit

$$|E| \leq n \text{ eps} \left(3|A| + 5\tilde{P}^T |\tilde{L}| |\tilde{R}| \right) + \mathcal{O}(\text{eps}^2), \quad (7.27)$$

wobei $\tilde{P}, \tilde{L}, \tilde{R}$ die berechneten P, L, R sind.

Durch die Pivotisierung folgt

$$\|\tilde{L}\|_\infty \leq n,$$

und damit

$$\|E\|_\infty \leq n \text{ eps} \left(3\|A\|_\infty + 5n\|\tilde{R}\|_\infty \right) + \mathcal{O}(\text{eps}^2).$$

Als letztes Problem bleibt die Bestimmung einer Schranke für $\|\tilde{R}\|_\infty$.

Definiere den Wachstumsfaktor ρ durch

$$\rho = \max_{i,j,k} \frac{|\tilde{a}_{ij}^{(k)}|}{\|A\|_\infty}, \quad (7.28)$$

wobei $\tilde{A}^{(k)}$ die berechnete Version von $A^{(k)}$ ist. Dann folgt

$$\|E\|_\infty \leq 8n^3 \rho \|A\|_\infty \text{eps} + \mathcal{O}(\text{eps}^2). \quad (7.29)$$

Die Fehlerschranke hängt also wesentlich von ρ ab, der Faktor n^3 ist i.a. in der Praxis vernachlässigbar, da er nicht auftritt. Der Faktor ρ ist typisch von der Ordnung 10, kann aber im schlimmsten Fall 2^{n-1} sein.

Im allgemeinen ist der Gauß-Algorithmus mit partieller Pivotisierung sehr zuverlässig und kann relativ sorglos verwendet werden.

7.6 Vollständige Pivotisierung

Um den Wachstumsfaktor zu verkleinern gibt es eine Variante, in der das Pivot aus der gesamten Matrix $A^{(k-1)}(k : n, k : n)$ ausgewählt wird, d.h. wir bestimmen eine Zerlegung

$$M_{n-1}P_{n-1} \cdots M_1P_1AQ_1 \cdots Q_{n-1} = R$$

mit Permutationsmatrizen P_i, Q_i , die so bestimmt werden, daß

$$\left| (P_k A^{(k-1)} Q_k)_{kk} \right| = \max_{k \leq i, j \leq n} \left| (P_k A^{(k-1)} Q_k)_{ij} \right|.$$

Theorem 80 Bei Verwendung von Gauß-Elimination mit vollständiger Pivotisierung zur Berechnung von

$$M_{n-1}P_{n-1} \cdots M_1P_1AQ_1 \cdots Q_{n-1} = R \quad (7.30)$$

gilt

$$PAQ = LR$$

mit $P = P_{n-1} \cdots P_1$, $Q = Q_1 \cdots Q_{n-1}$ und L ist untere Dreiecks-Matrix mit 1-Diagonale und $|l_{ij}| \leq 1$. Für $M_k = I - t^{(k)} e_k^T$ gilt

$$L(k+1 : n, k) = g(k+1 : n) \text{ mit } g = P_{n-1} \cdots P_{k+1} t^{(k)}.$$

Algorithmus 9 (Gauß-Elim. mit vollständiger Pivotisierung)

Input: $A \in \mathbb{K}^{n,n}$.

Output: LR-Zerlegung von PAQ mit P, Q Produkte von elementaren Permutationsmatrizen, $A(1 : k, k)$ wird durch $R(1 : k, k)$, $k = 1 : n$ und $A(k+1 : n, k)$ durch $L(k+1 : n, k)$, $k = 1 : n-1$ überschrieben. P_k vertauscht Zeilen k und $p(k)$, Q_k vertauscht Spalten k und $q(k)$.

FOR $k = 1 : n - 1$

Bestimme μ, λ , so daß $|A(\mu, \lambda)| = \max \{|A(i, j)| : i, j = k : n\}$

$A(k, 1 : n) \longleftrightarrow A(\mu, 1 : n)$

$A(1 : n, k) \longleftrightarrow A(1 : n, \lambda)$

$p(k) = \mu;$

$q(k) = \lambda;$

IF $A(k, k) \neq 0$

$t = \text{GAUSS}(A(k : n, k));$

$A(k+1 : n, k) = t;$

$A(k : n, k+1 : n) = \text{GAUSSAPP}(A(k : n, k+1 : n), t);$

END

END

Die Kosten für den Algorithmus sind $\frac{2n^3}{3}$ flops und Vergleiche. Die Kosten für die Vergleiche sind nicht vernachlässigbar.

Bemerkung 81 Man sieht sofort, dass vollständige Pivotisierung LR-Zerlegungen für Matrizen mit $\text{rank } A = r < n$ erlaubt, denn wenn es kein Pivot ungleich 0 mehr gibt so ist auch die Elimination beendet.

In exakter Arithmetik gilt für Algorithmus 9, dass

$$\left| a_{ij}^{(k)} \right| \leq k^{\frac{1}{2}} (2 \cdot 3^{\frac{1}{2}} \cdots k^{\frac{1}{k-1}})^{\frac{1}{2}} \max |a_{ij}|.$$

Die Schranke ist sehr langsam wachsend mit k . Mit der empirischen Tatsache, daß $\rho \approx 10$, kann man aussagen, dass Gauß-Elimination mit vollständiger Pivotisierung rückwärts stabil ist, d.h. die Methode löst exakt

$$(A + E)\hat{x} = b$$

für kleines E . Die Wilkinson'sche Vermutung, dass die Schranke n ist, ist nicht richtig.

7.7 Abschätzung der Genauigkeit

Das *Residuum* r der berechneten Lösung von $Ax = b$ ist der Vektor $r = b - A\tilde{x}$. Ein kleines Residuum bedeutet, dass $A\tilde{x}$ eine gute Näherung von b ist. Wenn man annimmt, dass $(A + E)\tilde{x} = b$, $\|E\|_\infty \approx \text{eps} \|A\|_\infty$, so folgt $\|b - A\tilde{x}\|_\infty \approx \text{eps} \|A\|_\infty \|\tilde{x}\|_\infty$.

Heuristik I Gauß-Elimination erzeugt eine Lösung \tilde{x} mit relativ kleinem Residuum.

Kleine Residuen implizieren hohe Genauigkeit jedoch nur bei kleiner Konditionszahl.

$$\frac{\|\tilde{x} - x\|_\infty}{\|x\|_\infty} \approx \text{eps} \kappa_\infty(A).$$

Heuristik II Falls $\text{eps} \approx 10^{-d}$ und $\kappa_\infty(A) \approx 10^q$, dann erzeugt Gauß-Elimination eine Lösung mit ungefähr $d - q$ korrekten Dezimalstellen.

Beispiel 82

$$\begin{bmatrix} .986 & .579 \\ .409 & .237 \end{bmatrix} \begin{bmatrix} x_1 \\ x_2 \end{bmatrix} = \begin{bmatrix} .235 \\ .107 \end{bmatrix}, \quad \kappa(A)_\infty \approx 700, \quad x = \begin{bmatrix} 2 \\ 3 \end{bmatrix}.$$

eps	\tilde{x}_1	\tilde{x}_2	$\frac{\ \tilde{x} - x\ _\infty}{\ x\ _\infty}$	$\frac{\ b - A\tilde{x}\ _\infty}{\ A\ _\infty \ \tilde{x}\ _\infty}$
10^{-3}	2.11	-3.17	$5 \cdot 10^{-2}$	$2.0 \cdot 10^{-3}$
10^{-4}	1.986	-2.975	$8 \cdot 10^{-3}$	$1.5 \cdot 10^{-4}$
10^{-5}	2.0019	-3.0032	$1 \cdot 10^{-3}$	$2.1 \cdot 10^{-6}$
10^{-6}	2.00025	-3.00094	$3 \cdot 10^{-4}$	$4.2 \cdot 10^{-7}$

Eine weitere Verbesserung ist durch *Skalierung* der Daten zu erreichen. Dies sollte man in der Praxis immer durchführen.

$$Ax = b \iff D_1^{-1}AD_2y = D_1^{-1}b, \quad y = D_2^{-1}x$$

Falls man für D_1, D_2 Diagonalmatrizen aus Maschinenzahlen der Form

$$\text{diag}(P^{r_1}, P^{r_2}, \dots, P^{r_n})$$

nimmt, so kann die Skalierung ohne Rundungsfehler in $\mathcal{O}(n^2)$ flops durchgeführt werden. Dann gilt

$$\frac{\|D_2^{-1}(\tilde{x} - x)\|_\infty}{\|D_2^{-1}x\|_\infty} = \frac{\|\tilde{y} - y\|_\infty}{\|y\|_\infty} \approx \text{eps} \kappa_\infty(D_1^{-1}AD_2). \quad (7.31)$$

Wenn man also $\kappa_\infty(D_1^{-1}AD_2)$ gegen $\kappa_\infty(A)$ verkleinert, erwartet man eine Verbesserung des Resultats. Es gibt zwei gebräuchliche Varianten:

- Zeilen-skalierung: $D_2 = I$, D_1 so, daß alle Zeilen ungefähr gleiche ∞ -Norm haben.
- Zeilen-Spalten-Gleichgewichtung: Wähle D_1, D_2 so, dass alle Zeilen und Spalten ∞ -Norm im Intervall $\left[\frac{1}{p}, 1\right]$ haben (wobei p die Basis der Maschine ist).

Beispiel 83

$$\begin{bmatrix} 10 & 100000 \\ 1 & 1 \end{bmatrix} \begin{bmatrix} x_1 \\ x_2 \end{bmatrix} = \begin{bmatrix} 100000 \\ 2 \end{bmatrix} \iff \begin{bmatrix} 0.0001 & 1 \\ 1 & 1 \end{bmatrix} \begin{bmatrix} x_1 \\ x_2 \end{bmatrix} = \begin{bmatrix} 1 \\ 2 \end{bmatrix}$$

Bei dreistelliger Arithmetik, $p = 10$ ergibt das erste System $\tilde{x} = \begin{bmatrix} 0.00 \\ 1.00 \end{bmatrix}$

und das zweite $\begin{bmatrix} 1.00 \\ 1.00 \end{bmatrix}$. Exakte Lösung $x = \begin{bmatrix} 1.0001\dots \\ 0.9999\dots \end{bmatrix}$.

7.8 Iterative Verbesserung

Angenommen, wir haben $Ax = b$ mittels Gauß-Elimination mit partieller Pivotisierung gelöst, $PA = LR$, und wollen jetzt die Lösungsgenauigkeit verbessern. Wir könnten folgendes ausführen:

$$\begin{cases} r = b - A\tilde{x} & (\text{doppelt genau}), \\ \text{Löse } Ly = Pr, \\ \text{Löse } Rz = y, \\ \text{Setze } x = \tilde{x} + z, \end{cases} \quad (7.32)$$

so folgt bei exakter Rechnung

$$Ax = A\tilde{x} + Az = (b - r) + r = b.$$

Wenn man (7.32) allerdings einfach so ausführt, ist das Ergebnis nicht genauer als \tilde{x} . Dies ist zu erwarten, denn $\tilde{r} = gl(b - A\tilde{x})$ hat im allgemeinen kaum richtige signifikante Stellen (siehe Heuristik I). Also

$$\tilde{z} = gl(A^{-1}r) = A^{-1} \cdot \text{Rauschen} = \text{Rauschen}.$$

Um eine Verbesserung zu erhalten, sollte man daher $r = b - Ax$ mit erhöhter Genauigkeit berechnen (doppelt so viele Stellen wie sonst). Dieser Prozess kann iteriert werden.

Heuristik III Bei Maschinengenauigkeit $\text{eps} = 10^{-d}$ und $\kappa_\infty(A) \approx 10^q$, hat nach k Schritten von (7.32) (mit doppelter Genauigkeit für das Residuum) das berechnete x ungefähr $\min\{d, k(d - q)\}$ korrekte Stellen.

Die Kosten betragen $\mathcal{O}(n^2)$ pro Nachiteratinschritt. Bei Rechnung von $PA = LR$ in einfacher Genauigkeit und $\text{eps} \cdot \kappa_\infty(A) \leq 1$, ist die Lösung korrekt in einfacher Genauigkeit nach einer Iteration. Also haben wir kaum eine Verteuerung und dafür eine Verbesserung der Lösung.

7.9 Der Cholesky-Algorithmus, Bandmatrizen

Ein guter numerischer Algorithmus sollte spezielle Eigenschaften des mathematischen Problems berücksichtigen. Der Gauß-Algorithmus ist auf allgemeine lineare Gleichungssysteme zugeschnitten. Nun sind aber viele der Anwendungsprobleme so, dass die Gleichungssysteme eine spezielle Struktur haben, wie zum Beispiel Symmetrie oder eine Bandstruktur. Wir betrachten nun zuerst symmetrische (Hermite'sche) Systeme

$$Ax = b \text{ mit } A = A^*, \text{ d.h. } a_{ij} = \bar{a}_{ij}, \quad (7.33)$$

und zusätzlich den wichtigen Spezialfall der positiven Definitheit, d.h.

$$x^*Ax > 0, \forall x \in \mathbb{C}^n \setminus \{0\}.$$

Wir untersuchen nun, wie wir den Gauß-Algorithmus verbessern können.

Theorem 84 (Cholesky Zerlegung)

Sei $A \in \mathbb{K}^{n,n}$ ($\mathbb{K} = \mathbb{C}$ oder $\mathbb{K} = \mathbb{R}$), Hermite'sch positiv definit. Dann existiert

eine untere Dreiecks-Matrix $G \in \mathbb{K}^{n,n}$ mit positiven Diagonalelementen, so dass

$$A = GG^*.$$

Beweis. Da A positiv definit ist, sind alle Hauptabschnittsmatrizen

$$A(1:k, 1:k), \quad k = 1, \dots, n$$

positiv definit, haben also Determinante $\neq 0$. Also existiert eine eindeutige LR -Zerlegung $A = LR$ mit L untere Dreiecks-Matrix mit 1-Diagonale, und R hat Diagonalelemente > 0 (gleich den Pivots). Also kann man R schreiben als $D\tilde{R}$, wobei \tilde{R} 1-Diagonale hat. Sei $D = \text{diag}(d_1, \dots, d_n)$. Die Pivots sind gerade die Determinanten der Hauptabschnittsmatrizen, also reell positiv (alle Eigenwerte sind reell, positiv), also ist $d_i > 0, \forall i = 1, \dots, n$. Wir haben $A = LD\tilde{R} = LD^{\frac{1}{2}}D^{\frac{1}{2}}\tilde{R}$. $D^{\frac{1}{2}} = \text{diag}(d_1^{\frac{1}{2}}, \dots, d_n^{\frac{1}{2}})$.

Also folgt

$$D^{-\frac{1}{2}}L^{-1}AL^{-*}D^{-\frac{1}{2}} = D^{\frac{1}{2}}\tilde{R}L^{-*}D^{-\frac{1}{2}}.$$

Links steht eine Hermitesche Matrix, rechts eine obere Dreiecks-Matrix mit 1-Diagonale. Also muß rechts die Einheitsmatrix stehen und es gilt

$$D^{\frac{1}{2}}\tilde{R} = D^{\frac{1}{2}}L^*$$

und damit $\tilde{R} = L^*$. Wir erhalten also $G := LD^{\frac{1}{2}}$. \square

Damit können wir den Gauß-Algorithmus verbessern und erhalten den Cholesky-Algorithmus.

Algorithmus 10 (Cholesky-Zerlegung)

Input: Hermite'sch positiv definite Matrix $A \in \mathbb{K}^{n,n}$.

Output: Untere Dreiecks-Matrix $G \in \mathbb{K}^{n,n}$ mit positiver Diagonale, so daß $A = GG^*$.
Für $i \geq j$ überschreibt $G(i, j)$ jeweils $A(i, j)$.

FOR $k = 1 : n$

$$A(k, k) = \sqrt{A(k, k)};$$

$$A(k+1:n, k) = A(k+1:n, k)/A(k, k);$$

FOR $j = k+1 : n$

$$A(j:n, j) = A(j:n, j) - A(j:n, k) * A(j, k);$$

END

END

Die Kosten für diesen Algorithmus betragen $n^3/3$ flops, und die Fehleranalyse kann analog wie bei der LR-Zerlegung durchgeführt werden.

Die Lösung des Gleichungssystems erhält man dann wie bei Gauß mit Vorwärts- und Rückwärtseinsetzen.

Um bessere Stabilität zu erhalten sollten man auch hier wieder pivotieren, es ist aber auch wichtig die Symmetrie zu erhalten. Dies erfordert dann symmetrische Permutationen PAP^* verwenden, die die Diagonalelemente vertauschen. Damit können dann auch positiv semidefinite Matrizen zerlegt werden.

7.10 Bandsysteme

Eine weitere häufig vorkommende spezielle Struktur ist die Bandstruktur. Eine Matrix heißt $p - q$ Bandmatrix mit unterer Bandbreite p und oberer Bandbreite q , falls $a_{ij} = 0$ für $i > j + p$ und $j > i + q$.

Beispiel 85

$$A = \begin{bmatrix} * & * & * & * & 0 & 0 \\ * & * & * & * & * & 0 \\ 0 & * & * & * & * & * \\ 0 & 0 & * & * & * & * \\ 0 & 0 & 0 & * & * & * \\ 0 & 0 & 0 & 0 & 0 & 0 \end{bmatrix} \quad \begin{array}{l} \text{untere Bandbreite } 1 \\ \text{obere Bandbreite } 2 \\ \text{1-2 Bandmatrix.} \end{array}$$

Theorem 86 Die Matrix $A \in \mathbb{K}^{n,n}$ habe eine LR-Zerlegung $A = LR$. Falls A eine $p - q$ -Bandmatrix ist, so hat L untere Bandbreite p und R obere Bandbreite q .

Beweis. Mit vollständiger Induktion:

$$A = \begin{bmatrix} \alpha & w^* \\ v & B \end{bmatrix} = \begin{bmatrix} 1 & 0 \\ v/\alpha & I_{n-1} \end{bmatrix} \begin{bmatrix} 1 & 0 \\ 0 & B - vw^*/\alpha \end{bmatrix} \begin{bmatrix} \alpha & w^* \\ 0 & I_{n-1} \end{bmatrix}$$

Die matrix $B - vw^*/\alpha$ ist $p - q$ Bandmatrix, da nur die ersten q Komponenten von w und die ersten p Komponenten von v ungleich 0 sind. Sei $L_1 R_1$ die LR-Zerlegung von $B - vw^*/\alpha$. Nach Induktionsvoraussetzung und unter Ausnutzung der Nullen in v, w folgt dass

$$L = \begin{bmatrix} 1 & 0 \\ v/\alpha & L_1 \end{bmatrix} \quad \text{und} \quad R = \begin{bmatrix} \alpha & w^* \\ 0 & R_1 \end{bmatrix}$$

die gewünschten Bandbreiten haben und es gilt $A = LR$. \square

Es folgt also, dass man die Bandstruktur optimal ausnutzen kann vorausgesetzt, die LR-Zerlegung existiert, und man muss keine Vertauschungen durchführen.

Algorithmus 11 (Band Gauß-Elimination)

Input: $p - q$ -Bandmatrix $A \in \mathbb{K}^{n,n}$ welche eine LR-Zerlegung besitzt.
Output: Zerlegung $A = LR$, $A(i, j)$ überschrieben durch $L(i, j)$ für $i > j$ und $R(i, j)$ sonst.
 FOR $k = 1 : n - 1$
 FOR $i = k + 1 : \min(k + p, n)$
 $A(i, k) = A(i, k) / A(k, k);$
 END
 FOR $j = k + 1 : \min(k + q, n)$
 FOR $i = k + 1 : \min(k + p, n)$
 $A(i, j) = A(i, j) - A(i, k) * A(k, j);$
 END
 END
 END

Die Kosten für diesen Algorithmus betragen für $n \gg p, q$ ca. $2npq$ flops und die Fehleranalyse ist analog zur LR-Zerlegung ohne Pivotisierung. Man kann auch noch spezielle Speichertechniken nutzen und auch die Dreieckslöser verbessern.

Algorithmus 12 (Band-Vorwärts-Auflösen)

Input: $L \in \mathbb{K}^{n,n}$ untere Dreiecks-Matrix mit 1-Diagonale und Bandbreite p , $b \in \mathbb{K}^n$.
Output: b überschrieben mit der Lösung von $Lx = b$.
 FOR $j = 1 : n$
 FOR $i = j + 1 : \min(j + p, n)$
 $b(i) = b(i) - L(i, j) * b(j);$
 END
 END

Die Kosten betragen für $n \gg p$ ca. $2np$ flops.

Algorithmus 13 (Band-Rückwärts-Auflösen)

Input: $R \in \mathbb{K}^{n,n}$ obere Dreiecks-Matrix mit oberer Bandbreite $q, b \in \mathbb{K}^n$.

Output: b überschrieben mit der Lösung von $Rx = b$.

```

FOR   j = n : -1 : 1
      b(j) = b(j)/u(j,j);
FOR   i = max(1, j - q) : j - 1
      b(i) = b(i) - L(i, j) * b(j);
END
END

```

7.11 Householder-Orthogonalisierung

Wir haben bei der Fehleranalyse von Gauß gesehen, dass die Größe $|\tilde{L}|, |\tilde{R}|$ der berechneten Matrizen \tilde{L}, \tilde{R} in die Abschätzung des Fehlers eingeht. Nun kann natürlich $|\tilde{L}|$ sehr groß sein, wenn wir ohne Pivotisierung arbeiten. Außerdem haben wir gesehen, daß die Lösung von Gleichungssystemen mit Gauß auch bei Pivotisierung nicht numerisch rückwärts stabil ist, wegen der Wachstumsfaktoren. In diesem Kapitel betrachten wir nun Methoden, die auf Zerlegungen mit orthogonalen (unitären) Matrizen beruhen und bei denen wir numerische Stabilität zeigen können. Diese Zerlegungen werden dann auch verwendet, um überbestimmte Systeme zu lösen.

Sei $v \in \mathbb{R}^n \setminus \{0\}$. Eine $n \times n$ Matrix der Form

$$P = I - \frac{2vv^T}{v^T v} \quad (7.34)$$

heißt *Householder Matrix*.

Eine Multiplikation mit P spiegelt einen Vektor x an der Hyperebene $\text{span}(v)^\perp$. Householder Matrizen sind symmetrisch und orthogonal. Sie sind Rang 1 Modifikationen der Identität. Sie werden verwendet, um bestimmte Komponenten eines Vektors zu eliminieren, analog wie bei Gauß-Transformationen. Wir werden hier jetzt nur den reellen Fall betrachten, im komplexen werden die Formeln etwas komplizierter.

Angenommen $x \in \mathbb{R}^n \setminus \{0\}$ und wir wollen v bestimmen, so dass $Px = \alpha e_1$ (P wie in (7.34)), d.h.

$$Px = \left(I - \frac{2vv^T}{v^T v} \right) x = x - \left(\frac{2v^T x}{v^T v} \right) v$$

Da wir wollen, dass $Px \in \text{span}\{e_1\}$ so folgt dass $v \in \text{span}\{x, e_1\}$. Setze $v = x + \alpha e_1$, dann gilt

$$v^T x = x^T x + \alpha x_1, v^T v = x^T x + 2\alpha x_1 + \alpha^2.$$

Also folgt, dass

$$Px = \left(1 - 2 \frac{x^T x + \alpha x_1}{x^T x + 2\alpha x_1 + \alpha^2} \right) x - 2\alpha \frac{v^T x}{v^T v} e_1$$

Wir wählen α so, dass der Koeffizient vor x die 0 ist, d.h. $\alpha = \pm \|x\|_2 = \pm (x^T x)^{\frac{1}{2}}$. Dann gilt $v = x \pm \|x\|_2 e_1$ und damit

$$Px = \left(I - 2 \frac{vv^T}{v^T v} \right) x = \pm \|x\|_2 e_1.$$

Wir haben dabei aber noch die Möglichkeiten das Vorzeichen zu wählen.

Falls $x \approx \alpha e_1$, dann hat $v = x - \alpha e_1$ eine sehr kleine Norm und es kann Auslöschung auftreten und damit ein großer relativer Fehler in $\beta = 2/v^T v$. Wähle daher immer $v = x + \text{sign}(x_1) \|x\|_2 e_1$. Dann gilt $\|v\|_2 \geq \|x\|_2$ und P ist fast perfekt orthogonal.

Weiterhin normalisiert man v so, dass auf $v(1) = 1$. Dies vereinfacht eine ganze Menge von Algorithmen, die auf Householder-Vektoren beruhen.

Algorithmus 14 (Erzeugung des Householder Vektors)

Input: $x \in \mathbb{R}^n$.

Output: $v \in \mathbb{R}^n$ mit $v(1) = 1$, so daß $\left(I - \frac{2vv^T}{v^T v} \right) x = \alpha e_1$.

```

FUNCTION   v = HOUSE(x)
           n = LENGTH(x);
           μ = ||x||2;
           v = x;
           IF   μ ≠ 0
               β = x(1) + sign(x(1)) * μ;
               v(2 : n) = v(2 : n) / β;
           END
           v(1) = 1;
END HOUSE

```

Die Kosten betragen ca. $3n$ flops und das berechnete \tilde{P} erfüllt $\|\tilde{P} - P\|_2 = \mathcal{O}(\text{eps})$. Bei der Multiplikation mit Householder-Matrizen kann an einigen Stellen die Struktur ausgenutzt werden.

$$PA = \left(I - \frac{2vv^T}{v^T v} \right) A = A + vw^T$$

mit $w = \beta A^T v$ und $\beta = \frac{-2}{v^T v}$. Dies ist eine Matrix-Vektor-Multiplikation und eine äußere-Produkt Aufdatierung.

Algorithmus 15 (Vormultiplikation mit Householder-Matrix)

Input: $A \in \mathbb{R}^{n,n}$, $v \in \mathbb{R}^n$, $v(1) = 1$.

Output: A überschrieben mit $PA = \left(I - \frac{2vv^T}{v^T v} \right) A$.

FUNCTION $A = \text{ROWHOUSE}(A, v)$
 $\beta = -2/v^T * v;$
 $w = \beta * A^T * v;$
 $A = A + v * w^T;$

END ROWHOUSE

Die Kosten betragen $4mn$ flops und für den Fehler gilt, dass $gl(\tilde{P}A) = P(A + E)$, $\|E\|_2 = \mathcal{O}(\text{eps}\|A\|_2)$.

Algorithmus 16 (Nachmultiplikation mit Householder-Matrix)

Input: $A \in \mathbb{R}^{n,n}$, $v \in \mathbb{R}^n$, $v(1) = 1$.

Output: A überschrieben mit $AP = A \left(I - \frac{2vv^T}{v^T v} \right)$.

FUNCTION $A = \text{COLHOUSE}(A, v)$
 $\beta = -2/v^T * v;$
 $w = \beta * A * v;$
 $A = A + w * v^T;$

END COLHOUSE

Die Kosten betragen $4mn$ flops und für den Fehler gilt $gl(A\tilde{P}) = (A + E)P$, $\|E\|_2 = \mathcal{O}(\text{eps}\|A\|_2)$.

Diese 3 Algorithmen werden verwendet um bestimmte Teile einer Matrix zu eliminieren.

Beispiel 87 Überschreibe $A \in \mathbb{R}^{n,n}$ ($m \geq n$) mit $B = Q^T A$ wobei Q orthogonal, so dass $B(j+1 : m, j) = 0$ für ein j mit $1 \leq j \leq n$. Sei weiter

angenommen, dass $A(j : m, 1 : j-1) = 0$. Wir wollen den nichttrivialen Teil von v in $A(j+1 : m, j)$ speichern.

$$\begin{aligned} v(j : m) &= \text{HOUSE}(A(j : m, j)); \\ A(j : m, j : n) &= \text{ROWHOUSE}(A(j : m, j : n), v(j : m)); \\ A(j+1 : m, j) &= v(j+1 : m); \end{aligned}$$

Mathematisch gesehen haben wir damit mit der $m \times m$ Householder-Matrix

$$P = \begin{bmatrix} I_{j-1} & 0 \\ 0 & \tilde{P} \end{bmatrix} = I - \frac{zvv^T}{v^T v}$$

multipliziert. Die Fehleranalyse von Wilkinson besagt, dass Berechnung und Anwendung von Householder Matrizen numerisch rückwärts stabil sind.

7.12 Die QR-Zerlegung.

Die QR-Zerlegung einer Matrix $A \in \mathbb{R}^{m,n}$ ($m \geq n$) ist gegeben durch

$$A = QR$$

mit $Q \in \mathbb{R}^{m,m}$ orthogonal, $R = \begin{bmatrix} R_1 \\ O \end{bmatrix} \in \mathbb{R}^{m,n}$ mit R_1 obere Dreiecksmatrix.

Falls A vollen Rang hat, dann bilden die ersten n Spalten von Q eine Orthonormalbasis für Bild (A) . Mit Hilfe der QR-Zerlegung kann man also Orthonormalbasen für Mengen von Vektoren bestimmen.

Zur Lösung von Gleichungssystemen $Ax = b$ mit $A \in \mathbb{R}^{n,n}$ erhalten wir mit $A = QR$, dass

$$c = Q^T b, \quad Rx = c.$$

Die Anwendung von Q^T auf b ist nur eine Matrix-Vektor Multiplikation oder in faktorisierten Householder Form, mehrere innere Produkte. Die Lösung von $Rx = c$ erfolgt durch Rückwärts-Einsetzen.

Algorithmus 17 (Householder QR-Zerlegung)Input: $A \in \mathbb{R}^{m,n}$ mit $m \geq n$.Output: Householder-Matrizen P_1, \dots, P_n , so daß für $Q = P_1 \cdots P_n$, $Q^T A = R$ obere Dreiecks-Matrix. Der obere Dreiecks-Teil von A wird durch R überschrieben und die Komponenten $j+1 : m$ des j -ten Householdervektors werden auf $A(j+1 : m, j)$, $j < m$ überschrieben.FOR $j = 1 : n$ $v(j : m) = HOUSE(A(j : m, j));$ $A(j : m, j : n) = ROWHOUSE(A(j : m, j : n), v(j : m));$ IF $j < m$ $A(j+1 : m, j) = v(j+1 : m);$

END

END

Die Kosten betragen $2n^2(m - \frac{n}{3})$ flops sowie, falls Q benötigt wird, noch einmal

$$4(m^2n - mn^2 + \frac{n^3}{3}) \text{ flops.}$$

Die Fehleranalyse liefert, dass $\tilde{Q}^T(A + E) = \tilde{R}$, wobei das berechnete \tilde{Q} exakt orthogonal ist und $Q^T \tilde{Q} = I + F$ mit $\|F\|_2 \approx \text{eps}$ und weiterhin $\|E\|_2 \approx \text{eps} \|A\|_2$.

Beispiel 88

$$\begin{bmatrix} * & * & * & * & * & * \\ * & * & * & * & * & * \\ * & * & * & * & * & * \\ * & * & * & * & * & * \\ * & * & * & * & * & * \\ * & * & * & * & * & * \end{bmatrix}, P_1 A = \begin{bmatrix} * & * & * & * & * & * \\ 0 & * & * & * & * & * \\ 0 & * & * & * & * & * \\ 0 & * & * & * & * & * \\ 0 & * & * & * & * & * \\ 0 & * & * & * & * & * \end{bmatrix}, P_2 P_1 A = \begin{bmatrix} * & * & * & * & * & * \\ 0 & * & * & * & * & * \\ 0 & 0 & * & * & * & * \\ 0 & 0 & * & * & * & * \\ 0 & 0 & * & * & * & * \\ 0 & 0 & * & * & * & * \end{bmatrix}, \text{ usw.}$$

Die Matrix A sieht am Ende des Algorithmus wie folgt aus

$$\begin{bmatrix} r_{11} & r_{12} & \cdots & \cdots & r_{1,n} \\ v_2^{(1)} & r_{22} & & & \vdots \\ v_3^{(1)} & v_3^{(2)} & \ddots & & \vdots \\ \vdots & \vdots & \ddots & r_{n-1,n-1} & \vdots \\ \vdots & \vdots & & v_n^{(n-1)} & r_{n,n} \\ \vdots & \vdots & & \vdots & v_n^{(n)} \\ \vdots & \vdots & & \vdots & \vdots \\ v_m^{(1)} & v_m^{(2)} & \cdots & v_m^{(n-1)} & v_m^{(n)} \end{bmatrix}$$

Die j -te Komponente von $v^{(j)}$ ist jeweils 1.

Der obige Algorithmus beweist die Existenz der QR-Zerlegung. Es gelten noch folgende weitere Eigenschaften.

Theorem 89 Ist $A = QR$ eine QR-Zerlegung einer Matrix $A = [a_1, \dots, a_n] \in \mathbb{R}^{m,n}$ von vollem Rang und $Q = [q_1, \dots, q_n]$, dann ist

$$\text{span}\{a_1, \dots, a_k\} = \text{span}\{q_1, \dots, q_k\}, \quad k = 1 : n.$$

Für $Q_1 = Q(1 : m, 1 : n)$, $Q_2 = Q(1 : m, n+1 : m)$ gilt:

$$\begin{aligned} \text{Bild}(A) &= \text{Bild}(Q_1), \\ \text{Bild}(A)^\perp &= \text{Bild}(Q_2) \end{aligned}$$

und $A = Q_1 R_1$ mit $R_1 = R(1 : n, 1 : n)$.*Beweis.* Es gilt

$$a_k = \sum_{i=1}^k r_{ik} q_i \in \text{span}\{q_1, \dots, q_k\}$$

und daher $\text{span}\{a_1, \dots, a_k\} \subseteq \text{span}\{q_1, \dots, q_k\}$. Da $\text{rank}(A) = n$, so folgt

$$\dim(\text{span}\{a_1, \dots, a_k\}) = k, \quad \forall k \leq n$$

und damit $\text{span}\{a_1, \dots, a_k\} = \text{span}\{q_1, \dots, q_k\}$.Der Rest ist klar. \square

Theorem 90 Die Matrix $A \in \mathbb{R}^{m,n}$ habe vollen Rang. Die „dünne“ QR-Zerlegung $A = Q_1 R_1$ mit $Q_1 \in \mathbb{R}^{m,n}$ und $R \in \mathbb{R}^{n,n}$ obere Dreiecks-Matrix mit $r_{ii} \in \mathbb{R}, r_{ii} > 0$, ist eindeutig. $G = R_1^T$ ist der Cholesky Faktor von $A^T A$.

Beweis. Es gilt $A^T A = (Q_1 R_1)^T (Q_1 R_1) = R_1^T R_1$. Der Faktor R_1 ist eindeutig und da A vollen Rang hat auch $Q_1 = A R_1^{-1}$. \square

7.13 Gram-Schmidt Orthogonalisierung

Wir haben gesehen, dass wir mit Hilfe der Householder QR-Zerlegung orthogonalisieren können. Die dünne QR-Zerlegung $A = Q_1 R_1$ wie in Satz 90 kann man natürlich auch über den Gram-Schmidt Prozess erhalten. Sei $\text{rank}(A) = n$. Der klassische Gram-Schmidt Algorithmus ist dann gegeben durch

$$\begin{aligned} r_{ik} &= q_i^T a_k, \quad i = 1 : k-1 \\ q_k &= (a_k - \sum_{i=1}^{k-1} r_{ik} q_i) / r_{kk}. \end{aligned}$$

Numerisch gesehen ist dieser Algorithmus sehr schlecht, da die Orthogonalität der q_k durch Rundungsfehler zerstört wird. Eine leichte Umsortierung ergibt den sogenannten modifizierten Gram-Schmidt (MGS), der numerisch wesentlich besser ist. Definiere $A^{(k)} \in \mathbb{K}^{m, n-k+1}$ durch

$$A - \sum_{i=1}^{k-1} q_i r_i^T = \sum_{i=k}^n q_i r_i^T = [0 \ A^{(k)}].$$

Mit $A^{(k)} = \begin{bmatrix} z & B \\ 1 & n-k \end{bmatrix}$ gilt, dass $r_{kk} = \|z\|_2$, $q_k = z/r_{kk}$ und $[r_{k,k+1}, \dots, r_{k,n}] = q_k^T B$.

Damit können wir

$$A^{(k+1)} = B - q_k [r_{k,k+1}, \dots, r_{k,n}]$$

als äußeres Produkt bestimmen und weitermachen.

Algorithmus 18 (Modifizierter Gram-Schmidt)

Input: $A \in \mathbb{R}^{m,n}$ Rang $(A) = n$.

Output: Zerlegung $A = Q_1 R_1, Q_1 \in \mathbb{R}^{m,n}$ mit orthonormalen Spalten, $R_1 \in \mathbb{R}^{n,n}$ obere Dreiecks-Matrix.

FOR $k = 1 : n$

$$R(k, k) = \|A(1 : m, k)\|_2;$$

$$Q(1 : m, k) = A(1 : m, k) / R(k, k);$$

FOR $j = k + 1 : n$

$$R(k, j) = Q(1 : m, k) * A(1 : m, j);$$

$$A(1 : m, j) = A(1 : m, j) - Q(1 : m, k) * R(k, j);$$

END

END

Die Kosten betragen $2mn^2$ flops und die Fehleranalyse liefert $\tilde{Q}_1^T \tilde{Q}_1 = I + E, \|E\|_2 \approx \text{eps } \kappa_2(A)$.

Zum Vergleich erhielten wir bei der Householder Orthogonalisierung $\|E\|_2 = \text{eps}$.

Allerdings ist zur Berechnung einer Orthonormalbasis für $\text{Bild}(A)$ der modifizierte Gram-Schmidt schneller als QR.

7.14 Ausgleichsprobleme

Bei vielen wissenschaftlichen Versuchen geht es darum, aus Messungen die Werte von Konstanten x_1, \dots, x_n zu bestimmen. Oft kann man x_i nicht direkt messen sondern nur eine leichter zugängliche Größe y , die als Funktion von x und anderen Parametern z abhängt, $y = f(z, x_1, \dots, x_n)$.

Beispiel 91 Bestimmung von g . Wir machen Fallversuche $h = g \frac{t^2}{2}$, wobei h die Fallhöhe, t die Fallzeit und g die Gravitationskonstante.

Um die x_i zu bestimmen, führen wir $m > n$ verschiedene Experimente (Messungen) durch und erhalten

$$y_k = f(z_k, x_1, \dots, x_n), \quad k = 1, \dots, m.$$

Dies ergibt ein überbestimmtes Gleichungssystem, doch dies ist i.a. nicht lösbar. Daher machen wir eine beste Approximation möglich. Zum Beispiel minimieren wir

$$\sum_{k=1}^m (y_k - f(z_k, x_1, \dots, x_n))^2 \quad (7.35)$$

Das ist die Methode der kleinsten Quadrate (least squares).

Oder wir minimieren die Maximums-Norm

$$\max_{1 \leq k \leq m} |y_k - f(z_k, x_1, \dots, x_n)|.$$

Für (7.35) ergibt sich die notwendige Bedingung für die Minimierung durch

$$\frac{\partial}{\partial x_i} \left(\sum_{k=1}^m (y_k - f_k(x_1, \dots, x_n))^2 \right) = 0, \quad i = 1 : n, \quad (7.36)$$

wobei $f_k(x_1, \dots, x_n) := f(z_k, x_1, \dots, x_n)$.

Dies sind die sogenannten *Normalgleichungen*. Ein wichtiger Spezialfall, das lineare Ausgleichsproblem, liegt vor, falls $f_k(x_1, \dots, x_n)$ linear in x_1, \dots, x_n , d.h.

$$\begin{bmatrix} f_1(x_1, \dots, x_n) \\ \vdots \\ f_m(x_1, \dots, x_n) \end{bmatrix} = Ax, \quad A \in \mathbb{R}^{m,n}. \quad (7.37)$$

Dann sind die Normalgleichungen

$$\text{grad}_x ((y - Ax)^T (y - Ax)) = 2A^T Ax - 2A^T y = 0. \quad (7.38)$$

Also man hat das lineare Gleichungssystem

$$A^T Ax = A^T y \quad (7.39)$$

zur Lösung von

$$\min_{x \in \mathbb{R}^n} \|Ax - y\|_2. \quad (7.40)$$

Theorem 92 *Das lineare Ausgleichsproblem (7.40) hat mindestens eine Lösung x_0 . Ist x_1 eine weitere Lösung, so gilt $Ax_0 = Ax_1$. Das Residuum $r = y - Ax_0$ ist eindeutig bestimmt und erfüllt $A^T r = 0$. Jede Lösung x_0 erfüllt auch (7.39) und umgekehrt.*

Beweis. $\mathbb{R}^m = \underbrace{\text{Bild}(A)}_L \oplus \underbrace{\text{Bild}(A)^\perp}_{L^\perp}$.

Daher gibt es eine eindeutige Zerlegung

$$y = s + r, \quad \text{mit } s \in L, r \in L^\perp \quad (7.41)$$

und es gibt ein x_0 mit $A^T x_0 = s$. Da $A^T r = 0$, so folgt $A^T y = A^T s = A^T Ax_0$. Also löst x_0 (7.39) die Normalgleichungen.

Umgekehrt sei x_1 eine Lösung von (7.39). Dann hat y die Zerlegung $y = s + r$ mit $s = Ax_1, r = y - Ax_1, s \in L, r \in L^\perp$. Wegen der Eindeutigkeit der Zerlegung folgt $Ax_1 = Ax_0$.

Weiter erfüllt jede Lösung x_0 von (7.39) das Ausgleichsproblem (7.40). Denn für beliebiges x setze $z = Ax - Ax_0, r = y - Ax_0$, dann gilt wegen $r^T z = 0$:

$$\|y - Ax\|_2^2 = \|r - z\|_2^2 = \|r\|_2^2 + \|z\|_2^2 \geq \|r\|_2^2 = \|y - Ax_0\|_2^2.$$

□

Falls A vollen Rang hat, so ist $A^T A$ positiv definit. Nun könnte man einfach folgenden Algorithmus verwenden:

Algorithmus 19 (Normalgleichung)

Input: $A \in \mathbb{R}^{m,n}$ mit $\text{rank}(A) = n$, und $b \in \mathbb{R}^m$.

Output: Lösung x des Minimierungsproblems (7.40).

Berechne das untere Dreieck von $C = A^T A$.

$d = A^T b$.

Berechne die Cholesky Zerlegung $C = GG^T$.

Löse $Gy = d$ und $G^T x = y$.

Die Kosten betragen $(m + n/3)n^2$ flops und die Fehleranalyse liefert das folgende: Angenommen, es werden keine Fehler bei der Berechnung von $C = A^T A$ und $d = A^T b$ gemacht.

Dann folgt aus der Analyse der Cholesky Zerlegung, dass

$$(A^T A + E)\tilde{x} = A^T b,$$

mit $\|E\|_2 \approx \text{eps} \|A^T\|_2 \|A\|_2 \approx \text{eps} \|A^T A\|_2$, d.h. wir erwarten

$$\frac{\|x - \tilde{x}\|_2}{\|x\|_2} \approx \text{eps} \kappa_2(A^T A) = \text{eps} \kappa_2(A)^2,$$

d.h. das Quadrat der Konditionszahl geht ein. Das ist schlecht, denn es bedeutet, dass wir im Extremfall viel weniger korrekte Stellen haben als möglich.

Beispiel 93

$$A = \begin{bmatrix} 1 & 1 \\ 10^{-3} & 0 \\ 0 & 10^{-3} \end{bmatrix}, \quad b = \begin{bmatrix} 2 \\ 10^{-3} \\ 10^{-3} \end{bmatrix}, \quad x = \begin{bmatrix} 1 \\ 1 \end{bmatrix}, \quad \kappa_2(A) = 1.4 \cdot 10^3.$$

Mit 6-stelliger Arithmetik ist $A^T A = \begin{bmatrix} 1 & 1 \\ 1 & 1 \end{bmatrix}$ singular. Mit 7-stelliger Arithmetik folgt

$$\tilde{x} = \begin{bmatrix} 2.00001 \\ 0 \end{bmatrix} \implies \frac{\|\tilde{x} - x\|_2}{\|x\|_2} \approx \underbrace{\text{eps}}_{10^{-6}} \underbrace{\kappa_2(A)^2}_{10^6}.$$

Die Normalgleichung kann also zu sehr schlechten Ergebnissen führen. Wir verwenden daher besser die QR -Zerlegung. Bilde

$$Q^T A = R = \begin{bmatrix} R_1 \\ 0 \end{bmatrix} \begin{matrix} n \\ m-n \end{matrix}, \quad R_1 \text{ obere Dreiecks-Matrix}$$

$$Q^T b = \begin{bmatrix} c \\ d \end{bmatrix} \begin{matrix} n \\ m-n \end{matrix}$$

Dann gilt, da Q orthogonal ist, dass

$$\|Ax - b\|_2^2 = \|Q^T Ax - Q^T b\|_2^2 = \|R_1 x - c\|_2^2 + \|d\|_2^2,$$

für alle $x \in \mathbb{K}^n$. Falls $\text{rank}(A) = \text{rank}(R_1) = n$, so gilt für die Lösung $R_1 x = c$. Also hat man:

Algorithmus 20 (QR Lösung des linearen Ausgleichsproblems)

Input: $A \in \mathbb{R}^{m,n}$ mit $\text{rank}(A) = n$, und $b \in \mathbb{K}^m$.

Output: $x \in \mathbb{R}^n$, so dass $\|Ax - b\|_2 \stackrel{!}{=} \min$.

Verwende Algorithmus 17, um A mit seiner QR -Zerlegung zu überschreiben.

FOR $j = 1 : n$
 $v(j) = 1;$
 $v(j+1 : m) = A(j+1 : m, j);$
 $b(j : m) = \text{ROWHOUSE}(b(j : m), v(j : m));$

END

Löse $R(1 : n, 1 : n)x = b(1 : n)$ mit Rückwärts-Einsetzen.

Die Kosten für dieses Verfahren betragen $2n^2(m - \frac{n}{3})$ flops. Die Fehleranalyse ergibt, dass das berechnete \tilde{x} das Minimierungsproblem $\min \|(A + \delta A)x - (b + \delta b)\|_2$, löst, wobei

$$\|\delta A\|_F \leq (6m - 3n + 41)n \text{ eps} \|A\|_F + \mathcal{O}(\text{eps}^2)$$

$$\|\delta b\|_2 \leq (6m - 3n + 40)n \text{ eps} \|b\|_2 + \mathcal{O}(\text{eps}^2)$$

Es ist wieder klar, dass es Probleme gibt, wenn $\kappa_2(R) \approx \frac{1}{\text{eps}}$. Ein weiteres Problem entsteht natürlich wenn $\text{Rang}(A) < n$.

Abhilfe schafft hier die sogenannte Singulärwertzerlegung $A = U\Sigma V^T$ mit

$$U, V \text{ orthogonal, } \Sigma = \begin{bmatrix} \sigma_1 & & & 0 \\ & \ddots & & \\ 0 & & \sigma_n & \\ & & & 0 \end{bmatrix}. \text{ Dies kann zu diesem Zeitpunkt hier}$$

nicht gemacht werden.

7.15 Iterative Verfahren

Für viele der Gleichungssysteme, die in der Praxis auftauchen, gilt $n \gg 100000$ und typischerweise $a_{ij} = 0$ für $> 90\%$ der Einträge. Wenn man derartige Probleme mit Gauß oder QR löst, kann es passieren, dass in den Faktoren L, Q, R alle Einträge $\neq 0$ sind. Als Extrembeispiel betrachte den Gauß-Algorithmus für die Matrix

$$\begin{bmatrix} * & * & \cdots & * \\ * & * & & 0 \\ \vdots & & \ddots & \\ * & 0 & & * \end{bmatrix}.$$

Die Matrix läuft total voll. Es gibt dafür spezielle Varianten von Gauß/Cholesky/ QR . Dies ist Thema einer Spezialvorlesung.

Eine wichtige Idee, die insbesondere im Zusammenhang mit Vektorrechnern und Parallelrechnern von größter Bedeutung ist, ist die Konstruktion von Verfahren, die die Matrix an sich nicht verändern, und wenn möglich auf Matrix * Matrix oder Matrix * Vektor-Operationen aufgebaut sind. Das führt auf iterative Verfahren. Im wesentlichen betrachten wir hier 2 Ansätze.

7.15.1 Splitting-Verfahren

Zerlege A additiv

$$A = M - N, \tag{7.42}$$

wobei M^{-1} eine Approximation an A^{-1} ist, die leicht invertierbar ist, z.B. diagonal, blockdiagonal, Dreiecks-Matrix, Ersetze $Ax = b$ durch

$$Mx = Nx + b \iff x = M^{-1}Nx + M^{-1}b. \tag{7.43}$$

Dies ist eine Fixpunktgleichung und wir können die Grundidee eines Fixpunktverfahrens anwenden, d.h.

$$x^{(k+1)} = M^{-1}Nx^{(k)} + M^{-1}b, \text{ mit gegebenen } x^{(0)}. \quad (7.44)$$

Theorem 94 Das Fixpunktverfahren (7.44) konvergiert für alle Startwerte $x^{(0)}$ gegen die Lösung von $Ax = b$ genau dann, wenn der Spektralradius $\rho(M^{-1}N) < 1$ ist, wobei $\rho(T) = \max\{|\lambda| : \lambda \text{ Eigenwert von } T\}$.

Mögliche Wahlen für M, N : Setze $A = D - L - U$, D Diagonale, L unteres Dreieck, U oberes Dreieck. Mit $M = D$, $N = L + U$ ergibt sich das Verfahren

$$x^{(k+1)} = D^{-1}(L + U)x^{(k)} + D^{-1}b \quad (7.45)$$

Algorithmus 21 (Jacobi oder Gesamtschrittverfahren)

Input: $A \in \mathbb{K}^{n,n}$, $b \in \mathbb{K}^n$, $a_{ii} \neq 0, i = 1, \dots, n$ und Startvektor $x^{(0)} = [x_1^{(0)}, \dots, x_n^{(0)}]^T$ sowie Abbruchgrenze δ .

Output: Näherung \tilde{x} für Lösung $Ax = b$

FOR $k = 0, 1, 2, \dots$

FOR $i = 1 : n$

$$x_i^{(k+1)} = \left(b_i - \sum_{j=1}^{i-1} a_{ij}x_j^{(k)} - \sum_{j=i+1}^n a_{ij}x_j^{(k)} \right) / a_{ii};$$

END

IF $\|x^{(k+1)} - x^{(k)}\| < \delta$, STOP

END

Die Kosten sind im wesentlichen ein Matrix-Vektor Produkt (unter Ausnutzung der Sparsität) und 1 Vektoraddition pro Iterationsschritt.

Die Fehleranalyse ist die von der Matrix * Vektor, Vektor+Vektor Operation. Der Verfahrensfehler ist abhängig von $\delta, \rho(D^{-1}(L + U))$.

Mit $M = D - L$, $N = U$ ergibt sich das Verfahren

$$x^{(k+1)} = (D - L)^{-1}Ux^{(k)} + (D - L)^{-1}b \quad (7.46)$$

Algorithmus 22 (Gauß-Seidel oder Einzelschrittverfahren)

Input: $A \in \mathbb{K}^{n,n}$, $b \in \mathbb{K}^n$, $a_{ii} \neq 0, i = 1, \dots, n$ und Startvektor $x^{(0)} = [x_1^{(0)}, \dots, x_n^{(0)}]^T$ sowie Abbruchgrenze δ .

Output: Näherung \tilde{x} für Lösung $Ax = b$

FOR $k = 0, 1, 2, \dots$

FOR $i = 1 : n$

$$x_i^{(k+1)} = \left(b_i - \sum_{j=1}^{i-1} a_{ij}x_j^{(k+1)} - \sum_{j=i+1}^n a_{ij}x_j^{(k)} \right) / a_{ii};$$

END

IF $\|x^{(k+1)} - x^{(k)}\| < \delta$, STOP

END

Die Kosten sind im wesentlichen die gleichen wie bei der Jacobi-Iteration, das Verfahren ist nur schwerer auf Vektor- und Parallelrechnern zu implementieren

Der Fehler ist abhängig vom Fehler in Lösung von $(D - L)x = c$ sowie von $\rho((D - L)^{-1}U)$, δ .

Beide Verfahren sind einfach, aber konvergieren i.a. sehr langsam, insbesondere bei den Problemen, die in der Praxis auftauchen.

Eine Möglichkeit, die Konvergenz zu beschleunigen, ist die sukzessive Überrelaxation (SOR).

Mit $M = D - \omega L$, $N = (1 - \omega)D + \omega U$, $\omega \in (0, 2)$, $(M - N) = \omega(D - L - U)$ ergibt sich das Verfahren

$$x^{(k+1)} = (D - \omega L)^{-1}((1 - \omega)D + \omega U)x^{(k)} + (D - \omega L)^{-1}\omega b. \quad (7.47)$$

Algorithmus 23 (SOR)

Input: $A \in \mathbb{K}^{n,n}$, $b \in \mathbb{K}^n$, $a_{ii} \neq 0, i = 1, \dots, n$ und Startvektor $x^{(0)} = [x_1^{(0)}, \dots, x_n^{(0)}]^T$ sowie Abbruchgrenze δ .

Output: Näherung \tilde{x} für Lösung $Ax = b$

```

FOR k = 0, 1, 2 ...
  FOR i = 1 : n
     $x_i^{(k+1)} = \omega \left( b_i - \sum_{j=1}^{i-1} a_{ij} x_j^{(k+1)} - \sum_{j=i+1}^n a_{ij} x_j^{(k)} \right) / a_{ii} + (1 - \omega) x_i^{(k)}$ ;
  END
  IF  $\|x^{(k+1)} - x^{(k)}\| < \delta$ , STOP
END
```

Kosten und Fehlerwie beim Gauß–Seidel Verfahren.

In einigen Spezialfällen von strukturierten Matrizen aus partiellen Differentialgleichungen gibt es Konvergenzbeweise, optimales ω , etc. Weitere Beschleunigungsmethoden: Tschebyschew–Beschleunigung, semiiterative Verfahren, unvollständige Dreieckszerlegungen.

7.15.2 Das Konjugierte Gradienten Verfahren

Die Idee des Verfahrens der Konjugierten Gradienten (CG) brucht auf einer einfachen Grundidee, die wiederum aus der Behandlung von Optimierungsproblemen herrührt.

Betrachte eine quadratisches Funktional

$$\Phi(x) = \frac{1}{2} x^T A x - x^T b, \quad A \in \mathbb{R}^{n,n} \text{ symmetrisch, positiv definit, } b \in \mathbb{R}^n.$$

Das Minimum von Φ ist der Wert $-b^T A^{-1} b / 2$. Dieser wird erreicht bei $x = A^{-1} b$. Also ist Minimierung von $\Phi(x)$ äquivalent zur Lösung von $Ax = b$.

Eine Grundmethode aus der Optimierung ist die *Methode des Steilsten Abstiegs*. In jedem Schritt lege die Richtung des steilsten Abstiegs fest und gehe in diese Richtung so weit wie möglich. Beim Punkt x_c angelangt, ist die Richtung des steilsten Abstiegs die Richtung des negativen Gradienten.

$$-\nabla\Phi|_{x_c} = b - Ax_c = r_c, \quad (7.48)$$

dabei ist r_c das Residuum in x_c . Falls $r_c \neq 0$, dann gibt es ein α , so daß $\Phi(x_c + \alpha r_c) < \Phi(x_c)$. Wähle

$$\alpha = \frac{r_c^T r_c}{r_c^T A r_c}. \quad (7.49)$$

Das ergibt das Minimum von $\Phi(x_c + \alpha r_c)$ über α . Man hätte damit folgende Methode des steilsten Abstiegs.

```

k = 0; x_0 = 0; r_0 = b;
WHILE r_k ≠ 0
  k = k + 1;
   $\alpha_k = r_{k-1}^T r_{k-1} / r_{k-1}^T A r_{k-1}$ ;
   $x_k = x_{k-1} + \alpha_k r_{k-1}$ ;
   $r_k = b - Ax_k$ ;
END
```

Dieses Verfahren konvergiert i.a. sehr langsam. Besser ist es, die Suchrichtungen so zu wählen, dass die Residuen senkrecht aufeinanderstehen, so dass man bei exakter Rechnung in $\leq n$ Schritten fertig ist.

Algorithmus 24 (Konjugierte Gradienten-Verfahren)

Input: $A \in \mathbb{R}^{n,n}$, symmetrisch, positiv definit, $b \in \mathbb{R}^n$, k_{\max} (Maximum an Iterationsschritten), $\varepsilon > 0$ Toleranz.

Output: Näherungslösung von $Ax = b$.

```

k = 0; x_0 = 0; r_0 = b; rho_0 = ||r_0||_2^2;
WHILE sqrt(rho_k) > epsilon * sqrt(rho_0) AND k < k_max
    k = k + 1;
    IF k = 1
        p = r;
    ELSE
        beta = rho_{k-1} / rho_{k-2}; % (= r_{k-1}^T r_{k-1} / r_{k-2}^T r_{k-2})
        p = r + beta * p; % (= p_k)
    END
    w = A * p;
    alpha = rho_{k-1} / p^T w; % (= r_{k-1}^T r_{k-1} / p_k^T A p_k)
    x = x + alpha * p; % (= x_k)
    r = r - alpha * w; % (= r_k)
    rho_k = ||r||_2^2; % (= r_k^T r_k)
END

```

END

Die Kosten für diese Methode sind 1 Matrix * Vektor-Multiplikation + 2 Skalarprodukte + 2 GAXPY (a+x*b) pro Schritt.

Die Fehleranalyse liefert, dass die Rundungsfehler die Konvergenzgeschwindigkeit erniedrigen und die Orthogonalität der Residuen zerstören.

Bemerkung 95

- Für die Vektoren $p \equiv p_k$, $r \equiv r_k$ aus Algorithmus 24 gilt: $p_k^T A p_l = 0$ und $r_k^T r_l = 0$ für alle $k > l \geq 0$.
- Für die Funktion Φ gilt mit p_1, \dots, p_k aus Algorithmus 24 gilt:

$$\min_{\alpha_1, \dots, \alpha_k \in \mathbb{R}} \Phi(x + \sum_{l=1}^k \alpha_l p_l) = \min_{\alpha_k \in \mathbb{R}} \left(\min_{\alpha_1, \dots, \alpha_{k-1} \in \mathbb{R}} \Phi(x + \sum_{l=1}^k \alpha_l p_l) \right).$$

Theorem 96 Sei $A \in \mathbb{R}^{n,n}$ symmetrisch, positiv definit und $b \in \mathbb{R}^n$. Für die Iterierten in Algorithmus 24 gilt:

$$\|x - x_k\|_A \equiv \sqrt{(x - x_k)^T A (x - x_k)}$$

$$\leq 2 \|x - x_0\|_A \left(\frac{\sqrt{\kappa_2(A)} - 1}{\sqrt{\kappa_2(A)} + 1} \right)^k. \quad (7.50)$$

Die Genauigkeit der Methode ist oft besser als (7.50) vorhersagt. Je näher $\kappa_2(A)$ an 1, je schneller ist die Konvergenz. Daher verwendet man heute in der Praxis noch Tricks zur Konvergenzbeschleunigung durch sogenannte Präkonditionierung.

Anstatt des ursprünglichen Systems $Ax = b$ löst man

$$(C^{-1} A C^{-T})(C^T x) = C^{-1} b \quad (7.51)$$

wobei C die folgenden Anforderung erfüllen sollte:

- C sollte invertierbar sein;
- Gleichungssysteme mit C sind einfach zu lösen;
- $\kappa_2(C^{-1} A C^{-T})$ sollte möglichst nahe an 1 liegen.

In vielen Anwendungen wie etwa bei Finite Elemente Methoden für Partielle Differentialgleichungen, hat man natürliche Präkonditionierer. Ein gut präkonditioniertes konjugiertes Gradientenverfahren ist für symmetrisch, positiv definite Systeme i.a. das beste Verfahren.

Kapitel 8

Lösung nichtlinearer Gleichungssysteme

Viele Anwendungsprobleme führen auf die Aufgabe der Lösung von nichtlinearen Gleichungssystemen. Gegeben

$$f : E \longrightarrow F \quad (\text{z.B. hier } E = F = \mathbb{R}^m)$$

$$\begin{bmatrix} x_1 \\ \vdots \\ x_m \end{bmatrix} \longmapsto \begin{bmatrix} f_1(x_1, \dots, x_m) \\ \vdots \\ f_m(x_1, \dots, x_m) \end{bmatrix}$$

Gesucht: Vektor $[x_1, \dots, x_m]^T$ so dass $f_i(x_1, \dots, x_m) = 0$, für alle $i = 1, \dots, m$.

E, F können auch unendlich dimensionale lineare Räume sein, etwa Räume von Funktionen und f kann auch ein Differentialoperator sein. Hier betrachten wir nur den Fall $E = F = \mathbb{R}^m$. Im allgemeinen ist die Lösung nur durch Näherungsverfahren zu bestimmen. Nullstellenprobleme sind eng verwandt mit Minimierungsproblemen wie

$$\text{Bestimme für } h : \mathbb{R}^m \longrightarrow \mathbb{R} \quad \min_{x \in \mathbb{R}^m} h(x). \quad (8.1)$$

In üblicher Weise muß zur Bestimmung des Minimums

$$\text{grad}(h(x)) = \begin{bmatrix} \frac{\partial h}{\partial x_1} \\ \vdots \\ \frac{\partial h}{\partial x_m} \end{bmatrix} = 0$$

berechnet werden, welches wiederum ein Nullstellenproblem ist.

8.1 Fixpunktverfahren

Die einfachste Idee zur Lösung nichtlinearer Gleichungen sind Fixpunktverfahren.

Man wandelt dazu das Nullstellenproblem in ein Fixpunktproblem

$$x = \Phi(x) \quad (8.2)$$

um. Dies ist im allgemeinen auf viele Arten möglich, die äquivalent oder nicht äquivalent sein können.

Beispiel 97 $e^x - \sin x = 0$

Mögliche Fixpunktgleichungen, diese sind nicht alle äquivalent.

- a) $x = e^x - \sin x + x$,
- b) $x = \sin x - e^x + x$,
- c) $x = \arcsin(e^x)$, für $x < 0$,
- d) $x = \ln(\sin x)$, für $(-2n\pi, 2n\pi + \pi)$, $n = 1, 2, 3, \dots$

Die Idee des Fixpunktverfahrens ist es, eine Folge

$$x^{(i+1)} = \Phi(x^{(i)}), \quad i = 0, 1, 2, \dots \quad (8.3)$$

mit gegebenem Startwert $x^{(0)}$ zu erzeugen. Die Konvergenz dieser Folge gegen eine Lösung erhalten wir mit dem Banach'schen Fixpunktsatz.

Theorem 98 (Banachscher Fixpunktsatz) Sei $D \subseteq D_\Phi \subseteq \mathbb{R}^m$ ein abgeschlossenes Gebiet und Φ eine kontrahierende Abbildung von D in sich, d.h.

$$a) \Phi : D \longrightarrow D$$

b) Φ kontrahierend, d.h. $\exists \alpha < 1$ und eine Norm $\|\bullet\|$, so dass

$$\|\Phi(x) - \Phi(y)\| \leq \alpha \|x - y\|, \quad \forall x, y \in D. \quad (8.4)$$

Dann gilt:

i) Es gibt genau einen Fixpunkt \hat{x} von (8.2) in D .

ii) Die Fixpunktiteration (8.3) konvergiert für jeden Startwert $x^{(0)} \in D$ gegen \hat{x} .

iii) Es gelten die Fehlerabschätzungen

$$\|\hat{x} - x^{(n)}\| \leq \frac{\alpha^n}{1 - \alpha} \|x^{(1)} - x^{(0)}\| \quad \text{a priori}, \quad (8.5)$$

$$\|\hat{x} - x^{(n)}\| \leq \frac{\alpha}{1 - \alpha} \|x^{(n)} - x^{(n-1)}\| \quad \text{a posteriori}. \quad (8.6)$$

Beweis. Wenn $x^{(0)} \in D$, so gilt $x^{(n)} = \Phi(x^{(n-1)}) \in D$, für alle $n = 1, 2, \dots$. Wir erhalten aus der Lipschitzbedingung, dass

$$\begin{aligned} \|x^{(n+1)} - x^{(n)}\| &= \|\Phi(x^{(n)}) - \Phi(x^{(n-1)})\| \\ &\leq \alpha \|x^{(n)} - x^{(n-1)}\| \leq \alpha^2 \|x^{(n-1)} - x^{(n-2)}\| \\ &\leq \alpha^n \|x^{(1)} - x^{(0)}\| \end{aligned}$$

und damit

$$\begin{aligned} \|x^{(n+k)} - x^{(n)}\| &\leq \sum_{i=1}^k \|x^{(n+i)} - x^{(n+i-1)}\| \\ &\leq \sum_{i=1}^k \alpha^{n+i-1} \|x^{(1)} - x^{(0)}\| \\ &\leq \alpha^n \|x^{(1)} - x^{(0)}\| \sum_{i=1}^k \alpha^{i-1} \\ &\leq \frac{\alpha^n}{1 - \alpha} \|x^{(1)} - x^{(0)}\|. \end{aligned}$$

Damit ist die Folge eine Cauchy-Folge und da \mathbb{R}^n vollständig ist, erhalten wir Konvergenz. Da Φ stetig ist, dies folgt bereits aus der Kontraktionseigenschaft (8.4), so ist der Grenzwert Fixpunkt von Φ , wegen

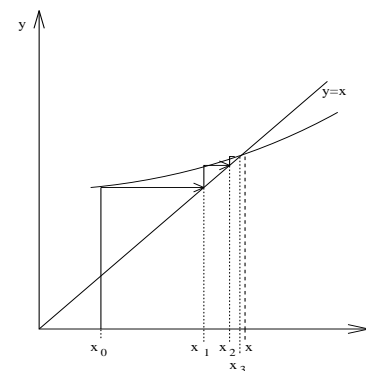
$$\hat{x} \equiv \lim_{n \rightarrow \infty} x^{(n+1)} = \lim_{n \rightarrow \infty} \Phi(x^{(n)}) = \Phi(\lim_{n \rightarrow \infty} x^{(n)}) = \Phi(\hat{x}).$$

Für den Beweis der Eindeutigkeit seien \hat{x}, \bar{x} Fixpunkte von Φ . Dann gilt

$$\|\hat{x} - \bar{x}\| = \|\Phi(\hat{x}) - \Phi(\bar{x})\| \leq \alpha \|\hat{x} - \bar{x}\|$$

und da $\alpha < 1$, so kann nur $\hat{x} = \bar{x}$ gelten.

Graphische Veranschaulichung der Konvergenz $m = 1$.



Die Abschätzungen ergeben sich wie folgt:

$$\begin{aligned} \|x^{(n+k)} - x^{(n)}\| &\leq \frac{\alpha^n}{1 - \alpha} \|x^{(1)} - x^{(0)}\| \\ \xrightarrow{k \rightarrow \infty} \|\hat{x} - x^{(n)}\| &\leq \frac{\alpha^n}{1 - \alpha} \|x^{(1)} - x^{(0)}\| \end{aligned}$$

und dies ist (8.5). Mit $n = 1$ folgt

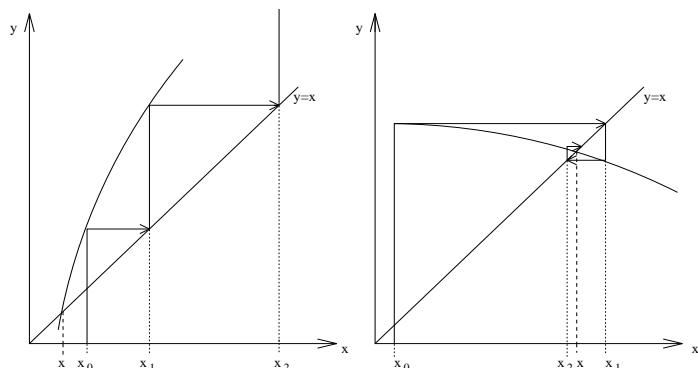
$$\|\hat{x} - x^{(1)}\| \leq \frac{\alpha}{1 - \alpha} \|x^{(1)} - x^{(0)}\|.$$

Ersetze $x^{(1)}$ durch $x^{(n)}$ und $x^{(0)}$ durch $x^{(n-1)}$ so folgt (8.6). \square

Definition 99 Ein Fixpunkt \hat{x} heißt anziehend, wenn die Iteration (8.3) für alle genügend nahe bei \hat{x} gelegenen Startwerte $x^{(0)} \neq \hat{x}$ gegen \hat{x} konvergiert.

Ein Fixpunkt \hat{x} heißt abstoßend, wenn es eine offene Kugel U_ε um \hat{x} gibt, so dass für alle $x^{(0)} \in U_\varepsilon \setminus \{\hat{x}\}$ ein n existiert, so dass $x^{(n)} \notin U_\varepsilon$.

Abstoßender Fixpunkt / Anziehender Fixpunkt.



Theorem 100 Sei $D \subseteq D_\Phi \subseteq \mathbb{R}^m$ abgeschlossen und konvex und nehme an, dass

$$D\Phi = \begin{bmatrix} \frac{\partial \Phi_1(x)}{\partial x_1} & \dots & \frac{\partial \Phi_1(x)}{\partial x_m} \\ \vdots & & \vdots \\ \frac{\partial \Phi_m(x)}{\partial x_1} & \dots & \frac{\partial \Phi_m(x)}{\partial x_m} \end{bmatrix} \text{ existiert und stetig ist. Falls es eine Norm}$$

gibt, so dass $\|D\Phi(x)\| \leq \alpha < 1$, so ist Φ in D kontrahierend mit Lipschitzkonstante α .

Ist $D\Phi(\hat{x})$ stetig und $\|D\Phi(\hat{x})\| < 1$ so ist \hat{x} anziehend. Ein Fixpunkt ist im allgemeinen nicht anziehend, falls einer der Eigenwerte von $D\Phi(x)$ vom Betrag größer 1 ist.

Definition 101 Eine Iterationsfolge $\{x^{(i)}\}_{i=0}^\infty$, die für $p \geq 1$

$$\|x^{(i+1)} - \xi\| \leq c \|x^{(i)} - \xi\|^p \quad i = 0, 1, 2 \dots \quad (8.7)$$

und $c < 1$ für $p = 1$ erfüllt, heißt Folge von mindestens p -ter Ordnung.

Korollar 102 Das Fixpunktverfahren (8.3) sofern es konvergiert, ist konvergent von mindestens 1. Ordnung (linear konvergent).

Die Kosten für die Iteration (8.3) sind durch eine Auswertung von $\Phi(x)$ pro Iteration gegeben. Die Anzahl der Iterationen ist aus der Fehlerschätzung ablesbar. Wir versuchen daher eine höhere Konvergenzordnung zu bekommen.

8.2 Das Newtonverfahren

Die Grundidee beim Newtonverfahren ist die Linearisierung. Man macht eine Taylorentwicklung für die Nullstelle \hat{x} von $f(x)$, für $x^{(0)}$ aus einer Umgebung der Nullstelle.

$$0 = f(\hat{x}) = f(x^{(0)}) + Df(x^{(0)})(\hat{x} - x^{(0)}) + \underbrace{\mathcal{O}(\|\hat{x} - x^{(0)}\|^2)}_{\text{weglassen}}. \quad (8.8)$$

Weglassen des quadratischen Terms ergibt.

$$0 = f(x^{(0)}) + Df(x^{(0)})(x^{(1)} - x^{(0)}) \quad (8.9)$$

Falls $Df(x^{(0)})$ nichtsingulär, so folgt dass

$$Df(x^{(0)})(x^{(1)} - x^{(0)}) = -f(x^{(0)})$$

eine eindeutige Lösung $\delta^{(1)} = x^{(1)} - x^{(0)}$ hat und wir erhalten (die nächste Iterierte) $x^{(1)} = x^{(0)} + \delta^{(1)}$.

Theorem 103 Sei $D \subseteq \mathbb{R}^n$ offen und sei D_0 konvex mit $\bar{D}_0 \subseteq D$. Die Funktion $f : D \rightarrow \mathbb{R}^n$ sei für alle $x \in D_0$ differenzierbar und für alle $x \in D$ stetig. Sei $x^{(0)} \in D_0$, so dass es Konstanten $r, \alpha, \beta, \gamma, h$ gibt mit

$$\begin{aligned} S_r(x^{(0)}) &:= \{x \mid \|x - x^{(0)}\| < r\} \subseteq D_0 \\ h &= \alpha\beta\gamma/2 < 1 \\ r &= \alpha/(1-h), \end{aligned}$$

und $f(x)$ erfülle

$$\|Df(x) - Df(y)\| \leq \gamma \|x - y\|, \quad \forall x, y \in D_0. \quad (8.10)$$

Die Ableitung

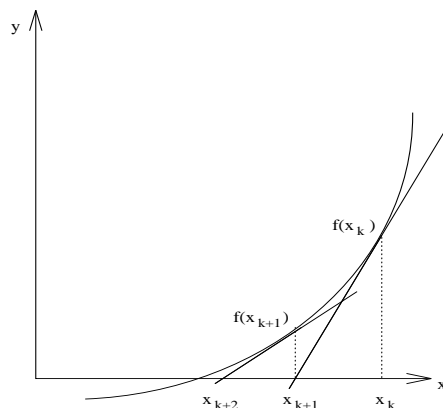
$$Df(x)^{-1} \text{ existiere } \forall x \in D_0 \text{ und es sei } \|Df(x)^{-1}\| \leq \beta, \quad \forall x \in D_0, \quad (8.11)$$

sowie

$$\|Df(x^{(0)})^{-1}f(x^{(0)})\| \leq \alpha. \quad (8.12)$$

Dann gilt

Newtonschrift



a) Ausgehend von $x^{(0)}$ ist jedes $x^{(i)}$, welches durch

$$x^{(i+1)} = x^{(i)} - Df(x^{(i)})^{-1} f(x^{(i)}), \quad i = 0, 1, 2, \dots$$

gegeben ist, wohldefiniert und es ist $x^{(i)} \in S_r(x^{(0)})$, $\forall i = 0, 1, 2, \dots$

b) $\lim_{i \rightarrow \infty} x^{(i)} = \hat{x}$ existiert und es ist $f(\hat{x}) = 0$, $\hat{x} \in \overline{S_r(x^{(0)})}$.

c) Für alle $i \geq 0$ gilt $\|x^{(i)} - \hat{x}\| \leq \alpha \frac{h^{2^i - 1}}{1 - h^{2^i}}$.

Das Newton-Verfahren ist also mindestens quadratisch konvergent.

Man kann unter noch stärkeren Voraussetzungen mit dem Satz von Newton-Kantorovich zeigen, dass \hat{x} die einzige Nullstelle in $S_r(x^{(0)})$ ist. Voraussetzung dafür, dass das Newton-Verfahren konvergiert, ist, dass der Startwert genügend nahe bei der gesuchten Lösung liegt. Um globale Konvergenz zu erzielen, wird das Newton-Verfahren durch Einführung eines Parameters modifiziert. Setze

$$x^{(k+1)} = x^{(k)} - \lambda_k d^{(k)}, \quad d^{(k)} := Df(x^{(k)})^{-1} f(x^{(k)}). \quad (8.13)$$

Die λ_k werden dabei so gewählt, dass die Folge $\{h(x^{(k)})\}$ mit $h(x) = f(x)^T f(x)$ streng monoton fällt und die $x^{(k)}$ gegen ein Minimum von $h(x)$ konvergieren.

Was hat das mit Nullstelle zu tun? Da

$$\begin{aligned} h(x) &\geq 0 && \forall x, \\ h(\hat{x}) = 0 &\iff f(\hat{x}) = 0 && (f(x)^T f(x) = \|f(x)\|_2^2), \end{aligned}$$

so ist jedes lokale Minimum \hat{x} von h mit $h(\hat{x}) = 0$ auch globales Minimum von h und Nullstelle von f . Definiere Menge

$$D(\gamma, x) = \{s \in \mathbb{R}^n \mid \|s\| = 1 \text{ und } Dh(x)^T s \geq \gamma \|Dh(x)\|\}, \quad \gamma > 0. \quad (8.14)$$

Algorithmus 25

Input: Differenzierbare Funktion $h(x) : \mathbb{R}^n \rightarrow \mathbb{R}$, und Zahlen σ_k, γ_k , $k = 0, 1, 2, \dots$ mit

$$\inf_k (\gamma_k) > 0, \quad \inf_k \sigma_k > 0,$$

sowie einen Startwert $x^{(0)} \in \mathbb{R}^n$.

Output: Folge $x^{(k)}$, $k = 0, 1, 2, \dots$, die gegen Minimum von $h(x)$ konvergiert.

FOR $k = 0, 1, 2, \dots$ UNTIL SATISFIED

Sei $s^{(k)} \in D(\gamma_k, x^{(k)})$,

$$x^{(k+1)} = x^{(k)} - \lambda_k s^{(k)}, \quad (8.15)$$

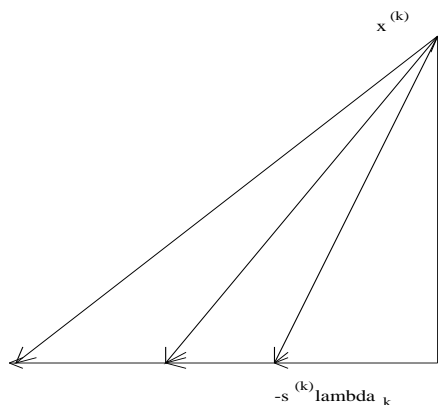
wobei $\lambda_k \in [0, \sigma_k \|Dh(x^{(k)})\|]$, so dass

$$h(x^{(k+1)}) = \min_{\mu} \{h(x^{(k)} - \mu s^{(k)}) \mid 0 \leq \mu \leq \sigma_k \|Dh(x^{(k)})\|\}.$$

END

In jedem Schritt wird $\min \varphi(\mu) = \min h(x^{(k)} + \mu s^{(k)})$, $\mu \in [0, \sigma_k \|Dh(x^{(k)})\|]$ über λ_k gesucht. Das ist jetzt eine eindimensionale Minimierung, und damit zwar einfacher als $\min h(x)$ aber immer noch sehr aufwendig. Dies wird später noch vereinfacht.

Was können wir nun über die Konvergenz von (8.15) aussagen.



Theorem 104 Seien $h : \mathbb{R}^n \rightarrow \mathbb{R}$ und $x^{(0)} \in \mathbb{R}^n$, so dass

- $K := \{x \mid h(x) \leq h(x^{(0)})\}$ kompakt.
- h stetig differenzierbar in einer Umgebung von K .

Dann gilt für jede Folge $\{x^{(k)}\}$ in (8.15)

- $x^{(k)} \in K$ für alle $k = 0, 1, 2, \dots$
- $\{x^{(k)}\}$ besitzt mindestens einen Häufungspunkt \hat{x} in K .
- Jeder Häufungspunkt \hat{x} von $\{x^{(k)}\}$ erfüllt $Dh(\hat{x}) = 0$. (Stationärer Punkt).

Dies ist ein allgemeines Minimierungsverfahren mit sehr vielen Anwendungen, benötigt wird noch eine Methode für die eindimensionale Minimierung. Diese wird in Algorithmus 25 durch einen endlichen Suchprozess ersetzt.

- Wähle $s^{(k)} \in D(\gamma_k, x^{(k)})$ und definiere

$$\begin{aligned} \rho_k &:= \sigma_k \|Dh(x^{(k)})\| \\ h_k(\mu) &= h(x^{(k)} - \mu s^{(k)}) \end{aligned}$$

und bestimme die kleinste Zahl $j \geq 0$ mit

$$h_k(\rho_k 2^{-j}) \leq h_k(0) - \rho_k 2^{-j} \frac{\gamma_k}{4} \|Dh(x^{(k)})\|.$$

- Bestimme λ_k und damit

$$\begin{aligned} x^{(k+1)} &:= x^{(k)} - \lambda_k s^{(k)}, \quad \text{so dass gilt} \\ h(x^{(k+1)}) &= \min_{0 \leq i \leq j} h_k(\rho_k 2^{-i}). \end{aligned}$$

Das gesuchte j existiert. Ist $x^{(k)}$ stationär, so ist $j = 0$, andernfalls kann j und damit auch λ_k in einem endlichen Suchprozess bestimmt werden und es gilt Theorem 104 auch für die so bestimmte Folge.

8.2.1 Das modifizierte Newtonverfahren

Wir wenden nun zur Lösung von $f(x) = 0$ das Minimierungsverfahren Algorithmus 25 auf $h(x) = f(x)^T f(x)$ an.

Als Suchrichtung $s^{(k)}$ in Punkt $x^{(k)}$ wählen wir den normierten Newtonvektor

$$s^{(k)} = \frac{d^{(k)}}{\|d^{(k)}\|} \quad \text{mit} \quad d^{(k)} = Df(x^{(k)})^{-1} f(x^{(k)}),$$

dieser ist immer definiert, falls $Df(x^{(k)})^{-1}$ existiert.

Lemma 105 Sei x so, dass $d(x) = Df(x)^{-1} f(x)$ existiert und nicht verschwindet. Dann gilt

$$s(x) = \frac{d(x)}{\|d(x)\|} \in D(\gamma, x), \quad \text{für alle } 0 < \gamma < \bar{\gamma}(x),$$

wobei

$$\bar{\gamma}(x) = \frac{1}{\kappa_2(Df(x))} = \frac{1}{\|Df(x)\|_2 \|Df(x)^{-1}\|_2}.$$

Beweis. Betrachte $Dh(x) = 2f^T(x)Df(x)$. Submultiplikativität von $\|\bullet\|_2$ liefert

$$\begin{aligned} \|f^T(x)Df(x)\|_2 &\leq \|Df(x)\|_2 \|f(x)\|_2 \\ \|Df(x)^{-1}f(x)\|_2 &\leq \|Df(x)^{-1}\|_2 \|f(x)\|_2 \end{aligned}$$

und daher

$$\begin{aligned} \frac{Dh(x)s}{\|Dh(x)\|} &= \frac{f(x)^T Df(x) Df(x)^{-1} f(x)}{\|Df(x)^{-1} f(x)\| \|f^T(x) Df(x)\|} \\ &\geq \frac{1}{\kappa_2(Df(x))} \\ &> 0. \end{aligned}$$

Für alle γ mit $0 < \gamma < \frac{1}{\kappa_2(Df(x))}$ gilt also $s \in D(\gamma, x)$. \square

Falls $Df(x)^{-1}$ existiert folgt also, daß $Dh(x) = 0$ genau dann wenn $f(x) = 0$. Damit erhalten wir das modifizierte Newtonverfahren.

Algorithmus 26

Input: Differenzierbare Funktion $f(x) : \mathbb{R}^n \rightarrow \mathbb{R}^n$ sowie Startwert $x^{(0)} \in \mathbb{R}^n$.

Output: Folge $x^{(k)}$, $k = 0, 1, 2, \dots$ die gegen Nullstelle von f konvergiert.

FOR $k = 0, 1, 2, \dots$ UNTIL SATISFIED

Berechne $d^{(k)} = Df(x^{(k)})^{-1} f(x^{(k)})$, (lineares Gleichungssystem mit QR)

$\gamma_k = \frac{1}{\kappa_{\text{app}2}(Df(x^{(k)}))}$, (fast frei aus QR).

Setze $h_k(\tau) = h(x^{(k)} - \tau d^{(k)}) = f(x^{(k)} - \tau d^{(k)})^T f(x^{(k)} - \tau d^{(k)})$.

Bestimme $j \geq 0$, so dass $h_k(2^{-j}) \leq h_k(0) - 2^{-j} \frac{\gamma_k}{4} \|d^{(k)}\| \|Dh(x^{(k)})\|$.

Bestimme λ_k und $x^{(k+1)} = x^{(k)} - \lambda_k d^{(k)}$, so daß gilt

$$h(x^{(k+1)}) = \min_{0 \leq i \leq j} h_k(2^{-i}).$$

END

Als Kosten fallen pro Schritt an:

- Berechnung von $Df(x^{(k)})$.
- Lösung von $Df(x^{(k)})d^{(k)} = f(x^{(k)})$.
- eindimensionale Minimierung.

Die Fehleranalyse für Teil b) ist klar. Die für a) und c) hängt von f ab.

Über dieses Verfahren hat man die folgende Konvergenzaussage:

Theorem 106 Gegeben sei $f : \mathbb{R}^n \rightarrow \mathbb{R}^n$, $x^{(0)} \in \mathbb{R}^n$ mit

- $K = \{x \mid h(x) \leq h(x_0)\}$ ist kompakt, wobei $h(x) = f^T(x)f(x)$,
- f ist auf Umgebung von K stetig differenzierbar,
- $Df(x)^{-1}$ existiert für alle $x \in K$.

Dann ist die Folge $\{x^{(k)}\}$, die in Algorithmus 26 erzeugt wird, wohldefiniert und es gilt

- $x^{(k)} \in K$, $\forall k = 0, 1, 2, \dots$, $\{x^{(k)}\}$ besitzt mindestens Häufungspunkt $\hat{x} \in K$.
- Jeder Häufungspunkt \hat{x} von $\{x^{(k)}\}$ ist Nullstelle von f .

8.2.2 Praktische Realisierung des modifizierten Newton-Verfahrens

Ein Problem bei der Durchführung des Newtonverfahrens ist, dass in jedem Schritt $Df(x^{(k)})$ ausgerechnet werden muß. Man kann nun $Df(x^{(k)})$ durch die Differenzenquotientenmatrix $\Delta f(x^{(k)}) = (\Delta_1 f, \dots, \Delta_m f)(x^{(k)})$, approximieren, wobei

$$\begin{aligned} \Delta_i f(x) &= \frac{f(x_1, \dots, x_{i-1}, x_i + h_i, x_{i+1}, \dots, x_m) - f(x_1, \dots, x_m)}{h_i} \\ &= \frac{f(x + h_i e_i) - f(x)}{h_i}. \end{aligned}$$

Falls h_i zu groß ist so erhalten wir eine schlechte Approximation an $Df(x)$, ist h_i zu klein, dann gilt $f(x + h_i e_i) \approx f(x)$.

Wähle h_i so, dass $f(x)$ und $f(x + h_i e_i)$ ungefähr die $\frac{t}{2}$ ersten Stellen gemeinsam haben (t -stellige Rechnung)

$$|h_i| \approx \sqrt{\text{eps}} \|f(x)\| / \|\Delta_i f(x)\|$$

Die auftretende Auslöschung ist dann noch erträglich.

Im allgemeinen ist jedoch auch die Berechnung von Δf zu teuer, daher verwende folgende Vereinfachung mit dem Satz von Broyden.

Theorem 107 Seien $A, B \in \mathbb{R}^{n,m}$, $b \in \mathbb{R}^m$, $F: \mathbb{R}^m \rightarrow \mathbb{R}^m$ gegeben durch $F(u) = Au + b$, $x, x' \in \mathbb{R}^m$ und $p = x - x'$, $q = F(x') - F(x) = Ap$. Dann gilt für die Rang-1-Modifikation $B' = B + \frac{1}{p^T p}(q - Bp)p^T$ die Abschätzung

$$\|B' - A\|_2 \leq \|B - A\|_2$$

und $B'p = Ap = q$.

Beweis. $(B' - A)p = Bp + (q - Bp) - Ap = 0$.

Für jedes $u \in \mathbb{R}^m$ mit $\|u\|_2 = 1$ existiert ein v mit

$$u = \alpha p + v, \quad v^T p = 0, \quad \|v\|_2 \leq 1.$$

Also folgt mit $\|u\|_2 = 1$, dass

$$\|(B' - A)u\|_2 = \|(B' - A)v\|_2 = \|(B - A)v\|_2 \leq \|B - A\|_2 \|v\|_2 \leq \|B - A\|_2.$$

Also gilt dies auch für $\|B' - A\|_2$, welches das Supremum über alle u ist. \square
Es folgt, dass $DF(x) = A$ von B' genau so gut approximiert wird wie von B .

B' und $DF(x)$ transformieren p in denselben Vektor. Die Idee ist nun, $f(x)$ durch eine affine Abbildung zu approximieren (in der Nähe einer Nullstelle) und diese Idee anzuwenden.

Ersetze in Algorithmus 26 den Teil in der Schleife.

Algorithmus 27 (Broyden-Rang 1-Verfahren)

Input: $f(x): \mathbb{R}^m \rightarrow \mathbb{R}^m$ differenzierbar und $x^{(0)} \in \mathbb{R}^m$

Output: Folge $x^{(k)}$, $k = 0, 1, 2, \dots$

```

FOR  $k = 0, 1, 2, \dots$  UNTIL SATISFIED
   $d^{(k)} = B_k^{-1} f(x^{(k)})$ 
   $x^{(k+1)} = x^{(k)} - \lambda_k d^{(k)}$ 
   $p^{(k)} = x^{(k+1)} - x^{(k)}$ 
   $q^{(k)} = f(x^{(k+1)}) - f(x^{(k)})$ 
   $B_{(k+1)} = B_k + \frac{1}{p^{(k)T} p^{(k)}}(q^{(k)} - B_k p^{(k)})p^{(k)T}$ 
END
```

λ_k wird durch näherungsweise Minimierung von $\|f(x^{(k+1)})\|^2$ bestimmt, indem man $\min_{\lambda \geq 0} \|f(x^{(k)} - \lambda d^{(k)})\|^2$ bestimmt wie vorher.

Es gilt $B_k \approx \Delta f(x^{(k)})$.

Praktische Erfahrung zeigt, dass man die Wahl von B_{k+1} , wie im Algorithmus nur für $0.5 \leq \lambda_k \leq 1$ machen sollte, sonst wählt man besser $B_{k+1} = \Delta f(x_{k+1})$.

Die Lösung des linearen Gleichungssystems

$$B_k d^{(k)} = f(x^{(k)})$$

kann über eine Rang-1-Aufdatierungsformel sehr leicht erhalten werden.

Kapitel 9

Lösung partieller Differentialgleichungen

Eine der Hauptaufgaben und gleichzeitig eins der schwierigsten Probleme der Numerischen Mathematik ist die Lösung von partiellen Differentialgleichungen. Hier kommen im Prinzip all die Methoden der vorhergehenden Kapitel (und einige mehr) zum Einsatz. Es gibt zahlreiche sehr unterschiedliche Ansätze (z.B. Finite Differenzen, Finite Elemente, Finite Volumen) und auch für jeden Problemklasse wieder Anpassungen dieser Methoden.

Hier werden wir nur kurz die Finiten Differenzen und die Finite Elemente Methode betrachten. Mehr dazu in der Vorlesung Numerik II für Ingenieure.

Beispiel 108 Wärmeleitungsgleichung. Ein Metallstab ist zwischen zwei Wärmereservoirs eingespannt. Das eine Ende des Stabes wird dadurch auf einer Temperatur $\mu_1(t)$, das andere Ende auf $\mu_2(t)$ gehalten. Im Stab befindet sich eine Wärmequelle, von der aus sich der Stab in beide Richtungen aufheizt. Gesucht ist eine Funktion, die zu jedem Zeitpunkt die Wärmeverteilung im Stab beschreibt.

Das Temperaturprofil $u(x, t)$ wird durch folgende partielle Differentialgleichung beschrieben:

$$\begin{aligned} L(u, f)(x, t) &:= -\frac{\partial}{\partial t}u(x, t) + \frac{\partial^2}{\partial x^2}u(x, t) - f(x, t) \\ &:= -u_t + u_{xx} - f = 0 \end{aligned} \quad (9.1)$$

für $0 \leq x \leq 1, 0 \leq t \leq T_0$, mit den Randbedingungen

$$\begin{aligned} u(0, t) &= \mu_1(t), \\ u(1, t) &= \mu_2(t), \end{aligned}$$

(d.h. die beiden Enden des Stabes haben immer dieselbe Temperatur wie die beiden Wärmereservoirs) und der Anfangsbedingung

$$u(x, 0) = u_0(x), \quad 0 \leq x \leq 1$$

(d.h. zu Anfang hat der Stab eine vorgegebene Temperaturverteilung).

Dies ist eine parabolische Differentialgleichung.

Beispiel 109 Durch ein unendlich langes Rohr mit konstantem Querschnitt (z.B. eine Pipeline) strömt eine Flüssigkeit mit der Dichte $\rho = u$ mit konstanter Geschwindigkeit a_0 . Zum Zeitpunkt $t = 0$ sei die Dichteverteilung im ganzen Rohr bekannt. Gesucht ist die räumliche und zeitliche Veränderung der Dichte. Diese wird durch folgende Differentialgleichung beschrieben:

$$\begin{aligned} 0 &= \frac{\partial}{\partial t}u(x, t) + a_0 \frac{\partial}{\partial x}u(x, t) \\ &:= u_t + a_0 u_x, \end{aligned} \quad (9.2)$$

mit $-\infty < x < \infty, 0 \leq t \leq T_0$. Die Anfangsbedingung lautet hier

$$u(x, 0) = u_0(x).$$

Dies ist eine hyperbolische Differentialgleichung.

Beispiel 110 Sei $f : \Omega \rightarrow \mathbb{R}^2$ die Ladungsdichte in einem Gebiet Ω . Dann genügt die Spannung u in diesem Gebiet der partiellen Differentialgleichung (Potenzialgleichung)

$$\begin{aligned} \Delta u &:= \frac{\partial^2}{\partial x^2}u + \frac{\partial^2}{\partial y^2}u \\ &:= u_{xx} + u_{yy} = f \end{aligned} \quad (9.3)$$

auf dem Gebiet Ω . Für die Lösung wird dann noch die Ladungsverteilung auf dem Rand von Ω benötigt. Dies ist eine elliptische Differentialgleichung.

Es gibt noch viele andere Typen von Differentialgleichungen und jeweils spezielle Verfahren zur Lösung. Wir betrachten nun zwei Grundprinzipien.

9.1 Finite Differenzen

Die Grundidee bei der Approximation durch Finite Differenzen ist die gleiche, die wir schon bei gewöhnlichen Differentialgleichungen gesehen haben. Wir bilden in dem Gebiet Ω oder im kombinierten Raum–Zeit–Gebiet ein Gitter und berechnen eine approximative Lösung an den Gitterpunkten indem wir wir Ableitungen durch Differenzenquotienten ersetzen.

Betrachte das Problem aus Beispiel 108. Sei $G = (\Omega, 0 \leq t \leq T_0)$ ein (Raum–Zeit–)Gebiet. Für gegebene Eingangsinformationen $\{f, \mu, u_0\}$ ist die Lösung $u(x, t)$ von $L(u, f)(x, t) = 0$ gesucht, welche noch Bedingungen am Rand von Ω bzw. $[0, T_0]$ erfüllt.

Zunächst definieren wir ein zweidimensionales Gitter:

$$G_h = \{x_i, t_j\}$$

mit

$$x_i = ih, \quad h = \frac{1}{N_1}, \quad i = 1, \dots, N_1$$

und

$$t_j = j\tau, \quad \tau = \frac{T_0}{N_2}, \quad j = 1, \dots, N_2.$$

In den Gitterpunkten (x_i, t_j) wollen wir die Näherung $u_{i,j} \approx u(x_i, t_j)$ berechnen. Dazu ersetzen wir die Ableitungen durch Differenzenquotienten (Finite Differenzen).

$$\frac{\partial u(x, t)}{\partial t} = \frac{u(x, t + \tau) - u(x, t)}{\tau}, \quad (9.4)$$

$$\frac{\partial^2 u(x, t)}{\partial x^2} = \sigma \frac{u(x + h, t + \tau) - 2u(x, t + \tau) + u(x - h, t + \tau)}{h^2} + (1 - \sigma) \frac{u(x + h, t) - 2u(x, t) + u(x - h, t)}{h^2}, \quad (9.5)$$

wobei $0 \leq \sigma \leq 1$ ein fester Parameter ist. Jetzt setzen wir dies in (9.1) ein:

$$\frac{u_{i,j+1} - u_{i,j}}{\tau} = \frac{1}{h^2} (\sigma(u_{i+1,j+1} - 2u_{i,j+1} + u_{i-1,j+1}) + (1 - \sigma)(u_{i+1,j} - 2u_{i,j} + u_{i-1,j})) - f\left(x_i, t_j + \frac{\tau}{2}\right). \quad (9.6)$$

Dazu kommen die diskretisierten Randbedingungen

$$\begin{aligned} u_{0,j} &= \mu_1(t_j) \\ u_{N_1,j} &= \mu_2(t_j), \quad j = 0, \dots, N_2 \end{aligned}$$

und die Anfangsbedingungen

$$u_{i,0} = u_0(x_i), \quad i = 0, \dots, N_1.$$

Nun setzen wir $\gamma = \frac{\tau}{h^2}$ und $\phi_{i,j} = f(x_i, t_j + \frac{\tau}{2})$ und erhalten ein lineares Gleichungssystem für die $u_{i,j}$.

$$\begin{aligned} -\sigma\gamma u_{i-1,j+1} + (2\sigma\gamma + 1)u_{i,j+1} - \sigma\gamma u_{i+1,j+1} \\ = -(\sigma - 1)\gamma u_{i-1,j} - (1 + 2(\sigma - 1)\gamma)u_{i,j} + (\sigma - 1)\gamma u_{i+1,j} + \tau\phi_{i,j}. \end{aligned}$$

Je nachdem, wie der Parameter σ gewählt wird, ergeben sich nun verschiedene Methoden.

$\sigma = 0$: Die Gleichung sieht dann so aus:

$$u_{i,j+1} = \gamma u_{i-1,j} + (\gamma - 1)u_{i,j} + \gamma u_{i+1,j} + \tau\phi_{i,j}.$$

Dies ist ein explizites Verfahren, weil in jedem Iterationsschritt der Wert sofort ausgerechnet werden kann.

$\sigma = 1$: Es ergibt sich

$$\gamma u_{i-1,j+1} + (2\gamma + 1)u_{i,j+1} - \gamma u_{i+1,j+1} = u_{i,j} + \tau\phi_{i,j}.$$

Dies ist ein implizites Verfahren, bei dem in jedem Schritt ein tridiagonales, symmetrisches positiv definites Gleichungssystem gelöst werden muß.

$\sigma = \frac{1}{2}$: Die Gleichung ist dann

$$\begin{aligned} -u_{i-1,j+1} + 2(1 + 1/\gamma)u_{i,j+1} - u_{i+1,j+1} \\ = u_{i-1,j} + 2(1 - 1/\gamma)u_{i,j} \\ + u_{i+1,j} + \frac{2\tau}{\gamma}\phi_{i,j}. \end{aligned}$$

Dies ist das Crank–Nicholson–Verfahren und es muss wieder pro Schritt ein tridiagonales Gleichungssystem gelöst werden.

eindimensionales Beispiel ist das verallgemeinerte Sturm-Liouville-Problem

$$Ly := -[p(t)y'(t)]' + q(t)y(t) = r(t), \quad y(a) = \alpha, \quad y(b) = \beta \quad (9.14)$$

für $t \in [a, b]$ und ein weiteres ist Beispiel 109.

In Beispiel 9.14 gelte für die Koeffizientenfunktionen

$$\begin{aligned} p &\in C^1[a, b] & p(t) &\geq p_0 > 0 & \text{in } [a, b] \\ q, r &\in C[a, b] & q(t) &\geq 0 & \text{in } [a, b]. \end{aligned} \quad (9.15)$$

In diesem Fall kann man zeigen, daß es eine eindeutige Lösung der Randwertaufgabe gibt.

Für den Finite Elemente Ansatz ist es zuerst notwendig die Randbedingungen auf 0 zu homogenisieren.

Ist $y(t)$ die Lösung von (9.14), so ist $u(t) = y(t) - l(t)$ mit

$$l(t) = \alpha \frac{b-t}{b-a} + \beta \frac{t-a}{b-a}, \quad l(a) = \alpha, \quad l(b) = \beta$$

die Lösung eines Randwertproblems der Form

$$\begin{aligned} -(pu')' + qu &= -[p(y-l)]' + qy - ql \\ &= -(py') + (pl') + qy - ql \\ &= r + (pl') - ql \\ &=: f \end{aligned}$$

mit verschwindenden Randwerten. Wir können also im folgenden

$$Ly := -(py')' + qy = f, \quad y(a) = y(b) = 0 \quad (9.16)$$

betrachten. Der Differentialoperator L bildet die Menge

$$D_L := \{v \in C^2[a, b] \mid v(a) = v(b) = 0\}$$

aller zweimal auf $[a, b]$ stetig differenzierbaren reellen Funktionen, die die Randbedingung $v(a) = v(b) = 0$ erfüllen, in die Menge $C[a, b]$ aller auf $[a, b]$ stetigen Funktionen ab. Das Sturm-Liouville-Problem ist also damit äquivalent, eine Lösung von

$$Ly = f, \quad y \in D_L \quad (9.17)$$

zu finden. (Beachte: Die Randbedingungen sind jetzt in die Definition von D_L "eingebaut", ohne die Homogenisierung wäre D_L kein linearer Raum).

Offensichtlich ist D_L ein reeller Vektorraum und L ein linearer Operator auf D_L : Mit $u, v \in D_L$ gehört auch $\alpha u + \beta v$ zu D_L und es ist $L(\alpha u + \beta v) = \alpha L(u) + \beta L(v)$ für alle reellen Zahlen α, β .

Der nächste Schritt ist nun, die Aufgabe der Lösung von (9.17) in die sogenannte *schwache Form* zu überführen. Dazu führen wir auf der Menge $L_2(a, b)$ aller auf $[a, b]$ quadratisch integrierbaren Funktionen durch die Definition

$$(u, v) := \int_a^b u(x) \cdot v(x) dx, \quad \|u\|_2 := (u, u)^{1/2}$$

eine Bilinearform und eine Norm ein und betrachten statt der Aufgabe (9.17) die folgende Aufgabe.

Finde eine Funktion $u \in D_L$, so dass

$$(Lu, v) = (f, v) \quad (9.18)$$

für alle $v \in D_L$.

Damit können wir die Eigenschaften der Bilinearform nutzen, um die hohen Ableitungen mittels partieller von u auf v zu verteilen. Grob gesprochen können wir damit die Differenzierbarkeitsvoraussetzungen an die Lösung verringern und damit die Menge der Funktionen mit denen wir die approximative Lösung berechnen vergrößern.

Es gilt wegen der 0 Randbedingungen mit partieller Integration, dass

$$(Lu, v) = \int_a^b (-(pu')' + qu)v dx = \int_a^b [pu'v' + quv] dx. \quad (9.19)$$

Der Differentialoperator L hat einige wichtige Eigenschaften.

Theorem 111 L ist ein symmetrischer Operator auf D_L , d.h. es gilt

$$(u, L(v)) = (L(u), v) \quad \text{für alle } u, v \in D_L.$$

Wir erhalten, dass $\int_a^b [pu'v' + quv] dx$ eine symmetrische Bilinearform auf

$$D = \{u \in C[a, b] \mid u' \in L_2[a, b], u(a) = u(b) = 0\}$$

ist. Insbesondere gehören alle stückweise stetig differenzierbaren Funktionen, die die Randbedingungen erfüllen zu D . D ist wieder ein reeller Vektorraum mit $D \supseteq D_L$. Durch

$$\begin{aligned} [u, v] &:= \int_a^b [p(x)u'(x)v'(x) + q(x)u(x)v(x)]dx \\ &= (pu', v') + (qu, v) \end{aligned}$$

wird auf D ein Skalarprodukt definiert, welches für $u, v \in D_L$ mit $(u, L(v))$ übereinstimmt. Wie oben zeigt man für $v \in D_L, u \in D$ durch partielle Integration

$$(u, L(v)) = [u, v].$$

Bezüglich des auf D_L eingeführten Skalarproduktes ist L ein positiv definiter Operator in folgendem Sinn:

Theorem 112 *Unter den Voraussetzungen (9.15) ist*

$$(L(u), u) = [u, u] > 0 \quad \text{für alle } u \neq 0, u \in D_L.$$

(Koerzitivität der Bilinearform). Es gilt sogar die Abschätzung

$$\gamma \|u\|_\infty^2 \leq [u, u] \leq \Gamma \|u'\|_\infty^2 \quad \text{für alle } u \in D \quad (9.20)$$

mit der Norm $\|u\|_\infty := \sup_{a \leq x \leq b} |u(x)|$ und den Konstanten

$$\gamma := \frac{p_0}{b-a}, \Gamma := \|p\|_\infty(b-a) + \|q\|_\infty(b-a)^3.$$

Nun machen wir einen Schritt, den wir schon für Gleichungssysteme gemacht haben. Wir wandeln die Lösung von $Lu = f$ in eine Minimierungsaufgabe um.

Für $u \in D$ definieren wir das quadratische Funktional

$$\begin{aligned} F &: D \rightarrow \mathbb{R} \\ u &\mapsto F(u) = [u, u] - 2(f, u). \end{aligned}$$

Grundlegend für die Variationsmethoden ist die Beobachtung, daß die Funktion F ihren kleinsten Wert genau für die Lösung y von (9.16) annimmt.

Theorem 113 *Es sei y die Lösung von (9.16). Dann gilt*

$$F(u) > F(y)$$

für alle $u \in D, u \neq y$.

9.2.1 Das Ritzsche Verfahren zur Lösung der Minimierungsaufgabe

Die Idee des Ritzschen-Verfahrens ist es, einen endlich dimensionalen Teilraum $S_n \subset D$ mit $\dim S_n = n$ zu wählen und F über S_n zu minimieren. Dazu sei ρ_1, \dots, ρ_n eine Basis für S_n . Dann müssen wir

$$u^* = \sum_{i=1}^n \alpha_i^* \rho_i$$

bestimmen mit

$$F(u^*) = \min_{u \in S_n} F(u).$$

Dann ist $[u^* - y, u^* - y] = F(u^*) - F(y)$ minimal, d.h. u^* ist die beste Approximation aus S_n an y bzgl. $[\cdot, \cdot]$. Für $u = \sum_{i=1}^n c_i \rho_i \in S_n$ gilt

$$\begin{aligned} \phi(c_1, \dots, c_n) &:= F(u) \\ &= F(c_1 \rho_1 + \dots + c_n \rho_n) \\ &= \left[\sum_{i=1}^n c_i \rho_i, \sum_{i=1}^n c_i \rho_i \right] - 2(f, \sum_{i=1}^n c_i \rho_i) \\ &= \sum_{i,k=1}^n [\rho_i, \rho_k] c_i c_k - 2 \sum_{i=1}^n (f, \rho_i) c_i. \end{aligned}$$

Dies müssen wir nun bzgl. $c = (c_1, \dots, c_n)^T$ minimieren. In Matrixform lautet obige Gleichung mit

$$A = ([\rho_i, \rho_k])_{i,k=1}^n \quad \text{und} \quad b = \begin{bmatrix} (f, \rho_1) \\ \vdots \\ (f, \rho_n) \end{bmatrix}$$

$$\phi(c) = c^T A c - 2b^T c.$$

Die Matrix A ist positiv definit, denn A ist symmetrisch und es gilt für alle Vektoren $d \neq 0$ auch $u := d_1 \rho_1 + \dots + d_n \rho_n \neq 0$ und daher

$$d^T A d = \sum_{i,k} [\rho_i, \rho_k] d_i d_k = [u, u] > 0.$$

Das lineare Gleichungssystem

$$Ax = z$$

besitzt somit eine eindeutige Lösung x , die man z.B. mit Hilfe des Cholesky-Verfahrens oder des CG -Verfahrens berechnen kann.

Notwendige Bedingung für ein Minimum von ϕ ist

$$0 = \nabla\phi(c) := \text{grad}(\phi(c)) = 2(Ac - b)$$

d.h.

$$Ac = b.$$

Da A positiv definit ist, liegt ein eindeutiges Minimum vor.

Wie wählen wir nun den endlich-dimensionalen Teilraum am besten?

Es ist klar, dass wir zur Berechnung der Matrix A viele Integrale auswerten müssen. Daher wäre es günstig, dass für viele der Elemente des Teilraums gilt, dass $uv = 0$. Dann sparen wir nicht nur Integralauswertungen, sondern die Matrix A hat auch viele Nullen.

Dies können wir erreichen, indem wir Funktionen mit kleinem Träger verwenden, so dass sich nur wenige Funktionen überlappen. Andererseits sollten die Funktionen aber auch die Lösungsfunktion gut approximieren.

Beispiel 114 Wähle ein Gitter auf $[a, b]$

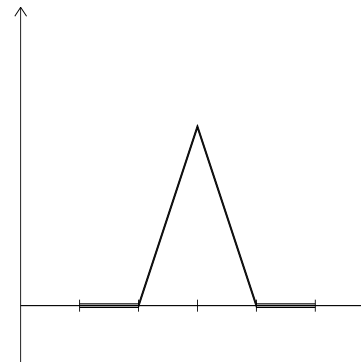
$$x_i = a + ih \quad \text{mit} \quad h = \frac{b-a}{N+1}.$$

S_N sei die Menge aller stetigen Streckenzüge u mit $u(a) = u(b) = 0$ mit Knickstellen x_1, \dots, x_N , d.h.

$$S_N = \{u \in C[a, b] \mid u(a) = u(b) = 0, \quad u|_{[x_i, x_{i+1}]} \text{ linear für } i = 0, \dots, N\} \subset D.$$

Wegen der 0-Randbedingung folgt $\dim S_N = N$. Eine Basis für S_N ist die Menge der Shape-Funktionen $\rho_i \in S_N$ mit $\rho_i(x_j) = \delta_{ij}$.

(Die ρ_i haben einen kleinen Träger, daher werden wir in der Matrix A eine kleine Bandbreite erhalten).



Für $u \in S_N$ gilt nun $u(x) = \sum_{i=1}^N u(x_i) \rho_i(x)$. Betrachte nun (9.16) mit $p = 1$, und $[a, b] = [0, 1]$, d.h.,

$$-u'' + q(x)u = f, \quad u(0) = u(1) = 0.$$

Es folgt dann

$$[u, v] = \int_0^1 u'v' + quv \, dx$$

und

$$A = [a_{i,j}] = [\rho_i, \rho_j] = \int_0^1 (\rho_i' \rho_j' + q \rho_i \rho_j) dx$$

$$= \begin{cases} 0 & \text{für } |i-j| > 1 \\ \int_{x_{i-1}}^{x_i} (-\frac{1}{h^2} + q \frac{(x_i-x)(x-x_{i-1})}{h^2}) dx & \text{für } j = i-1 \\ \int_{x_{i-1}}^{x_i} (\frac{1}{h^2} + q \frac{(x-x_{i-1})^2}{h^2}) dx + \int_{x_i}^{x_{i+1}} (\frac{1}{h^2} + q \frac{(x_{i+1}-x)^2}{h^2}) dx & \text{für } j = i \end{cases}$$

Für die rechte Seite gilt analog

$$b = [b_i] = \int_0^1 \rho_i f dx.$$

Die Integrale können wir entweder analytisch oder mit Hilfe von Quadraturformeln auswerten.

Wir erhalten ein Gleichungssystem mit einer symmetrisch, positiv definiten tridiagonalen Matrix A welches wir mit Hilfe der Cholesky Methode für Bandmatrizen in $\mathcal{O}(n)$ flops numerisch stabil lösen können.

Die Finite-Element-Methode ist natürlich nicht auf Probleme wie das Sturm-Liouville-Problem beschränkt.

Beispiel 109 ist eine zweidimensionale Variante der Sturm-Liouville Aufgabe. Hier gehen wir ganz analog vor. Sei zum Beispiel $\Omega = [0, 1]^2$. Wir legen in Ω ein Gitter $\Omega_h = \{(x_i, y_j), \quad i, j = 0, \dots, N\}$ mit $x_i = ih, y_j = jh$, wobei $h = 1/N$ und nehmen als Basisfunktionen jetzt zweidimensionale Shape-Funktionen mit $\rho_{i,j}(x_k, y_l) = 1$ für $(k, l) = (i, j)$ und $\rho_{i,j}(x_k, y_l) = 0$ sonst. Dann numerieren wir die Gitterpunkte durch, z.B. zeilenweise, spaltenweise oder schachbrettartig. Wir setzen wieder an, dass

$$u(x, y) = \sum_{i=1}^n \sum_{j=1}^N \alpha_{i,j} \rho_{i,j}.$$

Dann setzen wir z.B. zeilenweise, $\tilde{\rho}_{iN+j} = \rho_{i,j}$ und $\tilde{f}_{iN+j} = f_{i,j}$ und gehen vor wie im vorigen Beispiel.

Mehr dazu und auch zu anderen Methoden in Numerik II.